2 6 4 П 1 8 8 6 6 Р Д О К Л А Д Ы

LXVII, № 3 1978

խմբացբական կոլեցիա

Գ. Ա. ԱՐԶՈՒՄԱՆՑԱՆ, տեխն. գիտ. թեկնածու (պատ. քաբառւղաբ), է. Գ. ԱՖՐԻԿՈՍՆ, ՀՍՍՀ ԳԱ թորակից-անգամ, Ա. թ. ԲԱԲԱ ԵԱՆ, ՀՍՍՀ ԳԱ ահադեմիկոս, Հ. Խ. ԲՈՒՆ ՈԱԹԴԿՆ, ՀՍՍՀ ԳԱ ակադեմիկոս, Ա. Ա. Pululanı. Հոոհ ծը հահարիձ-արժաղ. Վ. Մ. ԻՍՌԱՅԱՆ, ՀՈՍՀ ԳԱ թղթակից-անոամ, Վ. Հ. ՀԱՄԲԱՐՉՈՒՄՅԱՆ, ահադեմիկոս, Վ. Հ. ՂԱԶԱՐԵԱՆ, ՀՍՍՀ ԳԱ ակադեմենոս (պատ. խմբացրի ահոակալ), Հ. Գ. ՄԱԴԱՊնԱՆ, ՀՍՍՀ ԳԱ ակադեմիկոս, Ա. Գ. ՆևջԱՐՈՎ, 2002 ԳԱ ակադեմենոս (պատ. խմբագիշ), Գ. Ս. ՍԱՀԱԿՑԱՆ, ՀՍՍՀ ԳԱ թղաակից-անոամ, 0. Մ. ՍԱՊՈՆԶՑԱՆ, ՀՍՍՀ ԳԱ ազբանհաանդամ, Մ. Լ. ՏԵՐ-ՄԻՔԱՑԵԼՑԱՆ, ՀՍՍՀ ԳԱ թուակից-անդամ, Վ. Բ. ՖԱՆԱՐՋՅԱՆ, ՀՍՍՀ ԳԱ թղբակից-անդամ։

Редакционная коллегия

В А. АМБАРЦУМЯН, акалемик Г А АРЗУМАНЯН, кана техн начк (ота сепретары). Э Г. АфРИКОН, чл.-к ор АН АпыССР, А Т БАБАЯН, академяк АН АрмССР, Г Х БУНЯТЯН, акаде-MIR AH ADMCCP B. O KASAPAH akaлемик АН АпмССР (зам ота релектора). и г магакьян акудемях АН Арм CCP A. F HABAPOB, and sense AH APMCCP (orb. resauros), F. C. CAAKSH, 44 - MODD, AH ADMCCP, O. M. CATIOH-ЛЖЯН чл ново АН АрмССР, А. А Т. -ЛАЛЯН, ЧЯ.-КООВ. АН АВИССР, В М ТАРАЯН, чл.-кого АН АрмССР, М. Л. ТЕР-МИКАЕ ПЯН, чл.-хэрр АН АрмССР, В. В ФАНАРДЖЯН, чл.-херр. АН ADMICCP

vupivusiu	e)
II. թ. Մկոտիյան— Բարիսումների բնութագրման կայունությունը և նորմալ բարիման որոշ լայն իմաստով բնութագրական հատկությունները	
արարական ՄաթեՄանիկա	
Ռ. Ս. Մինասյան—Գեզի Համար յերմահազորդականության խառը եզրային խեղբի մասին	
แกนจานงแบกครแบ รับบกครกรนั	
Ա. Հ. Ռաբլոյան, Ա. Պ. Մելքոնյան— արթերական գլանային ձեզթերով Թուլացված պտտվող գլանի առանցթատիմետրիկ խնդիրը	138
шизглаьдыни	
Վ. Պիկիշյան—Դի≱ուզ անդրադարձժան խնդիրն ըստ Հաճախականությունների ճաւ ւագայթժան վերաբաշխման կամայական օրենթի ղեպրում	
ԿԵՈ ՖԻ ԶԻԿԱ	
Դ. Ս. Գրիզույան <i>— Երկաթահանթերի պայարների զնահատումն ըստ մազնիսական</i> ահույ <i>թի տվյալների</i>	
orautuuu գրալ	
Ս. Գ Մացոյան, Ս. Լ. էնֆիաշյան, Վ. Հ. Դանիելյան, Լ. Հ. Սաբզայան— <i>Բիեար սիս-</i> տեմի ռաշիկալ սոպոլիմերման և տճլոմերման պրոցծաի ուսումեասիրության շղթայի փո- խանցումով սոնոմերին վիճիլացձտատքերսարյուրութագինն օրինակի վրա	
րեր ա լույան	
Ս. Ա. Բայինյան, Մ. Ի. Աղաքանով, Վ. Դ. Մխիրառյան—Առենտների լյարդարջիջեն- շի Բաղանքային պոտնեցիայի հնտազոտությունը այրվածրային վնասվածրից հետո . Ա. Ա. Գալոյան, Ա. Կ. Անտշնյան, Վ. Վ. Բանվ, Ռ. Հ. Գալստյան—Հիպոթայաժուսա-	168
յին նոր Հերսապեպտիզի ազդեցությունը առնետների մոտ ինսուլինի սեկրեցիայի վրա Ա. Ա. Գալուան, Ռ. Մ. Սոտպիոնյան, Ռ. Օ. Կառապետյան, Ֆ. Մ. Սահակյան, Ս. Ա. Սանակյան, Գ. Ա. Սարիրեկյան—Գլիցինաժիղացմած սեֆաղերս G—10-ի ժիչոցով գիսոց-	
ված հեյրոնովոն «C»-ի երկու իզոձևերի հայտնաբերման մասին	
ITI-2USUFUUNNP30HL	
Ս. Մ Ցաբլոկով-անձույան— Հատիկ բղեզների հրկու նոր տեսակ Արևելյան Ասիայից	150
ՐԺ ՇԿԱԿԱՆՈՒԹՅՈՒՆ Վ. Մ. Հաբությունյան, Մ. Գ. Միքայելյան—Հիպոֆիզի Թիրնոտրոպ ֆուևկցիան թրու- ցնլոզի դեպրոսն	
հիշինոլոգին Վ. Լ. Գորոդնով, Վ. Վ. Ֆանաբջան—Կարմիր կորիշի նեյրոնների կեզնային սիսա-	
my = hly daymetima .	188

СОДЕРЖАНИЕ

MATEMATHKA	
С. Г. Мартиля—Устойчивость карактериза ий распределений и теристические, в широком симсле, счойства поривленого расправа	
ПРИКЛАДНАЯ МАТЕМАТИКА	
Р С Миласия—О смещанной граничной задаче тишлинроводности для шере	
георня упругости	
А. А. Беблови, А П Меливия—Осесинистричной выпладическими триминами В С Мехарян—Об одной осисинистричной поитактий задаче для уприн	
АСТРОФИЗИКА	
О В. Пикичен—Задача диффузиого отраже ин при при признальном запаче по распределения получения по честотам	
ГЕОФИЗИКА Д. С Григоран—Об ощение напасов желепорудных местором дений по данным мар ит ой съемки	
ОРГАНИЧЕСКАЯ ХИМИЯ С. Г. Маниям. С. Л. Зноводжим В. А. Деликам Л. 4. Сервистон—Порти не прогесса радикальной сополниеризации и теломи плации бено об сити им с серелачей цели на сомономер на вримере пинывнитат гипсациор	
TELBER	
БИОФИЗИКА	
С А. Бабжиля М И. Алебжанов В Г Мингеани—Нес зерование или раз- ного потенциала гепатиштов прыс восле отпотовой травим	
БИОХИМИЯ А. А. Голова, А. К. Антонан. В В Вого Р. Гологан Винение восого тем- таления ского поливинтиля на сектопно висульна у прыс А. А. Голова, Р. М. Сропнония Р. О. Королога, Ф. М. Сосова С. 11-1-	173
Г. А. Сарибини — Модифинированный способ выпаления двух изоформ нейрогормона «С» путем диссонячили на глими напидированном софения се G—10	
ЭНТОМОЛОГИЯ С. М. Яблоков Хизорян—Два нових вила вестиокрания поменения на бестиокрания на бестиокра	
MEJHLIHHA B M Apyrone M F. Munerabe-Tupeorpo mas Gymens (Brodes o specific Ecasore	
BT. Fopolmon, B. B. Cumapa M. R. — Kopkonii: cumi attruccine III iii	

CONTENTS

don't build	
MATHEMATICS	P.
S. T. Mkrtchian—Stability of characterizations of distributions and some characteristic properties of normal distribution in a wide sense	
	123
APPLIED MATHEMATICS	
R. S. Minusian - On the mixed boundary-value heat conduction problem for the sphere • • • • • • • • • • • • • • • • • •	
	102
THEORY OF ELASTICITY	
A. A. Bablayan, A. P. Melbon'an — The axisymmetric problem for a rota-	
ting cylinder weakened by the periodical cylindrical cracks	_
layer, weakened by coin-shaped crack	
ASTROPHYSICS	
11. V. Pikid Jian — The problem of diffuse reflection of radiation in the	
case of arbitrary law of frequency redistribution	
GEOPHYSICS	
D. C. Grigorian — On estimate of iron-ore deposit reserves from magne-	4
tic survey data - · · · · · · · · · · · · · · · · · ·	
ORGANIC CHEMISTRY	
S. G. Matsoyan, S. L. Enflajlan, V. H. Daniellan, L. A. Sarkisian —	
Investigation of radical expolymerization and telomerization of binary system	
followed by transfering the chain on comonomer in the case of vinylacetate-	
hexach orbutadiene	162
BIOPHYSICS	
S A Bad/Inlan, M I. Aghadjanov, V. G. Mkhitarian-A study of me.z-	
A. A. Galoran, A. K. Antonian, V. V. Baev and R. G. Guistian — The	
influence of new hypothalamic polypeptide on rat insulin secretion	
A. A. Galoyan, R. M. Sraplonian, R. O. Karapetian, F. M. Sahakian,	
S. A. Suhakian G. A. Saribektun-Modified method of isolation of two isolaims	
of neurohormone .C. by dissociation on glycinamidated seladex G-10	176
ENTOMOLOGY	
S. M. lablokoff-Khnzorian - Two new species of ladybeetles from Eas-	
tern Asia (Coleoptera, Coccinellidae) - · · · · · · · · · · ·	180
MEDICINE	
V. M. Haroutunian, M. G. Mikaelian — Thyreothropic function of hypop-	
lisis in hrucel'osis • • • • • • • • • • • • • • • • • •	184
PHYSIOLOGY	
V. L. Gorodnov, V. V. Fanardjian - Cortical synaptic inputs of the red	100
nucleus neurones - · · · · · · · · · · · · · · · · · ·	188
T	
Технический редактор Л. А. АЗИЗБЕКЯН	

ВФ 01410. Подписано к печати 22/1 1979 г. Тираж 545. Изд. 4961. Заказ 1064.

Формат бумаги 70×1081/16. Печ. л. 4,0. Бум. л. 2. Усл. печ. л. 5,6. Уч. изд. листов 4,25. УДК 519.2

МАТЕМАТИКА

С. Т. Мкртчян

Устойчивость характеризаций распределений и некоторые характеристические, в широком смысле, свойства нормального распределения

(Представлено чл корр АН Армянской ССР А А. Талаляном 28/11 1978)

1. Пусть $x_1, \dots x_n$ — повторная выборка из совокупности с функцией распределения (ф. р.) F(x). Известно много результатов о характеризации нормального распределения тем или иным свойством этой выборки (1). В заметке (2) обращалось винмание на то, что некоторые свойства P, характеризующие нормальное распределение могут быть ослаблены до свойств P, представляющих собой аналоги свойств P в широком смысле (см. (2), гл. 2), что новое свойство P также является характеристическим, но уже для ф. р. F(x), соответствующее число первых моментов которой совнадает с моментами некоторого нормального закона.

В настоящей заметке мы покажем, что исследование таких "расширений" \hat{P} , часто, по существу является исследованием устойчивости в некоторых специальных метриках свойств P (в смысле работы (4)).

 2° . Пусть X н Y два метрических пространства с метриками d_1 и d_2 соответствению, а J- отображение из X в Y. Если B некоторое подмножество Y, а $C-J^{-1}(B)$, то мы говорим о чистой задаче характеризации множества C свойством $J(z) \in B$, $z \in X$. В этой работе рассматривается частный случай задачи характеризации в смысле (4).

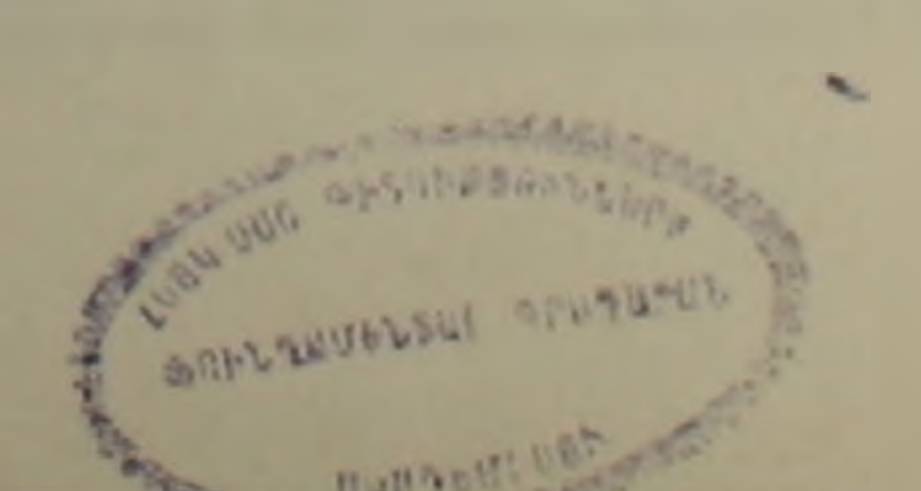
Скажем, что задача характеризации множества C устойчива в пределах множества $X' \subset X$, если для любой последовательности z_1 , точек множества X' из условия

$$d_2(J(z_m), B) \xrightarrow{m \to \infty} 0$$

вытекает, что

$$d_1(z_m, C) \xrightarrow{m \to \infty} 0$$

(Это также частный случай определения устойчивости в смысле (4). Скажем, что множество $A \subseteq X$ δ —компактно, если в ном существует конечная δ -сеть.



Обозначим через B_1 , з-окрестность множества B_2

Теорема 1. Пусть X полное метрическое пространство, J-не- прерывное отображение из X в Y, B- замкнутое подмножество Y, X'- замкнутое подмножество X и для любого >0 множество $J^{-1}(B_{\epsilon}) \cap X' \sim -$ компактно, причем ~ -0 . При этих условиях задача характе-

ризации множества $C=J^{-1}(B)$ устойчива в пределах множества X'.

3°. Пусть X совокупность одномерных ф. р. F(x), а Y совокупность пар ф. р. $(G_1^{(u)}, G_2^{(u)})$. Рассмотрим две линейные формы

$$L_1 = \sum_{j=1}^n a_j x_j, L_2 = \sum_{j=1}^n b_j x_j,$$

построенные по повторной выборке $x_1,...,x_n$ из совокупности с ф. р. F(x) и определим отображение J из X в Y, сопоставив ф. р. F(x) пару маргинальных ф. р. $(G_1^{(n)}, G_2^{(n)})$ линейных форм L_1 и L_2 .

Метрику d_1 в X определим соотношением

$$d_1(F_1, F_2) = \frac{1}{k+1}$$

если в точности первые моменты до порядка k(k > 0 — целое) распределений существуют и равны, т. е. если

$$\int_{-\infty}^{\infty} x^e dF_1(x) = \int_{-\infty}^{\infty} x^e dF_2(x), \ l = 0, 1, ..., \ k,$$

причем указанные интегралы существуют, а моменты порядка k+1 либо не существуют, либо не равны друг другу. При этом мы отождествляем распределения, имеющие одинаковые (и конечные) моменты всех порядков.

Метрику d_{1} в Y введем, положив

$$d_2((G_1, G_2), (G'_1, G'_2)) = \max(d_1(G_1, G'_1), d_1(G_2, G'_2)).$$

Ясно, что отображение Ј непрерывно и

$$d_2(J(F_1), J(F_2)) \leqslant d_1(F_1, F_2).$$

Теорема 2. Пусть $B = \{(G_1, G_2) \in Y : G_1(u) = G_2(u) u \in R^1\}$, коэффициенты форм L_1 и L_2 удовлетворяют условиям

$$\sum_{j=1}^{n} a_{j}^{e} \neq \sum_{j=1}^{n} b_{j}^{e}, e = 3, 4, ...,$$
 (1)

и X'— множество ф. р. с конечными и заданными первым и вторым моментами. Тогда множество

$$J^{-1}(B_1) \cap X'$$
 $\delta_1 = \frac{1}{\left|\frac{1}{\epsilon}\right| + 1} - \kappa o \lambda n a \kappa m h o.$

Следствие 1. При условиях (1) задача характеризации нормального распределения свойством одинаковой распределенности липейных 130

форм и L_2 устойчива в пределах множества X'. т. е. из совпадения первых k моментов форм L_1 и L_2 следует совпадение первых моментов ф. р. F(x) с соответствующими моментами некоторого пормального закона, причем

4. Пусть множества X, X' и метрика d_1 те же, что и в пункте 3° , а Y совокупность двумерных ф. р. G(u, v). Метрику d_* ввелем, положив

$$d_{1}(G_{1}, G_{2}) = \frac{1}{k+1},$$

если

$$\int_{-\infty}^{\infty} \int_{-\infty}^{\infty} u^{l_1} u^{l_2} d G_1(u,v) = \int_{-\infty}^{\infty} u^{l_1} u^{l_2} d G_2(u,v) l_1 + l_2 \leq k l_1 \geq 0, i = 1, 2.$$

где указанные интегралы сходятся. Моменты порядка k-1 либо не существуют, либо не равны друг другу. Пусть B—множество ф. р. G(u,v), представляемых в виде $G(u,v)=G_1(u)$, $G_2(v)$.

Из теоремы 2 вытекает.

Следствие 2. При выполнении условии

$$\sup_{t_1,t_1} \left| \sum_{j=1}^n |t_1 a_j + t_2 b_j|^l - \sum_{j=1}^n |(t_1 a_j)^l + (t_2 b_j)^l| \right| > 0, l = 3, 4....$$

задачи характеризации нормального закона свойством независимости форм L_1 и L_2 устойчива.

Вычислительный центр Госплана Армянской ССР

II. թ. ՄԿՐՏՉՅԱՆ

Բաշխումների բնութագոման կայունությունը և նորմալ բաշխման որոշ լայն իմաստով բնութագրական ճատկությունները

Հայտնի են շատ արդյունքներ նորմալ բաշխումը վերցվածքի այս կամ այն հատկությամբ բնութագրելու մասին։ Աշխատանքում նկատված է, որ նորմալ բաշխումը բնութագրող մի որևէ P հատկություն կարևլի է փոխարինել մի

ավելի թույլ P Հատկությամբ, որն բնութագրում է արդեն թաշխում, որի Համապատասխան Լարգի մոմենտները համընկնում են որևէ նորմալ թաշխման մոմենտների հետ։ Այս աշխատանքում ցույց է տրված, որ այդպիսի «թուլասումը» կարելի է դիտել որպես P հատկության կայունության հետազոտում որոշ առանձնահատուկ մետրիկաներում։

JI H T E P A T Y P A - 4 C U 4 U U O F P S O F V

¹ Л. М. Каган, Ю. В. Линник, С. Р. Рао, Характеризационные задачи математической статистики, М., 1972 ² А. М. Каган, Записки научных семинаров ЛОМИ, т. 61. 59—67, 1976 ³ Дж. Дуб. Вероитные процессы, М., 1956 ⁴ В. М. Зологарев, Записки научных семинаров ЛОМИ, т. 61, 1976, 38—55. Эффект устойчивости характеризации распределений

УДК 536.24

ПРИКЛАДНАЯ МАТЕМАТИКА

Р. С. Минасян

О смешанной граничной задаче теплопроводности для шара

(Представлено академиком АН Армянской ССР М. М. Джрбашяном 2/VI 1978)

В работах (1-4) получены решения смешанных краевых задач теплопроводности для бесконечного цилиндра и полуплоскости. В настоящей работе приводится решение задачи стационарного осесимметричного течения тепла в шаре, на поверхности которого происходит теплообмен с окружающей средой, когда коэффициент теплообмена является функцией угла в. Предполагаем, что внутри шара имеются источники тепла. Функция распределения температуры в шаре удовлетворяет уравнению (5)

$$\frac{\partial^2 U}{\partial r^2} + \frac{2}{r} \frac{\partial U}{\partial r} + \frac{1}{r^2 \sin \theta} \frac{\partial}{\partial \theta} \left(\sin \theta \frac{\partial U}{\partial \theta} \right) = -\frac{1}{r} w(r, \theta) \tag{1}$$

и граничному условию

$$\frac{\partial U}{\partial r}\Big|_{r=R} = h(\theta)[S(\theta) - U(R,\theta)]. \tag{2}$$

Здесь ℓ — коэффициент теплопроводности шара, $w(r, \theta)$ — интенсивность тепловыделения внутри шара, $h(\theta)$ и $S(\theta)$ — соответственно коэффициент теплообмена и температура окружающей среды. Относительно функций $h(\theta)$, $S(\theta)$ и $w(r, \theta)$ предполагаем, что они имеют ограниченную вариацию и что коэффициент теплообмена $h(\theta)$ неотрицателен. Преобразованием (5)

$$\cos\theta = 1, \ U(r,\theta) = r \ TU^*(r,1) \tag{3}$$

задача сводится к решению дифференциального уравнения

$$\frac{\partial^{2} U^{*}}{\partial r^{2}} + \frac{1}{r} \frac{\partial U^{*}}{\partial r} + \frac{1}{r^{2}} \left[(1-r^{2}) \frac{\partial^{2} U}{\partial r^{2}} - 2 \frac{\partial U^{*}}{\partial r^{2}} - \frac{1}{4} U^{*} \right] = -\frac{1}{\kappa} r_{2}^{2} w^{*}(r, \zeta) \tag{4}$$

с граничным условием

$$\frac{\partial U^{\circ}}{\partial r}\Big|_{r=R} - \frac{1}{2R} U^{\circ}(R, z) = h^{\circ}(z) [R_{z}^{1} S^{\circ}(z) - U^{\circ}(R, z)]. \tag{5}$$

Разложим функцию $U^*(r,1)$ в ряд по полиномам Лежандра

$$U^*(r,1) = \sum_{k=0}^{\infty} U_k(r) P_k(1), \tag{6}$$

где $P_k(1)$ — полиномы Лежандра, удовлетворяющие уравнению ($^{\mathfrak a}$)

$$(1 - \zeta^2) P_k^*(\zeta) - 2\zeta P_k^*(\zeta) + k(k+1) P_k(\zeta) = 0, \tag{7}$$

$$U_k(r) = \frac{1}{D_k} \int_{-1}^{1} U^*(r, \cdot) P_k(\cdot) d\cdot , D_k = \frac{2}{2k+1}$$
. Умножая уравнение (4) на

 $\frac{1}{D_k}P_k(\zeta)d\zeta$, интегрируя по ζ от -1 до +1, и учитывая (7), для определения $U_k(r)$ получаем уравнение

$$U_k(r) + \frac{1}{r} U_k(r) - \frac{1}{r^2} \left(k + \frac{1}{2} \right)^2 U_k(r) = -\frac{1}{l} w_k(r), \tag{8}$$

ограниченное решение которого имеет вид:

$$U_{k}(r) = \left(\frac{r}{R}\right)^{k+\frac{1}{2}} \left[C_{k} + \frac{1}{\lambda(2k+1)} \int_{r}^{R} w_{k}(r_{1}) G_{k}(r_{1}) r_{1} dr_{1} \right] +$$

$$+\frac{G_{k}(r)}{\lambda(2k+1)}R^{-k-\frac{1}{2}}\int_{0}^{\infty}w_{k}(r_{1})r_{1}^{k+\frac{3}{2}}dr_{1}.$$
(9)

Здесь

$$w_{k}(r) = \frac{1}{D_{k}} r^{\frac{1}{2}} \int_{-1}^{1} w^{s}(r, \cdot) P_{k}(\cdot) d\cdot G_{k}(r) = \left(\frac{R}{r}\right)^{k+\frac{1}{2}} - \left(\frac{r}{R}\right)^{k+\frac{1}{2}}. (10)$$

Прежде, чем перейти к определению постоянных С₄, входящих в выражение (9), видоизменим граничное условие (5):

$$\frac{\partial U^*}{\partial r}\bigg|_{r=R} + \left(h^* - \frac{1}{2R}\right)U^*(R, z) = R z h(z)S^*(z) - [h(z) - h^*]U^*(R, z), \tag{11}$$

где
$$h^{\circ} = \frac{1}{2} \int_{1}^{h} h(k) dk$$
. Учитывая (6) и обозначая $C_{\bullet} = \frac{m_{k}}{k}$ ($k \ge 1$); $C_{\circ} =$

 $= m_0$, из (11) имеем:

$$m_{h} = -\frac{kR}{(k+h^{2}R)D_{h}} \left[m_{0} \right] (h^{*}(\zeta) - h^{*}) P_{h}(\zeta) d\zeta + \sum_{i=1}^{m} \frac{m_{i}}{I} \int (h^{*}(\zeta) - h^{*}) P_{h}(\zeta) d\zeta + \sum_{i=1}^{m} \frac{m_{i}}{I} \int (h^{*}(\zeta) - h^{*}) P_{h}(\zeta) d\zeta + \sum_{i=1}^{m} \frac{m_{i}}{I} \int (h^{*}(\zeta) - h^{*}) P_{h}(\zeta) d\zeta + \sum_{i=1}^{m} \frac{m_{i}}{I} \int (h^{*}(\zeta) - h^{*}) P_{h}(\zeta) d\zeta + \sum_{i=1}^{m} \frac{m_{i}}{I} \int (h^{*}(\zeta) - h^{*}) P_{h}(\zeta) d\zeta + \sum_{i=1}^{m} \frac{m_{i}}{I} \int (h^{*}(\zeta) - h^{*}) P_{h}(\zeta) d\zeta + \sum_{i=1}^{m} \frac{m_{i}}{I} \int (h^{*}(\zeta) - h^{*}) P_{h}(\zeta) d\zeta + \sum_{i=1}^{m} \frac{m_{i}}{I} \int (h^{*}(\zeta) - h^{*}) P_{h}(\zeta) d\zeta + \sum_{i=1}^{m} \frac{m_{i}}{I} \int (h^{*}(\zeta) - h^{*}) P_{h}(\zeta) d\zeta + \sum_{i=1}^{m} \frac{m_{i}}{I} \int (h^{*}(\zeta) - h^{*}) P_{h}(\zeta) d\zeta + \sum_{i=1}^{m} \frac{m_{i}}{I} \int (h^{*}(\zeta) - h^{*}) P_{h}(\zeta) d\zeta + \sum_{i=1}^{m} \frac{m_{i}}{I} \int (h^{*}(\zeta) - h^{*}) P_{h}(\zeta) d\zeta + \sum_{i=1}^{m} \frac{m_{i}}{I} \int (h^{*}(\zeta) - h^{*}) P_{h}(\zeta) d\zeta + \sum_{i=1}^{m} \frac{m_{i}}{I} \int (h^{*}(\zeta) - h^{*}) P_{h}(\zeta) d\zeta + \sum_{i=1}^{m} \frac{m_{i}}{I} \int (h^{*}(\zeta) - h^{*}) P_{h}(\zeta) d\zeta + \sum_{i=1}^{m} \frac{m_{i}}{I} \int (h^{*}(\zeta) - h^{*}) P_{h}(\zeta) d\zeta + \sum_{i=1}^{m} \frac{m_{i}}{I} \int (h^{*}(\zeta) - h^{*}) P_{h}(\zeta) d\zeta + \sum_{i=1}^{m} \frac{m_{i}}{I} \int (h^{*}(\zeta) - h^{*}) P_{h}(\zeta) d\zeta + \sum_{i=1}^{m} \frac{m_{i}}{I} \int (h^{*}(\zeta) - h^{*}) P_{h}(\zeta) d\zeta + \sum_{i=1}^{m} \frac{m_{i}}{I} \int (h^{*}(\zeta) - h^{*}) P_{h}(\zeta) d\zeta + \sum_{i=1}^{m} \frac{m_{i}}{I} \int (h^{*}(\zeta) - h^{*}) P_{h}(\zeta) d\zeta + \sum_{i=1}^{m} \frac{m_{i}}{I} \int (h^{*}(\zeta) - h^{*}) P_{h}(\zeta) d\zeta + \sum_{i=1}^{m} \frac{m_{i}}{I} \int (h^{*}(\zeta) - h^{*}) P_{h}(\zeta) d\zeta + \sum_{i=1}^{m} \frac{m_{i}}{I} \int (h^{*}(\zeta) - h^{*}) P_{h}(\zeta) d\zeta + \sum_{i=1}^{m} \frac{m_{i}}{I} \int (h^{*}(\zeta) - h^{*}) P_{h}(\zeta) d\zeta + \sum_{i=1}^{m} \frac{m_{i}}{I} \int (h^{*}(\zeta) - h^{*}) P_{h}(\zeta) d\zeta + \sum_{i=1}^{m} \frac{m_{i}}{I} \int (h^{*}(\zeta) - h^{*}) P_{h}(\zeta) d\zeta + \sum_{i=1}^{m} \frac{m_{i}}{I} \int (h^{*}(\zeta) - h^{*}) P_{h}(\zeta) d\zeta + \sum_{i=1}^{m} \frac{m_{i}}{I} \int (h^{*}(\zeta) - h^{*}) P_{h}(\zeta) d\zeta + \sum_{i=1}^{m} \frac{m_{i}}{I} \int (h^{*}(\zeta) - h^{*}) P_{h}(\zeta) d\zeta + \sum_{i=1}^{m} \frac{m_{i}}{I} \int (h^{*}(\zeta) - h^{*}) P_{h}(\zeta) d\zeta + \sum_{i=1}^{m} \frac{m_{i}}{I} \int (h^{*}(\zeta) - h^{*}) P_{h}(\zeta) d\zeta + \sum_{i=1}^{m} \frac{m_{i}}{I} \int (h^{*}(\zeta) - h^{*}) P_{h}(\zeta) d\zeta + \sum_{i=1}^{m} \frac{m_{i}}$$

$$-h^{\circ})P_{k}(z)P_{j}(z)dz + q_{k},$$

$$m_{0} = -\frac{1}{2h^{\circ}}\sum_{j=1}^{\infty}\frac{m_{j}}{j}\int_{z}[h^{\circ}(z)-h^{\circ}]P_{j}(z)dz + q_{0}.$$
(12)

Здесь

$$q_{k} = \frac{k}{k + h^{*}R} \left[\frac{1}{D_{k}} R^{\frac{3}{2}} \int_{-1}^{1} h^{*}(\zeta) S^{*}(\zeta) P_{k}(\zeta) d\zeta + \frac{1}{K} R^{-\frac{1}{2}} \int_{0}^{R} w_{k}(r) r^{k+\frac{3}{2}} dr \right]$$

$$q_{0} = \frac{1}{2h^{*}} \left[R^{1} \int_{-1}^{1} h^{*}(\zeta) S^{*}(\zeta) d\zeta + \frac{2}{K} R^{-3/2} \int_{0}^{R} w_{0}(r) r^{\frac{3}{2}} dr \right]. \quad (13)$$

Таким образом, для определения m_k получили бесконечную систему линейных алгебранческих уравнений (12). Для исследования полученной системы оценим вначале сумму модулей коэффициентов при неизвестных в каждом из уравнении. Учитывая предположенную выше ограниченность вариации коэффициента теплообмена $h^*(\zeta)$ и воспользовавшись оценками модуля полиномов Лежандра $P_k(\xi)$ и их производной, данными в работе (7)

$$(1-\mathbb{I}^2)^{1/4}|P_k(\mathbb{I})| = \sqrt{\frac{1}{n\pi}}; \qquad (1-\mathbb{I}^2)^{3/4}|P_k'(\mathbb{I})| < \left(k+\frac{1}{2}\right)\sqrt{\frac{6}{n\pi}}, \qquad (14)$$

где $n = \left\lfloor \frac{k}{2} \right\rfloor$, после некоторых упрощений будем иметь

$$= \frac{kR}{(k+h^*R)D_k} \left\| \int [h^*(z) - h^*] P_k(z) dz \right\| + \sum_{l=1}^{\infty} \frac{1}{l} \int [h^*(z) - h^*] P_l(z) dz \right\| + \sum_{l=1}^{\infty} \frac{1}{l} \int [h^*(z) - h^*] P_l(z) P_k(z) dz \right\| + \sum_{l=1}^{\infty} \frac{1}{l} \int [h^*(z) - h^*] P_l(z) dz \right\| + \sum_{l=1}^{\infty} \frac{1}{l} \int [h^*(z) - h^*] P_l(z) dz \right\| + \sum_{l=1}^{\infty} \frac{1}{l} \int [h^*(z) - h^*] P_l(z) dz \right\| + \sum_{l=1}^{\infty} \frac{1}{l} \int [h^*(z) - h^*] P_l(z) dz \right\| + \sum_{l=1}^{\infty} \frac{1}{l} \int [h^*(z) - h^*] P_l(z) dz = 0$$
(15)

Злесь через H обозначена полная париация функции $h^*(\zeta)-h^*$ в промежутке (-1:1). Из (15) усматриваем, что, начиная, от $k=k_1>K^2$, где k=14HR, суммы модулей коэффициентов в уравнениях (12) становятся меньше единицы и при возраствини k стремятся к нулю с быстротой $\frac{K}{V \, k}$. Снободные члены g_k , согласно предположению об ограниченности вариации функций $S(\theta)$, $h(\theta)$, $w(r,\theta)$ и неравенствам (14), будучи ограниченными в своей совокупности, с возрастанием k также стремятся к нулю с быстротой $O(k \, \pi)$. Согласно теории бесконечных систем (a), имеют место ограниченность решения и сходимость метода последовательных приближений. Задаваясь

значениями $S(\theta)$, $h(\theta)$, $w(r,\theta)$ и решая усеченную систему (12), найдем оценки величины m_k сверху и синзу, после чего способом, описанным в (°), получим из (6) и (9) значения $U(r,\theta)$ с избытком и недостатком. Оценим далее по модулю n-ый остаток ряда (6). Предполагая суммируемость первой производной $w(r,\theta)$ по r и θ , будем иметь внутри шара (r < R)

$$\delta_n(r,\theta) = \left| \sum_{k=n}^{\infty} U_k(r) P_k(\cos \theta) \right| < \frac{1}{\sqrt{\sin \theta}} \left[\frac{M}{\ln R - \ln r} \left(\frac{r}{R} \right)^n n^{-1/2} + \frac{1}{\lambda} w n^{-2} \right].$$

где $M = \max_{(k,n)} |m_k|$; w - полная вариация $w(r,\theta)$. На поверхности r = R

$$\delta_n(\theta) < \frac{2M}{\sqrt{\sin \theta}} n^{-1/2}$$

Заметим, что при конкретном задании функций $h(\theta)$, $S(\theta)$ и $w(r,\theta)$ можно значительно усилить быстроту убывания коэффициентов, определяемых из бесконечной системы (2), что позволяет существенно уменьшить число операций, необходимых для получения заданной точности решения.

Рассмотрим, например, случай, когда $h^*(\zeta)$ кусочно-постоянен а $S^*(\zeta)$ -кусочно-линейна:

$$h^*(1) = \begin{cases} h_1 & \text{при } -1 < 1 < 0 \\ h_2 & \text{при } 0 < 1 \end{cases} \quad S^*(1) = \begin{cases} S_0 + S_1, & \text{при } -1 < 1 < 0 \\ S_0 + S_2, & \text{при } 0 < 1 < 1; \end{cases}$$

$$w^*(r, 1) = 0.$$

В этом случае $h^* = \frac{1}{2}(h_1 + h_2)$, и из (12) и (13) имеем:

$$m_{k} = \frac{k(h_{1} - h_{2})R}{2(k + h^{*}R)D_{k}} \left\{ [1 - (-1)^{k}] \frac{m_{0}P_{k}'(0)}{k(k+1)} + \sum_{j=1}^{\infty} [1 - (-1)^{k+j}] \times \frac{[P_{k}'(0)P_{j}(0) - P_{j}'(0)P_{k}(0)]m_{j}}{j(k-j)(k+j+1)} + q_{k} \quad (k \geqslant 1) \right\}$$

$$m_{0} = \frac{h_{1} - h_{2}}{2(h_{1} + h_{2})} \sum_{j=1}^{\infty} \frac{P_{j}'(0)m_{j}}{j^{*}(j+1)} + q_{0}.$$

Здесь

$$q_{k} = \frac{kR^{3/2}}{(k+h^{*}R)D_{k}} \left[S_{0}P_{k}(0) \frac{h_{2}+(-1)^{k}h_{1}}{k(k+1)} - P_{k}(0) \frac{h_{2}S_{3}-(-1)^{k}h_{1}S_{1}}{(k-1)(k+2)} \right]$$
(17)

$$q_0 = \sqrt{R} \left(S_0 - \frac{h_1 S_1 - h_1 S_2}{2(h_1 + h_2)} \right).$$

а штрих при знаке суммы означает, что при суммировании индекс j = k опускается. Преобразуем неизвестные m_k , обозначив

$$m_{k} = \frac{(h_{1} - h_{2})RP_{k}(0)}{(k+1)(k+h+R)D_{k}} (\eta - S_{0}/R) + \frac{m_{k}^{*}}{k}; \quad m_{0} = m_{0}^{*}, \quad (k \ge 1)$$
 (18)

где постоянцая у определяется из выражения

$$\eta = m_0^* + \sum_{j=1}^n \frac{P_j(0)m_j^*}{j^2} \tag{19}$$

Подставляя значения из (18) в (16) и замечая, что (6) $P_{2k+1}(0) = -P_{-}(0) = 0$ приходим к следующим соотношениям для неизвестных

$$m' = -\frac{kR}{(k+h^*R)D_k} \left\{ \frac{h_1 - h_2}{k+1} \sum_{j=1}^{r} \frac{1}{j^2(k-j)(k+j+1)} \times \left[(k(k+1)P_k(0)P_j'(0) - j(j+1)P_j(0)P_k(0))m_j^* + \frac{(h_1 - h_2)R}{(j+1)(j+h^*R)D_j} \right] \times \left(\gamma_i - \sqrt{R} S_0 \right) k(k+1) j P_k(0) P_j'^2(0) \left\{ -k\sqrt{R} \frac{(h_1 S_1 - h_2 S_2)P_k(0)}{(k-1)(k+2)} \right\};$$
(20)
$$m_0 = \frac{h_1 - h_2}{h_1 + h_2} \sum_{j=1}^{r} \frac{P_j(0)}{j^2(j+1)} \left[\frac{m_j^*}{j} + (h_1 - h_2)R \frac{(\gamma_i - \sqrt{R} S_0)P_j(0)}{(j+1)(j+h^*R)D_j} \right] + \frac{1}{\sqrt{R}} \left(S_0 - \frac{h_1 S_1 - h_2 S_2}{2(h_1 + h_2)} \right)$$

Как легко видеть, сумма модулей коэффициентов при неизвестных в k-м уравнении системы (20) и свободные члены при возрастании k стремятся к нулю с быстротой $O(k^{-1/2} \ln k)$. Учитывая (18), (9), (6), (3), для $U(r, \theta)$ получаем следующее выражение

$$U(r, \theta) = R + \frac{(h_1 - h_2)R(\eta - \sqrt{\kappa}S_0)P_k'(0)}{k(k+1)(k+h^*R)D_k} \left| P_k(\cos\theta)R^{-k-1/2}r^k \right|$$
(21)

Оценивая по модулю *n*-ый остаток этого ряда, имеем: внутри шара

$$r_n(r,\theta) < \frac{1}{(\ln R - \ln Z)\sqrt{\sin \theta}} |M| n^{-5/2} + (h_1 - h_2)R(\eta - \sqrt{R}S_0)n^{-2}|\left(\frac{r}{R}\right)^n$$

на поверхности r = R

$$h_n(\theta) < \frac{1}{\sqrt{\sin \theta}} \left[\frac{2}{3} M n^{-1} + (h_1 - h_2) R(\tau_i - \sqrt{R}S_0) n^{-1} \right].$$

Институт математики Академии наук Армянской ССР Գեղի համաբ ջեռմահաղուդականության խառը եզբային խնդբի մասին

Հողվածում դիտարկվում է դնղում ջևրմուիյան առանցքասիմնտրիկ դուրլայի ֆունկցիաննիի, որի անհայտ դործակիցը փոփոխվում է ըստ անկյան անդրագրում երբ չերմափոխանակության գործակիցը փոփոխվում է ըստ անստացիոնար ֆունկցիաննիի, որի անհայտ դործակիցննիր որոշվում ևն դծային հանրահաշվական հավասարումների անվերի սիստնմից

ЛИТЕРАТУРА — ԳՐԱԿԱՆՈՒԹՅՈՒՆ

Р. С. Минасян, ДАН Арм. ССР, т XXXIX, № 5 (1964) ² Р. С. Минасян, В кн. Тепло и массоперенос, т. VIII, Вопросы теории тепло и массопереноса, Минск, 1968. ³ Б. А. Васильев, Дифференциальные уравнения, т. 10, № 7, 1974. ⁴ А. Б. Ефимов. В Н. Воробьев, 11ФЖ, т. 26. № 5, 1974. ⁵ Г. Карслоу, Д. Егер, Теплопроводность твердых тел, «Наука», 1964. ⁶ Е. В Гобсон, Теория сферических и эллипсондальных функций, ИЛ, 1952. ⁷ С. Н. Бернитейн, Собрание сочинений, т. П. АН СССР, 1954. ⁴ Л. В. Канторович, В. Н. Крылов, Приближенные метолы высшего анализа, Физматгиз, 1962. ⁹ Р. С. Минасян, «Навестия АН Арм. ССР», серия физ. мат. наук, т. XI, № 3 (1958).

УДК 539 3

ТЕОРИЯ УПРУГОСТИ

А. А. Баблоян, А. П. Медконян

Осесимметричная задача для вращающегося цилиндра, ослабленного периодическими цилиндрическими трещинами

(Представлено чл.-корр АН Армянской ССР Б Л Абрамяном 18/1 1978)

Осесимметричные контактные задачи для бесконечного цилиндра рассматривались в работах П. З. Лифшица (1), В. М. Александрова (2), Г. Я. Попова (3) и др.

Осесимметричная задача для бесконечного цилиндра, ослабленного одной центральной монегообразной или кольцеобразной трещиной, была рассмотрена в работах (4.5).

Аналогичные задачи для конечного цилиндра, когда граничные условия как на цилиндрической поверхности, так и на торцах задаются в смешанном виде, рассматривались в работах (6,7).

Осесимметричная задача для вращающегося цилиндра конечной длины подробно изучалась в работе В. Т. Гринченко (*).

В настоящей работе приводится решение осесниметричной задачи для вращающегося бескопечного цилиндра радиуса R, ослабленного периодическими (с периодом 2π) цилиндрическими трещинами радиуса s < R и длины $l = 2(\pi - c)$ (рис. 1). Предполагается, что при вращении цилиндра могут возникнуть кольцеобразные трещины по отрезкам s = R $z = (2n-1)\pi$, n = 0, ± 1 , ± 2 ... При наличии таких трещин одно из граничных условии на их поверхности удовлетворяется приближенно.

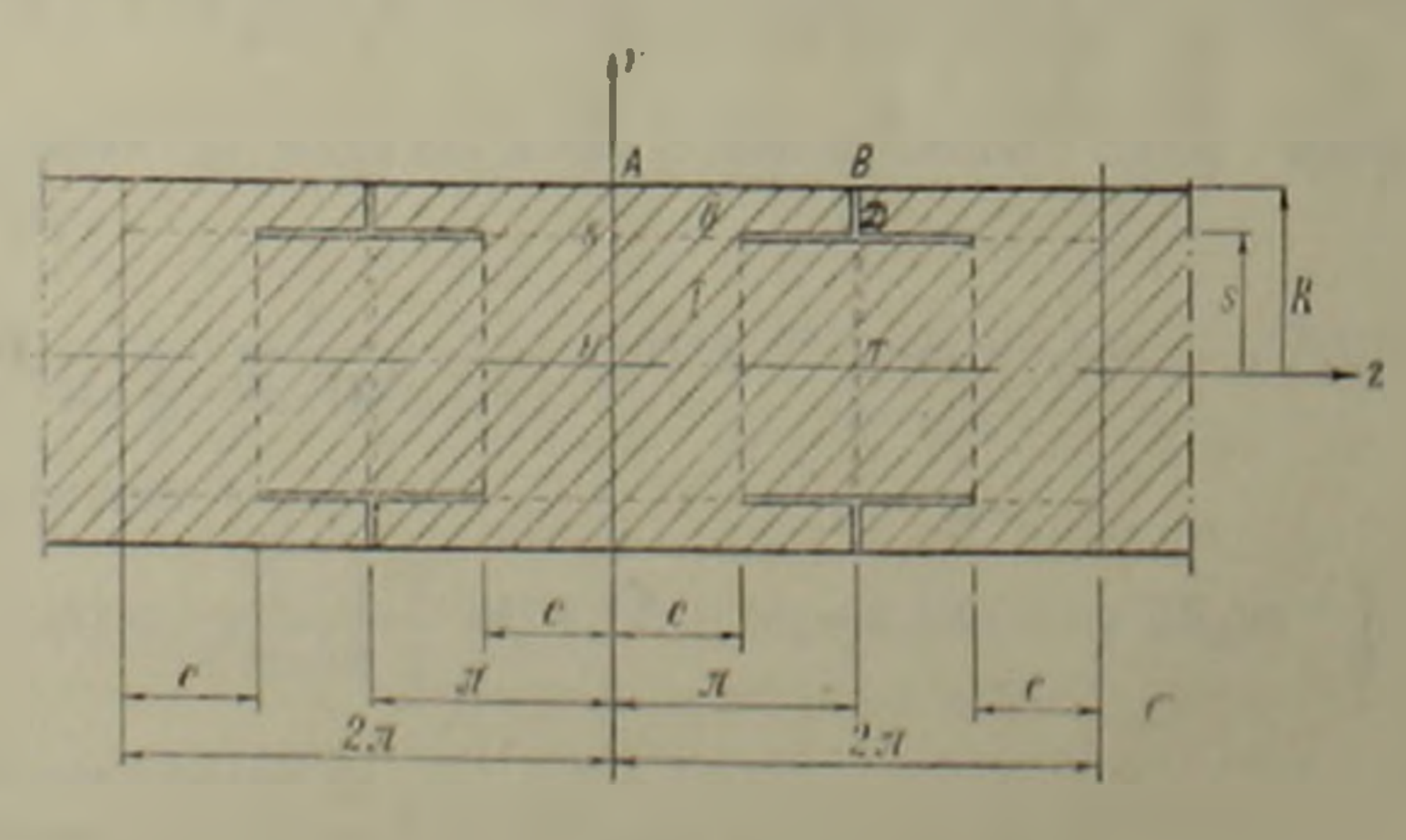


Рис. 1

Решение задачи ищется в виде рядов Фурье, коэффициенты которых определяются из двух бесконечных систем алгебранческих уравнений. Доказывается, что эти уравнения в общем случае квазивполне регулярны, а свободные члены при возрастании номера стремятся к пулю. Получены формулы для контактных напряжений ог, то и раствора цилиндрической трещины.

Известно (*), что решение осесимметричной задачи для вращающегося тела сводится к определению функции напряжений $\chi(r,z)$, которая в области осевого сечения тела удовлетворяет уравнению

$$\nabla^4 \chi(r,z) = -2 \frac{3-2\tau}{1-\tau} m^2 = \frac{\partial^2}{\partial r^2} \frac{1}{r} \frac{\partial}{\partial r} \frac{\partial^2}{\partial z^2}, \tag{1}$$

а на поверхности задается законом распределений напряжений и перемещений

$$z_{r} = \frac{\partial}{\partial z} \left[v \nabla^{2} \chi - \frac{\partial^{2} \chi}{\partial r^{2}} \right] - \frac{3 - 2v}{2} \rho \omega^{2} r^{2},$$

$$z_{s} = \frac{\partial}{\partial z} \left[v \nabla^{2} \chi - \frac{1}{r} \frac{\partial \chi}{\partial r} \right] - \frac{1 - 2v}{2} \rho \omega^{2} r^{2},$$

$$\sigma_{z} = \frac{\partial}{\partial z} \left[(2 - v) \nabla^{2} \chi - \frac{\partial^{2} \chi}{\partial z^{2}} \right] + (3 - v) \rho \omega^{2} r^{2},$$

$$z_{rz} = \frac{\partial}{\partial r} \left[(1 - v) \nabla^{2} \chi - \frac{\partial^{2} \chi}{\partial z^{2}} \right] - (3 - 2v) \rho \omega^{2} r^{2},$$

$$2Gu = -\frac{\partial^{2} \chi}{\partial r \partial z} - \frac{1}{2} \rho \omega^{2} r^{2},$$

$$2Gw = 2(1 - v) \nabla^{2} \chi - \frac{\partial^{2} \chi}{\partial z^{2}} - (3 - 2v) \rho \omega^{2} r^{2} z.$$

$$(2)$$

где G—модуль сдвига, у—коэффициент Пуассона, ω —угловая скорость.

В силу симметрии задачу будем решать только для области О r R, O z — удовлетворяя при этом условиям симметрии

$$w(r, 0) = 0, \quad \tau_{r}(r, 0) = \tau_{r}(r, \tau) = 0 \qquad (0 \quad r \le R)$$

$$w(r, \tau) = a_1 \qquad (0 \le r \le s)$$
(3)

Функцию напряжений в каждой подобласти I (KDTH) и II (ABDK) ищем отдельно, удовлетворяя при этом на линии контакта двух подобластей r = s, $0 \le z < c$ условиям сопряжения

$$z^{(1)} = u_1 = u_2, \ u_1 = u_2, \ w_1 = w_2. \tag{4}$$

Здесь и в дальнейшем индексом i=1 и i=2 обозначены компоненты напряжений и перемещений в нижней и верхней подобластях соответственно.

Решение уравнения (1) представим в виде (9,10)

$$\chi_{i}(r,z) = z \left(A_{i}r^{2} + B_{i}z^{2} + C_{i}z + D_{i}\ln r \right) + \varphi_{i}(r,z) + \sum_{k=1}^{z} \varphi_{k}^{i}(r) \sin k z, \tag{5}$$

где

$$\varphi_{k}^{(l)}(r) = E^{(l)}I_{0}(kr) + G_{k}^{(l)}krI_{1}(k,r) + F_{k}^{(l)}K_{0}(kr) + H^{(l)}krK_{1}(k,r),
\varphi_{i}(r,z) = -0.5\,\varepsilon_{i}(\alpha_{i}r^{4}z + \beta_{i}r^{2}z^{3} + \gamma_{l}z^{5}).
= \frac{(3-2\tau)\rho\omega^{2}}{2(1-\tau)(8\alpha_{i}+6\beta_{l}+15\gamma_{l})}, \quad F_{k}^{(l)} = H^{(l)} = D_{1} = 0, \tag{6}$$

а $I_n(x)$, $K_n(x)$ — функции Бесселя от минмого аргумента, соответственно первого и второго рода.

Рассмотрим напряженное состояние цилиндра при следующих граничных условиях

$$\sigma_r^{(2)}(R, z) = -(R, z) = 0 \qquad (0 \le z \le \pi)$$

$$\sigma_r^{(1)}(s, z) = \tau_{rz}^{(1)}(s, z) = 0, \qquad (c < z \le \pi \quad i = 1; 2)$$

$$\tau_{rz}^{(2)}(r, z) = 0 \qquad 2Gw_2(r, \pi) = a_2 + br^2 \quad (s \le r \le R)$$
(7)

Постоянные $a_1,\ a_2,\ b$ будем определять из условий равновесия статики для рассматриваемого участка цилиндра

$$\int_{0}^{R} r^{k} z^{(2)}(r, \pi) dr = 0 \qquad (k = 1, 2)$$

$$2\pi \int_{0}^{R} r \sigma_{z}^{(1)}(r, \pi) dr = 2\pi \int_{0}^{R} r \sigma_{z}(r, 0) dr = P. \tag{8}$$

Удовлетворяя условням (3), (4), (7) получим ряд соотношений, откуда для определения коэффициентов разложений (5), (6) будем иметь (аргумент а при бесселевых функциях будем опускать)

$$k^{2}\Delta_{1}(a)G^{(1)} = X_{k}(I_{0} - a^{-1}I_{1}) - Y_{k}I_{1},$$

$$k^{2}\Delta_{1}(a)E^{(1)} = -X_{k}[(1 - 2v)I_{0} + aI_{1}] + Y_{k}[2(1 - v)I_{1} + aI_{0}],$$

$$k^{2}\Delta_{1}(a)E^{(1)} = -aX_{k}B_{3k} + aY_{k}B_{4k} - B_{k}B_{5k},$$

$$k^{2}\Delta H^{(2)} = -aX_{k}B_{1k} + aY_{k}B_{2k} - B_{k}B_{6k},$$

$$k^{2}\Delta H^{(2)} = -aX_{k}B_{1k} + aY_{k}B_{2k} - B_{k}B_{6k},$$

$$E^{(2)} + G^{(2)}[2(1 - v) + a\lambda(a)] - H^{(2)}a\Delta_{2}(a) =$$

$$= k^{-2} \{X_{k}[aK_{0} + K_{1}] + (Y_{k} - B_{k})aK_{1}\},$$

$$-F^{(2)}_{k} + H^{(2)}_{k}[2(1 - v) - a\lambda(a)] + G^{(2)}_{k}a\Delta_{1}(a) =$$

$$k^{-2} \{X_{k}[aI_{0} - I_{1}] - (Y_{k} - B_{k})aI_{1}\},$$

$$4(1-v)A_{l} + 3(1-2v)B_{l} = \frac{a_{l}}{2\pi} - \frac{v\pi^{2}b_{l}}{3(1-v)}, \quad G_{l} = 0 \quad (i=1,2)$$

$$2A_{2} + 3B_{3} = \frac{a_{3}}{2\pi} + \frac{\pi^{2}b_{3}}{3(1-v)} + R^{2} \left[\frac{3-2v}{8(1-v)} \rho \omega^{3} - \frac{b_{3}}{4(1-v)} \right] - \frac{D_{3}}{R^{2}},$$

$$2(1-2v)(A_{1}-A_{2}) - 6v(B_{1}-B_{2}) + \frac{D_{2}}{s^{2}} = b_{2} \left(\frac{1+v}{1-v} \frac{\pi^{2}}{3} - \frac{v^{3}}{4(1-v)} \right). \quad (10)$$

$$15\gamma_{l}\varepsilon_{l} = \frac{2-v}{1-v} b_{l}, \quad 3\beta_{l}\varepsilon_{l} = -b_{l}, \quad b_{l} = \frac{b}{2\pi} \left\{ 1 + (-1)^{l} \right\}$$

$$16(1-v)z_{l}\varepsilon_{l} = (3-2v)\rho\omega^{2} - 2vb_{l}, \quad a=ks, \quad \beta=kR. \quad (11)$$

Здесь введены следующие обозначения:

$$aB_{1k} = A_{0k}(aI_0 - I_1) - A_{1k}(aK_0 - K_1), \quad B_{2k} = A_{0k}I_1 + A_{1k}K_1,$$

$$aB_{3k} = A_{2k}(aI_0 - I_1) - A_{0k}(aK_0 - K_1), \quad B_{4k} = A_{2k}I_1 + A_{0k}K_1,$$

$$B_{5k} = A_{2k}[aI_1(a) - \beta I_1(\beta)] + A_{0k}[aK_1(a) - \beta K_1(\beta)],$$

$$B_{6k} = A_{0k}[aI_1(a) - \beta I_1(\beta)] + A_{1k}[aK_1(a) - \beta K_1(\beta)],$$

$$A_{1k} = a\Delta_1(a) - \beta\Delta_1(\beta), \quad A_{2k} = a\Delta_2(a) - \beta\Delta_2(\beta),$$

$$A_{0k} = a\delta(a) - \beta\delta(\beta), \quad \Delta = A_{0k}^2 - A_{1k} \cdot A_{2k}, \qquad (12)$$

$$\Delta_1(x) = x[I_0(x) - I_1^2(x)] - \frac{2(1-y)}{x}I_1^2(x), \quad B_k = \frac{4(-1)^k(1+y)b_2}{(1-y)k^3},$$

$$\Delta_2(x) = x[K_0^2(x) - K_1^2(x)] - \frac{2(1-y)}{x}K_1^2(x),$$

$$\delta(x) = x[I_0(x)K_0(x) + I_1(x)K_1(x)] + \frac{2(1-y)}{x}I_1(x)K_1(x).$$

Отметим, что последние два уравнения (9) остаются в силе, если заменить \mathbf{z} через \mathbf{B} и положить в них $X_k = Y_k = 0$.

Удовлетворяя смешанным условиям (4) и (7) на линии r = s, $0 \le \infty$ для определения неизвестных коэффициентон X_k и Y_k , входящих в (9), получим две системы парных тригонометрических уравнений, которые, с использованием результатов ($^{11-13}$), сводятся к решению бесконечных систем линенных алгебранческих уравнении

$$Y_n = \sum_{k=1}^{n} a_{kn} M_k + \gamma_{n1}, \quad Y_n = \sum_{k=1}^{n} \beta_{kn} N_k + \gamma_{n2} \quad (n = 1, 2 ...)$$
 (13)

При этом из условия непрерыниости радиального перемещения u(s, z) получается также следующее соотношение:

$$\frac{s}{4(1-v)} \left[2(A_1 - A_2) - \frac{D_2}{s} - \frac{b_3 s}{4(1-v)} \right] - \frac{b_2 s}{2(1-v)} \sum_{k=1}^{(-1)^{k-1}} \frac{(-1)^{k-1}}{s} [2-y_k(\cos c)] = (14)$$

$$=2\ln\left(\sin\frac{c}{2}\right)\left[2(1-2v)A_{1}-6vB_{1}+\frac{(3-2v)\rho\omega^{2}S^{2}}{8(1-v)}\right]+\frac{1}{2}\sum_{k=1}^{\infty}N_{k}y_{k}(\cos c).$$
B charge (13) breachem of obtain the energy of the property of the energy of

Виды и свойства функций $y_n(x)$, $z_n(x)$, а также интегралов (15) приведены в работе (13).

Аналогичным образом, как это сделано в (12), доказывается, что бесконечная система (13) квази-вполне регулярна, а свободные члены системы имеют порядок $O(n^{-3/2})$.

После решения бесконечных систем контактные напряжения будут вычислены по формулам

$$\sigma_{r}(s,z) = \frac{Q_{1}\cos z/2}{\sqrt{2(\cos z - \cos c)}} + \frac{sb_{2}}{2(1-v)} \ln \frac{\sqrt{1+\cos z} + \sqrt{\cos z - \cos c}}{\sqrt{1+\cos z} - \sqrt{\cos z - \cos c}} - \cos \frac{z}{2} \sum_{k=1}^{\infty} k^{2}N_{k} \int \frac{y_{k}(\cos \theta) \operatorname{tg} \theta/2 d\theta}{\sqrt{2(\cos z - \cos \theta)}} (0 < z < c)$$
(16)
$$\sigma_{r}(s,z) = \frac{Q_{2}\sin z/2}{\sqrt{2(\cos z - \cos c)}} + \sin \frac{z}{2} \sum_{k=1}^{\infty} k^{2}M_{k} \int \frac{z_{k}(\cos \theta) \operatorname{ctg} \theta/2 d\theta}{\sqrt{2(\cos z - \cos \theta)}}$$

где коэффициенты при особенностах имеют вид:

$$Q_{1} = \sum_{k} k N_{k} z_{k} (\cos c) + \frac{2sb_{8}}{1-2} \ln \cos \frac{c}{2} - \sqrt{2}\pi \left[(1-2v)A_{1} - 3vB_{1} + \frac{3-2v}{16(1-v)} \right] a^{2} z^{2}$$

$$+ \frac{3-2v}{16(1-v)} \left[a^{2} z^{2} - \sqrt{2}\pi \left(b_{1} z^{2} - \frac{a_{1} - a_{2}}{\pi} \right) \right]$$

$$Q_{2} = \sum_{k=1}^{\infty} k M_{k} y_{k} (\cos c) + \frac{1}{2(1-v)} \left(b_{1} z^{2} - \frac{a_{1} - a_{2}}{\pi} \right) .$$

$$(17)$$

Для раствора трещины получается следующее выражение:

$$\frac{(s-1)^{2}}{4(1-v)} \left[u_{1}(s,z) - u_{1}(s,z) \right] = \sin \frac{z}{2} \left[\sum_{k=1}^{\infty} \frac{z_{k}(\cos\theta) \cot\theta/2 d\theta}{\sqrt{2(\cos\theta - \cos z)}} \right]$$

$$+ \frac{2sb_{1}}{1-v} \int_{c} \frac{\coth\theta/2 \cdot \ln\cos\theta/2 \cdot d\theta}{\sqrt{2(\cos\theta - \cos z)}} \left[-\left[2(1-2v)A_{1} - 6vB_{1} - \frac{3-2v}{8(1-v)} \rho\omega^{2}s^{2} \right]$$

$$- \ln \frac{1}{\sqrt{1-\cos z}} + \sqrt{\cos z - \cos z} \qquad (c < z < \pi).$$

Постоянные A_l , B_l , D_l будем определять из уравнений (10) и (14), а для определения неизвестных a_l , a_l и b_l из (8) получаем следующие соотношения:

$$2(2-v)A_1 + 3(1-v)B_1 + \frac{1}{s} \sum_{i=1}^{s} (-1)^k X_k = \frac{r^{2m^2k^2}}{8(1-v)} + \frac{r^2s_2^{(2)}(r, \pi)dr} = 0.$$
(19)

В частном случае, когда кольцевая трещина отсутствует, имеем $b_1=0$, $a_1=a_2=a$, причем значение a определяется из соотношения:

$$\frac{(1+3v)a}{2\pi} - \frac{2vD_2}{R^2} + \frac{v}{4}\rho\omega^2 R^2 = \frac{P}{2\pi R}.$$
 (20)

При этом в формулах (12) – (19) нужно принимать:

$$B_k = \gamma_{k1} = 0, \quad \gamma_{k2} = \frac{\delta}{k} y_k(\cos c),$$
 (21)

где

$$a = 2(1 - 2v)A_1 - 6vB_1 - \frac{(3 - 2v)\rho\omega^2 s^2}{8(1 - v)} = -(R^2 - s^2) \left[\frac{D_2}{s^2 R^2} - \frac{(3 - 2v)\rho\omega^2}{8(1 - v)} \right].$$

$$(22)$$

Отметим, что в этом случае все неизвестные бесконечных систем (13) пропорциональны величине в. Это значительно облегчает как численное решение бесконечных систем, так и вычисление величин (16)—(19).

Институт механики Академии наук Армянской ССР

Ա. Հ. ԻԱՌԼՈՅԱՆ, Ա. Պ. ՄԵԼՔՈՆՑԱՆ

Պաբբեռական գլանային նեղքեռով թույացված պտտվող գլանի առանցքասիմետռիկ խնդիռը

Աշխատանքը նվիրված է պարբերական ճեղքերով <mark>βուլացված պտտվող</mark> Հոծ գլանի առանցքասիմետրիկ խնդրի լուծմանը։ <mark>Ենթադրվում է, որ պտտման</mark> ընթացքում դյանի վրա կարող են առաջանալ նաև օղակաձև ճեղքեր։

Խնդիրը լուծվում է Ֆուրյեի մեβողով և բերվում է գծային, հանրահաշվական անվերջ սիստեմի լուծմանը։

ի Համար։ Ապացուցվում է, որ ստացված սիստեմը բվազի-լիովին ռեդուլյար է։ Համար։

ЛИТЕРАТУРА— ЧРИЧИКОТЬ РВИНЬ

1 П. З. Лифшиц. «Навестия АН СССР», ОТН, № 4, 1955. 2 В. М. Александров, «Известия АН СССР», ОТН, № 5, 1962. 3 Г. Я. Попов, «Известия АН Арм. ССР», серия ф.-м наук. г. 17. № 4 (1964). 4 N. Sneddon, R. Y. Tuit. Int. J. Eng. sci., vol. 1. pp. 391—409, 1963. В Б. А. Кудрявцев, В. З. Партон, ПММ, т. 37, вып. 2 (1973). 4 Л. П. Мелконян, "Известия АН Арм. ССР". Механика, т. 24. № 2 (1971). 7 А. А. Баблоян, А. П. Мелконян, "Известия АН Арм. ССР". Механика, т. 26, № 5 (1973). В. Т. Гринченко, Груды Всесоюзной конференции по теории оболочек и пластин. Ереван, 1964. В Тапітото, J. Shinshu Univ. (Engl. Ed.), № 3, 11—28, 1953. 10 Б. Л. Абрамян, ДАН Арм. ССР, т. 19, № 1 (1954). 11 И. С. Градитсйн, И. М. Рыжик. Таблицы интегралов, сумм, рядов и произведений, Наука, М., 1963. 12 А. А. Баблоян, А. П. Мелконии, "Известия АН Арм. ССР", Механика, т. 21, № 1 (1968). 13 А. А. Баблоян, ПММ, т. 31, вып. 4 (1967).

LXVII

1978

3

УДК 539.3

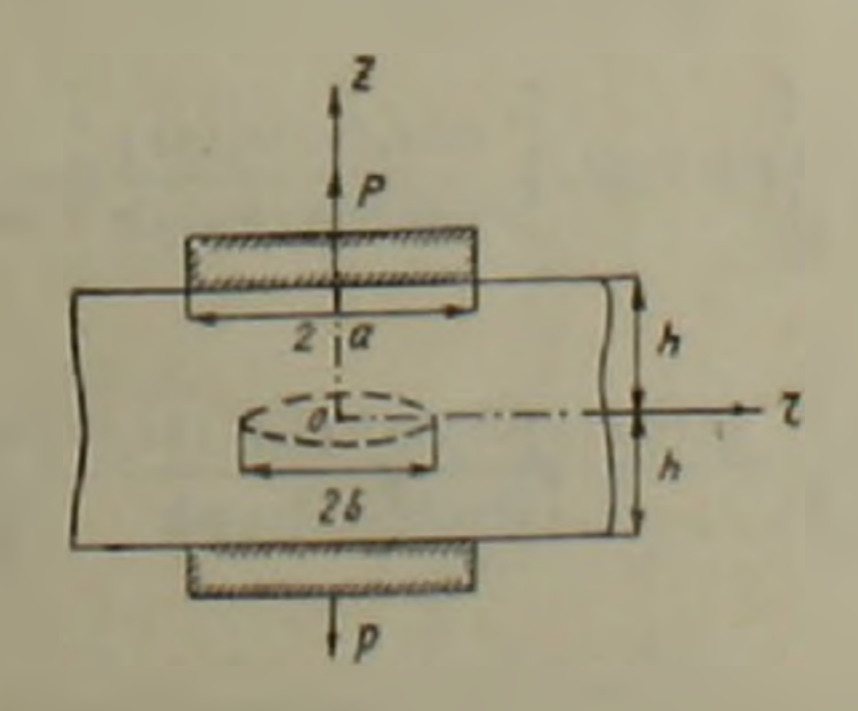
ТЕОРИЯ УПРУГОСТИ

В. С. Макарии

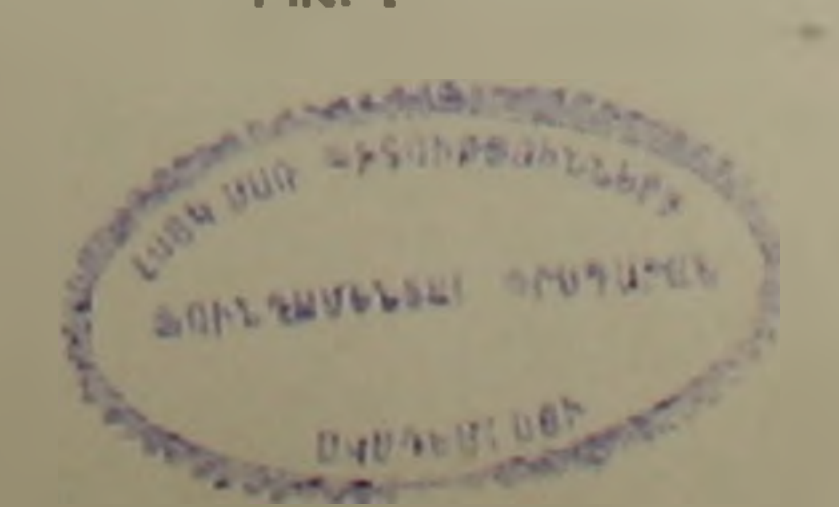
Об одной осесимметричной контактной задаче для упругого слоя, расслабленного монетообразной трещиной

(Представлено чл.-корр АН Армянской ССР Б. Л. Абрамяном 6/У 1978)

Рассматривается осесимметричная контактная задача о растяжения упругого слоя, расслабленного монетообразной трещиной, двумя одинаковыми круговыми в плане абсолютно жесткими дисками, сцепленными к граничным плоскостям слоя. Решение задачи строятся при помощи бигармонической функции Лява, которая берется в виде интеграла Ханкеля. На основе интегрального преобразования Ханкеля решение задачи сводится к решению системы интегральных уравнении относительно двух функций контактных напряжений под диском и одной функции деформаций берега трещины. Введя новые функции, непосредственно связанные с указанными выше, относительно последних получается система из двух сингулярных интегральных уравнений с ядром Коши и одного интегрального уравнения Фредгольма второго рода. Далее, на основе аппаратов ортогональных многочленов Якоби и Лежандра решение последней системы сводится к решению эквивалентных квазивнолне регулярных бесконечных систем линейных алгебраических уравнении. Отметим, что близкая по своей постановке задача, когда расслабленный монетообразной трещиной слой по своим граничным плоскостям подвергается воздействию сжимающих нормальных сил, ранее была исследована в (1).



Pac. 1



1. Пусть упругий слей толщиной 2h в своей илоскости z=0 расслаблен монетообразной трешиной радиуса b и подвергается растяжению посредством двух жестких дисков радиусов a, сцепленных к граничным плоскостям слоя $z=\pm h$ (рис. 1).

Граничные условия задачи запишутся в виде:

$$\sigma_z(r, z)|_{z=h} = 0; \quad \tau_{rz}(r, z)|_{z=h} = 0 \quad (r \quad a)$$
 (1.1), (1.2)

$$U_{z}(r,z)|_{z=h} = c; \quad U_{r}(r,z)|_{z=h} = 0 \quad (0 \le r \le a)$$
 (1.3); (1.4)

$$|z_{z}(r,z)|_{z=0} = 0; \quad |z_{rz}(r,z)|_{z=0} = 0 \quad (0 \leq r < b)$$
 (1.5); (1.6)

Кроме того имеют место условия симметрии:

$$\tau_{rz}(r, z)|_{r=0} = U_r(r, z)|_{r=0} = 0 \quad (0 \leqslant z \leqslant h)$$
 (1.7)

$$|z_{z-0}|_{z=0} = U_z(r, z)|_{z=0} = 0 \quad (r > b)$$
 (1.8)

Бигармоническую функцию Лява представим в виде интеграла Ханкеля

$$\Phi(r, z) = \int_{0}^{\infty} \left[A(\mu) \sinh z + B(\mu) \cosh z + \mu z C(\mu) \sinh z + \mu z D(\mu) \cosh z \right] J_0(\mu r) d\mu,$$

здесь $J_0(x)$ функция Бесселя первого рода пулевого индекса действительного аргумента. Пользуясь известными формулями (*), компоненты напряжений и перемещений выразим при помощи интегралов Ханкеля. Удовлетворяя условиям (1.1; 1.2, 1.6; 1.8), на основе интегрального преобразования Ханкеля функции интегрирования выразим через функции контактных напряжений под диском и деформаций береги трещины. Удовлетворяя, далее, условиям (1.3; 1.4; 1.5) решение задачи сведем к решению следующей системы интегральных уравнений;

$$\int_{0}^{a} t p(t) dt \int_{0}^{\pi} J_{0}(\mu t) J_{0}(\mu r) d\mu + \frac{1 - 2\nu}{2(1 - \nu)} \int_{0}^{a} t q(t) dt \int_{0}^{\pi} J_{1}(\mu t) J_{0}(\mu r) d\mu + \frac{1}{2(1 - \nu)} \int_{0}^{a} t p(t) dt \int_{0}^{\pi} \frac{1/2(e^{-2\mu h} - 1) - \mu h}{\sinh \cosh \mu h + \mu h} J_{0}(\mu t) J_{0}(\mu r) d\mu - \int_{0}^{a} t q(t) dt \int_{0}^{\pi} \frac{\mu h J_{1}(\mu t) J_{0}(\mu r)}{\sinh \mu \cosh \mu h + \mu h} d\mu - \frac{1}{2(1 - \nu)} \int_{0}^{b} t \epsilon(t) dt \int_{0}^{\pi} \frac{(\sinh h + \mu h \cosh h) J_{1}(\mu t) J_{0}(\mu r) d\mu}{\sinh \mu \cosh \mu h + \mu h} = \frac{c}{4O(1 - \nu)}$$

$$(0 < r < a)$$

$$(1.9)$$

$$\int_{0}^{t} tq(t)dt \int_{0}^{t} J_{1}(\mu t)J_{1}(\mu t)d\mu = \frac{1-2}{2(1-r)} \int_{0}^{t} tp(t)dt \int_{0}^{t} J_{0}(\mu t)J_{1}(\mu t)d\mu + \frac{1}{2(1-r)} \int_{0}^{t} tq(t)dt \int_{0}^{t} \frac{1/2(e^{-r/h}-1)-\mu h}{\sinh h \cosh h} J_{1}(\mu t)J_{1}(\mu t)d\mu - \int_{0}^{t} tp(t)dt \int_{0}^{t} \frac{\mu h J_{1}(\mu t)J_{0}(\mu t)d\mu}{\sinh h \cosh h} - \int_{0}^{t} te(t)dt \int_{0}^{t} \frac{\mu h \sinh h J_{1}(\mu t)J_{1}(\mu t)d\mu}{\sinh h \cosh h} = 0$$

$$\int_{0}^{t} te(t)dt \int_{0}^{t} \mu J_{1}(\mu t)J_{0}(\mu t)d\mu - \frac{1}{\sinh h \cosh h} + \frac{1}{\mu h} \int_{0}^{t} (\mu t)J_{0}(\mu t)J_{0}(\mu t)d\mu + \frac{1}{\sinh h \cosh h} + \frac{1}{\mu h} \int_{0}^{t} (\mu t)J_{0}(\mu t)d\mu + \frac{1}{\sinh h \cosh h} \int_{0}^{t} (\mu t)J_{0}(\mu t)d\mu + \frac{1}{\sinh h \cosh h} \int_{0}^{t} (\mu t)J_{0}(\mu t)d\mu + \frac{1}{\sinh h \cosh h} \int_{0}^{t} (\mu t)J_{0}(\mu t)d\mu + \frac{1}{\sinh h \cosh h} \int_{0}^{t} (\mu t)J_{0}(\mu t)d\mu + \frac{1}{\sinh h \cosh h} \int_{0}^{t} (\mu t)J_{0}(\mu t)d\mu + \frac{1}{\sinh h \cosh h} \int_{0}^{t} (\mu t)J_{0}(\mu t)d\mu + \frac{1}{\sinh h \cosh h} \int_{0}^{t} (\mu t)J_{0}(\mu t)d\mu + \frac{1}{\sinh h \cosh h} \int_{0}^{t} (\mu t)J_{0}(\mu t)d\mu + \frac{1}{\sinh h \cosh h} \int_{0}^{t} (\mu t)J_{0}(\mu t)d\mu + \frac{1}{\sinh h \cosh h} \int_{0}^{t} (\mu t)J_{0}(\mu t)d\mu + \frac{1}{\sinh h \cosh h} \int_{0}^{t} (\mu t)J_{0}(\mu t)d\mu + \frac{1}{\sinh h \cosh h} \int_{0}^{t} (\mu t)J_{0}(\mu t)d\mu + \frac{1}{\sinh h \cosh h} \int_{0}^{t} (\mu t)J_{0}(\mu t)d\mu + \frac{1}{\sinh h \cosh h} \int_{0}^{t} (\mu t)J_{0}(\mu t)d\mu + \frac{1}{\sinh h \cosh h} \int_{0}^{t} (\mu t)J_{0}(\mu t)d\mu + \frac{1}{\sinh h \cosh h} \int_{0}^{t} (\mu t)J_{0}(\mu t)d\mu + \frac{1}{\sinh h \cosh h} \int_{0}^{t} (\mu t)J_{0}(\mu t)d\mu + \frac{1}{\sinh h \cosh h} \int_{0}^{t} (\mu t)J_{0}(\mu t)d\mu + \frac{1}{\sinh h \cosh h} \int_{0}^{t} (\mu t)J_{0}(\mu t)d\mu + \frac{1}{\sinh h \cosh h} \int_{0}^{t} (\mu t)J_{0}(\mu t)d\mu + \frac{1}{\sinh h \cosh h} \int_{0}^{t} (\mu t)J_{0}(\mu t)d\mu + \frac{1}{\sinh h \cosh h} \int_{0}^{t} (\mu t)J_{0}(\mu t)d\mu + \frac{1}{\sinh h \cosh h} \int_{0}^{t} (\mu t)J_{0}(\mu t)J_{0}(\mu t)d\mu + \frac{1}{\sinh h \cosh h} \int_{0}^{t} (\mu t)J_{0}(\mu t)J$$

Следуя работе (1) систему интегральных уравнений преобразуем следующим образом:

$$\int_{0}^{a} t p(t) J_{0}(\mu t) dt = \frac{2}{\pi} \int_{0}^{a} t p(t) dt \int_{0}^{t} \frac{\cos \mu y dy}{\sqrt{t^{2} - y^{2}}} = \int_{0}^{a} c(y) \cos \mu y dy.$$

$$\int_{0}^{a} t q(t) J_{1}(\mu t) dt = \frac{2}{\pi} \int_{0}^{a} t q(t) dt \int_{0}^{t} \frac{y \sin \mu y dy}{\sqrt{t^{2} - y^{2}}} = \int_{0}^{a} c(y) \sin \mu y dy.$$

$$\int_{0}^{b} t e(t) J_{1}(\mu t) dt = \int_{0}^{b} H(y) \sin \mu y dy.$$

ЗДЕСЬ

$$z(y) = \frac{2}{\pi} \int_{y}^{a} \frac{tp(t)dt}{\sqrt{t^{2}-y^{2}}}; \quad z(y) = \frac{2y}{\pi} \int_{y}^{a} \frac{q(t)dt}{\sqrt{t^{2}-y^{2}}}, \quad H(y) = \frac{2y}{\pi} \int_{y}^{b} \frac{z(t)dt}{\sqrt{t^{2}-y^{2}}}.$$

Отметим, что если известны функции $\sigma(y)$, $\tau(y)$ и H(y), то функ-

ции p(t); q(t) и z(t) определятся при помощи формул обращения Абеля. Переходя в системе (1.9—1.11) к функциям $\sigma(y)$; $\tau(y)$ и H(y) и применив к полученным уравнениям соответственно операторы

$$I_{1}\varphi = \frac{d}{dx} \int_{0}^{x} \frac{r\varphi(r)dr}{\sqrt{x^{2}-r^{2}}}; \quad I_{2}\varphi = \frac{d}{dx} \left[x \int_{0}^{x} \frac{\varphi(r)dr}{\sqrt{x^{2}-r^{2}}} \right]; \quad I_{3}\varphi = \int_{0}^{x} \frac{r\varphi(r)dr}{\sqrt{x^{2}-r^{2}}}.$$

После несложных выкладок систему (1.9-1.11) преобразуем к виду:

$$\sigma^{\circ}(x) - \frac{1}{\pi} \int_{-\pi}^{a_{0}} \frac{(y)dy}{x - y} + \int_{-\pi}^{a_{0}} K_{11}(x, y)\sigma^{\circ}(y)dy - \int_{-\pi}^{a_{0}} K_{12}(x, y)\tau^{\circ}(y)dy - \int_{-\pi}^{\pi} K_{13}(x, y)H^{\circ}(y)dy = c_{0} \quad (-a_{0} < x < a_{0})$$

$$(1.12)$$

$$= \int_{-a_0}^{a_0} \frac{\int_{-a_0}^{a_0} \frac{f(y)dy}{x-y} + \int_{-a_0}^{a_0} K_{21}(x,y) f(y)dy - \int_{-a_0}^{a_0} K_{23}(x,y) f(y)dy - \int_{-a_0}^{a_0$$

$$H^{*}(x) - \int K_{31}(x, y)H^{*}(y)dy + \int_{-a_{0}}^{a_{0}} K_{32}(x, y)z^{*}(y)dy + \int_{-a_{0}}^{a_{0}} K_{33}(x, y)\tau^{*}(y)dy = 0$$

$$(-b_{0} < x < b_{0})$$
(1.14)

Следует отметить, что здесь искомые функции на отрицательные значения аргумента продолжены следующим образом:

$$\sigma(y) = \sigma(-y); \quad \tau(y) = -\tau(-y); \quad H(y) = -H(-y)$$

и введены обозначения

$$K_{11}(x, y) = \frac{h}{2\pi(1-v)} \int_{0}^{\pi} \frac{1/2(e^{-2\lambda}-1)-1}{\sinh \cosh + \lambda} \cos \lambda x \cos y dt; \quad f^*(x) = f(hx)$$

$$K_{12}(x,y) = \frac{h}{\pi} \int \frac{i \sin y \cos^3 x}{\sinh \cosh + \lambda} dx; \qquad = \frac{1-2\pi}{2(1-2\pi)}$$

$$K_{13}(x,y) = \frac{h}{2\pi(1-v)} \int \frac{\sinh + i \cosh k}{\sinh \cosh k + i} \cos k x \sin k y dk; \quad c_0 = \frac{c}{4G(1-v)}$$

$$K_{21}(x, y) = \frac{h}{2\pi(1-y)} \int_{0}^{\infty} \frac{1/2(e^{-2\lambda}+1)-\lambda}{\sinh(\cosh)+\lambda} \sinh(x\sinh)ydt$$

$$K_{22}(x,y) = \frac{h}{\pi} \int_{0}^{\pi} \frac{i \cos i y \sin x}{\sinh \cosh y - h} dh; \quad a_0 = \frac{a}{h}; \quad b_0 = \frac{b}{h}$$

$$K_{13}(x,y) = \frac{h}{2\pi(1-y)} \int_{0}^{h} \frac{h \sinh \sin y}{\sinh \cosh h} \sin x dh$$

$$K_{31}(x, y) = h(1-x) \int_{0}^{x} \frac{i(\lambda+1)+1/2(1-e^{-2\lambda})}{\sinh \cosh \lambda+\lambda} \sin i y \sin \lambda x di$$

$$K_{32}(x, y) = h(1-y) \int_{0}^{\pi} \frac{\sinh + \lambda \cosh \lambda}{\sinh \cosh \lambda + \lambda} \cos \lambda y \sin \lambda x d\lambda;$$

$$K_{33}(x,y) = h(1-t) \int_{0}^{\infty} \frac{i \sin x \sin y}{\sinh x + i} \sin x dt.$$

$$z(x) = \omega(x) \sum_{n=0}^{\infty} X_n p^{(-\alpha,\alpha)}(x/a_0); \quad H^*(x) = \sum_{n=1}^{\infty} Y_n p_{2n-1}(x/b_0) \quad (2.1); \quad (2.2)$$

$$\omega(x) = (a_0 - x)^{-\alpha} (a_0 + x)^{\alpha}; \quad \alpha = i\pi; \quad x = 1/2\pi \ln(3 - 4\pi).$$

Далее, пользуясь известным интегральным соотношением для многочленов Якоби (4), по известной процедуре решение системы (1.12— 1.14) сведем к следующей эквивалентной бесконечной системе линейных алгебраических уравнений:

$$X_n + c_n \left[\sum_{m=1}^{\infty} A_{mn} X_m + \sum_{m=1}^{\infty} B_{mn} \overline{X}_m + a_n \right] = 0,$$
 (2.3)

$$Y_n + d_n \left[\sum_{m=1}^{\infty} C_{mn} Y_m + a_n \right] = 0, \tag{2.4}$$

$$(n=1, 2, \ldots); \quad c_n = \frac{(n+1/2)(n!)^2 a_0}{\Gamma(n+1-\alpha)\Gamma(n+1+\alpha)}; \quad d_n = (2n-1/2)a_0.$$

Выражении ядер и свободных членов бесконечных систем (2.3; 2.4) представляют коэффициенты Фурье по многочленам Якоби и Лежандра и здесь не приводятся.

Введением новых неизвестных

$$X_n = \bigcap_{n=1}^{n-1} X_n^*; Y_n = n^{n-1} Y_n^*; (0 < \epsilon \ll 1)$$

можно показать, что системы (2.3; 2.4) при любых значениях параметров квазивполне регулярны (5). Постоянная определяется из условия равновесия штампа

$$\int_{0}^{a} rp(r)dr = \frac{h}{2} \int_{-a_{0}}^{a_{0}} \sigma^{w}(x)dx = \frac{h}{2} \int_{-a_{0}}^{a_{0}} \varphi(x)dx = \frac{p}{2\pi}$$

которое с учетом (2.1) дает

$$X = -\frac{x \sin \pi x p}{2\pi - ax}$$

Что же касается постоянной c_0 , то она выражается в виде суммы коэффициентов разложений (2.1; 2.2). Отметим еще, что системы (2.3; 2.4) можно значительно упростить, если учесть, что из условий (1.15) следует

Re
$$X_{2n-1} = \text{Im } X_{2n} = 0$$
 ($n=1, 2, \ldots$) (8)

однако, на этом останавливаться не будем.

Автор выражает свою благодарность С. М. Мхитаряну за постановку задачи и внимание к работе.

Институт механики Академии наук Армянской ССР

Վ. Ս. ՄԱԿԱՐՅԱՆ

Դետմաձև ճաքով թուլացված առաձգական շեւտի ճամաբ մի առանցքասիմետբիկ կոճտակտային խնդբի մասին

Դիտարկվում է դրամաձև արտ իրայալ առաձղական շերտի առանցասիմետրիկ կոնտակտային իւնդիրը, երթ շերտը ենթարկվում է ձգման իր եզրային հարթություններին հարակցված դրոշմների միջոցովան հրի լուծումը ներկայացվում է Հանկելի ինտեգրալի տեսքով։ Օգտադործելով ժակոթիի և Լևժանդրի օրթոգոնալ թաղմանդամները, խնդրի լուծումը վերջին հաշվով անդեցվում է գծային, հանրահաշվական թվաղիլիովին ռեզուլյար ամակարդի լուծմանը։

JI H T E P A T Y P A — 9 P B 5 U V B D F P S B F V

В. С. Никишин. 1—С. Шипиро. Сб. Успехн механики деформируемых сред. Пад «Наука» М., 1975—2—С. Л. Тимошенко, Теория упругости, ОНТИ, М., 1937—3—Г. Я. По-пов. ПММ, 37. вып. б. (1977). 4—Г. Бейтмен и А. Эрдейн, Высшие трансцендентные функции, изд. «Наука», М., 1966—11. Х. Арутюнян, С. М. Мхитарян, ПММ, 36, пып. 5—(1972)—4—Б. Л. Абрамян, В. С. Макарян, «Павестия АН Арм. ССР» механика, т. ХХІХ, № 5—(1976)

LXVII

1978

3

УДК 523 035.2

АСТРОФИЗИКА

О. В Пикичян

Задача диффузного отражения при произвольном законе перераспределения излучения по частотам

(Представлено академиком В. А. Амбарцумяном 31/111 1978)

Задача диффузного отражения от полубесконечной плоскопараллельной среды является одной из классических задач теоретической астрофизики. Рассматривая случай монохроматического рассеяния и применяя принцип инвариантности В. А. Амбарцумян нашел решение этой задачи в виде (12)

$$g(\zeta, \eta) = \frac{1}{2} \eta \frac{\varphi(\eta)\varphi(\zeta)}{\eta + \zeta} \tag{1}$$

где: $\rho(\zeta, \eta)$ — функция диффузного отражения в вероятностной трактовке, агс cos ζ и агс cos η соответственно, углы падения и отражения, $\zeta(\eta)$ — известная функция Амбарцумяна, удовлетворяющая функциональному уравнению

$$\varphi(\eta) = 1 + \frac{1}{2} \eta \varphi(\eta) \int_{0}^{1} \frac{\pi(\mu)}{\eta + \mu} d\mu \qquad (2)$$

Ценность такого решения состоит в том, что, во-первых, отражательная способность среды определяется без прибегания к вычислению величин, характеризующих внутренний световой режим в среде, вовторых, функция зависящая от многих переменных выражается через функцию, имеющую меньшее количество аргументов. В дальнейшем В. В. Соболев рассмотрел эту задачу в случае полного перераспределения излучения по частотам и получил аналогичное решение (1). При рассмотрении же общего закона перераспределения задача сильно усложияется, поэтому для ее решения были разработаны облегченные методы, основанные на представлении функции перераспределения в виде билинейного разложения по некоторой системе ортонормированных функций (4):

$$r(x, x') = \sum_{k} A_k a_k(x) a_k(x'). \tag{3}$$

В результате функция диффузного отражения выражалась в виде бесконечной суммы от некоторой комбинации вспомогательных функций $H_{lk}(z)$, которые, и свою очередь, определялись из бесконечной

системы функциональных уравнений. В дальнейшем для решения подобных систем были разработаны приближенные методы (5).

Ниже мы покажем, что физика задачи допускает ее решения без использования какого-либо разложения или специального представления функции перераспределения. При этом формулы (1) и (2) обобщаются непосредственным образом. Функция диффузного отраження определяется через одну вспомогательную функцию, которая по физическому смыслу является прямым аналогом функции Амбарцумяна и удовлетворяет функциональному уравнению, аналогичному (2). Ключом для возможности такого обобщения является введение понятия вероятности выхода излученного (изотропно) на границе среды кванта и использование принципа обратимости оптических явлении. Допустим, что на границу полубесконечной плоскопараллельной среды под углом агссов; к нормали падает квант безразмерной частоты x_1 , и пусть функция диффузного отражения $\rho(x_1, x_2, \eta) dx d\eta$ представляет вероятность того, что этот кванг, вообще говоря, после многократных рассеяний в среде выйдет на него с частотой, заключенной между x_2 и $x_2 - dx_2$, в направлении (агссоз η , $2\pi d\eta$). Применяя принцип инвариантности в классической трактовке В. А. Амбарцумяна (2) к функции $\rho(x_{1}, \tilde{\cdot}, x_{2}, \tau_{l})$, можно получить уравнение

$$\left|\frac{\sigma(x_{1})}{\tau} + \frac{\sigma(x_{2})}{\eta}\right| \rho(x_{1}, \tau, x_{2}, \eta) = \frac{h}{2\tau} r(x_{1}, x_{2}) + \frac{h}{2\tau} \int_{0}^{\tau} r(x_{1}, x') dx' \int_{0}^{\tau} \rho(x', \mu', x_{2}, \eta) d\mu' + \frac{h}{2\tau} \int_{0}^{\tau} r(x'', x_{2}) dx'' \int_{0}^{\tau} \rho(x_{1}, \tau, x'', \mu'') \frac{d\mu''}{\mu''} + \frac{h}{2\tau} \int_{0}^{\tau} \int_{0}^{\tau} r(x', x'') dx' dx'' \int_{0}^{\tau} \rho(x_{1}, \tau, x', \mu') \frac{d\mu'}{\mu'} \int_{0}^{\tau} \rho(x'', \mu'', x_{2}, \eta) d\mu''.$$

Введем в рассмотрение вспомогательную функцию $\varphi(x_1, \dots)$ представляющую вероятность того, что изотропно излученный на границе среды квант частоты x_1 , вообще говоря, после рассеяний, выплет из среды с частотой, заключенной между x_2 и x_2+dx_2 , в направлении (агс сост, x_1). Очевидно, что имеет место соотношение

$$\forall (x_1, x_2, \tau_i) = 2(x_1 - x_2) + \int \phi(x_1, x_2, \tau_i) d\tau.$$
 (5)

Из принципа обратимости оптических явлений следует следующее свойство симметрии для функции диффузного отряжения (его можно доказать вполне строго, исходя из симметрии элементарного акта рассеяния $r(x_1, x_2) = r(x_2, x_1)$)

$$\varphi(x_1, x_2, \gamma) = \varphi(x_2, \gamma_1, x_1, \gamma). \tag{6}$$

Пользуясь формулами (4-6) нетрудно получить выражение

$$\rho(x_1, x_2, x_3) = \frac{\int \varphi(x', x_1, z) r(x', x'') \varphi(x'', x_2, y) dx' dx''}{\frac{2(x_2)}{2}}$$
(7)

а для определения $\varphi(x_1, x_2, \gamma)$ находим функциональное уравнение:

$$\varphi(x_1, x_2, \eta) = \lambda(x_1 - x_2) + \frac{1}{2} \int \varphi(x'', x_2, \eta) dx'' \int \frac{\varphi(x', x'') dx'}{2(x_1) + \frac{\alpha(x_2)}{2(x_2)}} \frac{\varphi(x'', x_2, \eta)}{\varphi(x'', x_2, \eta)} dx'$$
(8)

Соотношения (7—8) являются искамыми. По своей структуре они подобны (1—2). Для задач же диффузиого отражения и диффузиого пропускания излучения слоем конечной оптической толщины, аналогично случаю монохроматического рассеяния (°), можно получить три пары выражений для функций отражения $\rho(x_1, \dots, x_n, x_n)$ и диффузиого пропускания $\sigma(x_1, \dots, x_n, x_n, x_n)$ и три системы уравнении для определения вспомогательных функций — и э. Принедем их быз доказательства:

$$\begin{array}{c} \varphi(x_1, \tau_1, x_2, \tau_2, \tau_3) = \\ & \int \int r(x', x'') [\varphi(x', x_1, \tau_2, \tau_3) \overline{\varphi}(x'', x_2, \tau_3, \tau_3) - \overline{\varphi}(x'', x_1, \tau_3, \tau_3) \overline{\varphi}(x'', x_2, \tau_3, \tau_3)] dx' dx'' \\ & \underline{z(x_1)} \quad \underline{z(x_2)} \\ z(x_1, \tau_2, \tau_3, \tau_3) = \lambda/2^p \times \\ & \int \int r(x', x'') [\overline{\varphi}(x', x_1, \tau_3, \tau_3) \overline{\varphi}(x'', x_2, \tau_3, \tau_3) - \overline{\varphi}(x'', x_1, \tau_3, \tau_3) \overline{\varphi}(x'', x_2, \tau_3, \tau_3)] dx' dx'' \\ & \underline{z(x_1)} \quad \underline{z(x_2)} \\ & \underline{z(x_1)} \quad \underline{z(x_2)}$$

153

$$\varphi(x_1, z_1, x_2, \tau_1, \tau_0) = \frac{\lambda}{2!} \int_{-\infty}^{\infty} \int_{-\infty}^{\infty} f(x', x'') dx' dx'' \int_{0}^{\infty} \psi(x', x_1, z_1, \tau_1) \psi(x'', x_2, \tau_1, \tau_2) d\tau$$

$$\pi(x_{1}, x_{2}, \gamma_{i}, \tau_{0}) = \frac{\lambda}{2} \int_{-\infty}^{\infty} \int_{-\infty}^{\infty} r(x', x'') dx' dx'' \int_{0}^{\tau} \exp\left[-(\tau_{0} - \tau)\frac{\alpha(x_{1})}{\tau}\right]$$

$$\pi(x', x_{1}, \tau_{1}, \tau_{2}, \tau_{1}, \tau_{2}, \tau_{1}, \tau) d\tau_{1}$$

$$\varphi(x_1, x_2, \eta, \tau_0) = \delta(x_1 - x_2) +$$

$$+ \frac{h}{2} \int_{-\infty}^{\infty} \int_{-\infty}^{\infty} r(x', x'') dx' dx'' \int_{0}^{\infty} \psi(x'', x_2, \eta, \tau) d\tau \int_{0}^{1} \psi(x', x_1, \zeta, \tau) \frac{d\zeta}{\zeta}$$

$$\psi(x_1, x_2, \eta, \tau_0) = \delta(x_1 - x_2) \exp\left[-\frac{\alpha(x_2)}{\eta} \tau_0\right] +$$

$$\infty \infty$$

$$+\frac{\lambda}{2}\int\limits_{-\infty}^{\infty}\int\limits_{-\infty}^{\infty}r(x',x'')dx'dx''\int\limits_{0}^{\infty}\psi(x'',x_{2},\eta,\tau)d\tau\int\limits_{0}^{1}\exp\left[-(\tau_{0}-\tau)\frac{\alpha(x_{1})}{\zeta}\right]\varphi(x',x_{1},\tau,\tau)\frac{dx}{\zeta}$$

$$p(x_1, ..., x_2, r_i, r_0) = \frac{\lambda}{2^*} \int_{-\infty}^{\infty} \int_{-\infty}^{\infty} r(x', x'') dx' dx''$$

$$\int_{0}^{\tau_{0}} \exp \left[-(\tau_{0}-\tau)\left[\frac{\alpha(x_{1})}{\zeta}+\frac{\alpha(x_{2})}{\eta}\right]\right] \varphi(x',x_{1},\zeta,\tau)\varphi(x'',x_{2},\eta,\tau)d\tau$$

$$o(x_1, 1, x_2, \eta, \tau_0) = \frac{1}{2\pi} \int_{-\infty}^{\infty} \int_{-\infty}^{\infty} r(x'x'') dx' dx''$$

$$\int_{0}^{z} \exp \left[-\frac{\alpha(x_{2})}{\eta}(\tau_{0}-\tau)\right] \psi(x',x_{1},\zeta,\tau) \, \psi(x'',x_{2},\eta,\tau) \, d\tau,$$

$$\varphi(x_1, x_2, \eta, \tau_0) = 2(x_1 - x_2) + \frac{1}{2} \int_{-\infty}^{\infty} \int_{-\infty}^{\infty} r(x', x'') dx' dx''$$

$$\int_{0}^{\pi} \varphi(x'', x_{2}, \eta, z) dz = \int_{0}^{1} \exp\left\{-(z_{0}-z)\left[\frac{\alpha(x_{1})}{2} + \frac{\alpha(x_{2})}{\eta}\right]\right\} \varphi(x', x_{1}, z, z) \frac{d\zeta_{0}}{\zeta_{0}}$$

$$\psi(x_1, x_2, \eta, \tau_0) = o(x_1 - x_2) \exp \left[-\frac{2(x_2)}{\eta} \cdot _0 \right] + \frac{1}{2(x_2)} \cdot _0 +$$

$$\int_{0}^{0} \exp\left[-(z_{0}-z_{0})\frac{2(x_{2})}{\tau_{1}}\right] \varphi(x'', x_{2}, \tau_{1}, z) dz \int_{0}^{1} \psi(x', x_{1}, z) dz.$$

Соотношения I и II в случае монохроматического рассеяния $r(x,x')==\alpha(x)\delta(x-x')$ впервые были получены В. А. Амбарцумяном (2.6), а III—В. В. Соболевым (6). Затем В. В. Ивановым были обобщены на случай полностью некогерентного рассеяния $r(x,x')=A_2(x)_2(x')$. Очевидно, что из приведенных выше формул легко могут быть получены указанные частные случаи, а если перейти в них к разложению (3), можно получить соответственно результаты работы (4).

В связи с последним следует отметить, что рассмотренный нами подход к задаче приобретает особую практическую важность в тех случаях, когда построение разложения (3) затруднительно, т. е. когда собственные функции $\alpha_k(x)$ ядра r(x,x') заранее не известны и приходится ограничиваться приближенным построением этих функции, что сопряжено с большими трудностями с вычислительной точки зрения.

Бюраканская астрофизическая обсернатория Академии наук Армянской ССР

2. त् शामान्युउपिक

Դիֆուզ անդրադարձման խնդիրն ըստ նանախականությունների ճառագայթման վերաբաշխման կամայական օրենքի դեպքում

Կիսանվերջ Հարթ զուգահեռ միջավայրից ձառազայիների զուգահեռ փնչի դիֆուդ անդրադարձմանը վերաբերվող Հայտնի առնչությունները, որոնք ստացված էին Վ. Հ. Համրարձումյանի կողմից մոնոխրոմատիկ ցրման դեպթում, ընդհանրացվում են ոչ կոհերևնա ցրման դեպթի համար, ըստ հահախության ճառադայիման վերաբաչիւման կամայական ֆունկցիայի դեպթում։ Ըստ որում չի օգտադործվում վերաբաչխման ֆունկցիայի որևէ ձևի տրոհում կամ հատադայիման ներկայացում։ Դա հնարավոր է դառնում իրագործել հղուտրուդ ճառադայիված թվանտի համար միջավայրից դուրս գալու հավա-

սայթների զուգաքեռ փնչի դիֆուզ անդրադարձման և դիֆուզ անցման խընլուծում են վերջավոր օպտիկական հաստություն ունեցող միջս վայրից ճառասկղթումբը օգտագործելու շնորհիվ։ Բերվում են նաև առնչություններ, որոնք ևականության գաղափար մտցնելու և օպտիկական երևույթների շրջելիության

ЛИТЕРАТУРА — ЧРИЧИБИЕМ ЯПЕБ

1. В А. Амбарцумян, Астрономический журиал, т 19, № 5, 30(1942). ² В. А. Амбарцумян, ДАН, т. 38, № 8, 257 (1943). ³ В. В. Соболев, Астрономический журнал, т. 26, № 3, 129 (1949). ⁴ Н. Б. Енгибарян, А. Г. Никогосян, Астрофизика, т. 8, 213 (1972). А. Г. Никогосян, Г. А. Арутюнян, ДАН, т. 229, № 3, 583 (1976). ⁶ В. В. Соболев, Астрономический журнал, т. 34, № 3, 336 (1957). ⁷ В. В. Нванов, Астрономический журнал, т. 34, № 3, 336 (1957). ⁷ В. В. Нванов, Астрономический журнал, т. 40, № 2, 257 (1963).

רי

УДК 550.3

ГЕОФИЗИКА

Д. С. Григорян

Об оценке запасов железорудных месторождений по данным магнитной съемки

(Представлено академиком АН Армянской ССР А Г. Назаровым 15/V1 1978)

Исследование возможностей использования данных магниторазведки для оценки запасов магнетитовых месторождений имеет большое теоретическое и практическое значение. Это связано с тем, что данные магниторазведки, дополняя результаты геологического опробования между горными выработками, позволяют в принципе получить более правильную оценку запасов на том или ином этапе разведки. Особенно важное практическое значение имеют данные магниторазведки на этапе предварительной оценки запасов, когда месторождении покрыто редкой сетью горных выработок.

Оценка запасов руды на основе данных наземной крупномасштабной съемки аномални — магнитного поля сводится к оценке объема руды из равенства (1):

$$V_p = \frac{M - J_b \cdot V}{J_p - J_b},\tag{1}$$

V-объем всей позмущающей массы месторождения.

Величина *М* магнитного момента в принципе вполне определяется значениями наблюденной аномалии.

Известен ряд формул (при помощи которых можно по аномальному магнитному полю вычислить магнитный момент возмущающего объекта. Однако данные алгоритмы построены при некоторых упрощениях, не позволяющих достаточно обоснованно применять их в общем случае для рельефа любон сложности. Кроме этого описанные ранее методы опираются на предположении об однородной намагниченности возмущающей массы.

Предлагаемый в настоящей работе алгоритм для вычисления магнитного момента построен для сложных горных условий, в случае неоднородной намагниченности, когда возмущающая масса состоит из участков намагниченных в разной степени, по направление вектора интененвности намагничения J для всех точек возмущающей массы близок к вертикальному (5).

По заданному рельефу поверхности наблюдения и аномалки ΔZ приближению вычисляется аномальный магнитный потенциал на рельефе. Потенциал этот интерпретируется, как потенциал некоторого простого слоя на рельефе с массой, равной искомому магнитному моменту.

Интегро-дифференциальное уравнение относительно магнитного потенциала на множестве точек поверхности наблюдения S имеет вид:

$$U(\bar{\xi}, \bar{\eta}, \bar{\zeta}) = \frac{1}{2\pi} \iiint_{S_{10y}} \left(U \frac{(\bar{\xi} - \bar{\xi})p + (\eta - \bar{\eta})q - (\bar{\zeta} - \bar{\zeta})}{r_s^2} - \frac{\partial U}{\partial x} \frac{p}{r_s} - \frac{\partial U}{\partial y} \frac{q}{r_s} \right) d\bar{\xi} d\eta + \frac{1}{2\pi} \iiint_{S_{10y}} \frac{\Delta Z}{r_s} d\bar{\xi} d\eta, \tag{2}$$

где: S_{xoy} — проекция поверхности S, заданной функцией A = f(x, y), на координатную плоскость XOY, $d = \frac{\partial f}{\partial x}$

$$r_s = \sqrt{(\xi - \overline{\xi})^2 + (\eta - \overline{\eta})^2 + (\zeta - \overline{\zeta})^2}$$

В соответствии с принятой нами интерпретацией магнитный потенциал представляется в виде:

$$U = \frac{\partial}{\partial z} \iint_{S} \frac{\rho}{r} ds,$$

откуда

$$\frac{1}{2\pi} \int \int \frac{1}{[(\xi - \bar{\xi})^2 + (\eta - \bar{\eta})^2 + (\zeta - \bar{\zeta})^2]^{3/2}} ds - \frac{1}{2\pi} \int \frac{1}{[(\xi - \bar{\xi})^2 + (\eta - \bar{\eta})^2 + (\zeta - \bar{\zeta})^2]^{3/2}} ds - \frac{1}{2\pi} \int \frac{1}{[(\xi - \bar{\xi})^2 + (\eta - \bar{\eta})^2 + (\zeta - \bar{\zeta})^2]^{3/2}} ds - \frac{1}{2\pi} \int \frac{1}{[(\xi - \bar{\xi})^2 + (\eta - \bar{\eta})^2 + (\zeta - \bar{\zeta})^2]^{3/2}} ds - \frac{1}{2\pi} \int \frac{1}{[(\xi - \bar{\xi})^2 + (\eta - \bar{\eta})^2 + (\zeta - \bar{\zeta})^2]^{3/2}} ds - \frac{1}{2\pi} \int \frac{1}{[(\xi - \bar{\xi})^2 + (\eta - \bar{\eta})^2 + (\zeta - \bar{\zeta})^2]^{3/2}} ds - \frac{1}{2\pi} \int \frac{1}{[(\xi - \bar{\xi})^2 + (\eta - \bar{\eta})^2 + (\zeta - \bar{\zeta})^2]^{3/2}} ds - \frac{1}{2\pi} \int \frac{1}{[(\xi - \bar{\xi})^2 + (\eta - \bar{\eta})^2 + (\zeta - \bar{\zeta})^2]^{3/2}} ds - \frac{1}{2\pi} \int \frac{1}{[(\xi - \bar{\xi})^2 + (\eta - \bar{\eta})^2 + (\zeta - \bar{\zeta})^2]^{3/2}} ds - \frac{1}{2\pi} \int \frac{1}{[(\xi - \bar{\xi})^2 + (\eta - \bar{\eta})^2 + (\zeta - \bar{\zeta})^2]^{3/2}} ds - \frac{1}{2\pi} \int \frac{1}{[(\xi - \bar{\xi})^2 + (\eta - \bar{\eta})^2 + (\zeta - \bar{\zeta})^2]^{3/2}} ds - \frac{1}{2\pi} \int \frac{1}{[(\xi - \bar{\xi})^2 + (\eta - \bar{\eta})^2 + (\zeta - \bar{\zeta})^2]^{3/2}} ds - \frac{1}{2\pi} \int \frac{1}{[(\xi - \bar{\xi})^2 + (\eta - \bar{\eta})^2 + (\zeta - \bar{\zeta})^2]^{3/2}} ds - \frac{1}{2\pi} \int \frac{1}{[(\xi - \bar{\xi})^2 + (\eta - \bar{\eta})^2 + (\zeta - \bar{\zeta})^2]^{3/2}} ds - \frac{1}{2\pi} \int \frac{1}{[(\xi - \bar{\xi})^2 + (\eta - \bar{\eta})^2 + (\zeta - \bar{\zeta})^2]^{3/2}} ds - \frac{1}{2\pi} \int \frac{1}{[(\xi - \bar{\xi})^2 + (\eta - \bar{\eta})^2 + (\zeta - \bar{\zeta})^2]^{3/2}} ds - \frac{1}{2\pi} \int \frac{1}{[(\xi - \bar{\xi})^2 + (\eta - \bar{\eta})^2 + (\zeta - \bar{\zeta})^2]^{3/2}} ds - \frac{1}{2\pi} \int \frac{1}{[(\xi - \bar{\xi})^2 + (\eta - \bar{\eta})^2 + (\zeta - \bar{\zeta})^2]^{3/2}} ds - \frac{1}{2\pi} \int \frac{1}{[(\xi - \bar{\xi})^2 + (\eta - \bar{\eta})^2 + (\zeta - \bar{\zeta})^2]^{3/2}} ds - \frac{1}{2\pi} \int \frac{1}{[(\xi - \bar{\xi})^2 + (\eta - \bar{\eta})^2 + (\zeta - \bar{\zeta})^2]^{3/2}} ds - \frac{1}{[(\xi - \bar{\xi})^2 + (\eta - \bar{\eta})^2 + (\zeta - \bar{\zeta})^2]^{3/2}} ds - \frac{1}{[(\xi - \bar{\xi})^2 + (\eta - \bar{\eta})^2 + (\zeta - \bar{\chi})^2]^{3/2}} ds - \frac{1}{[(\xi - \bar{\xi})^2 + (\eta - \bar{\eta})^2 + (\zeta - \bar{\chi})^2]^{3/2}} ds - \frac{1}{[(\xi - \bar{\xi})^2 + (\eta - \bar{\eta})^2 + (\zeta - \bar{\chi})^2]^{3/2}} ds - \frac{1}{[(\xi - \bar{\chi})^2 + (\eta - \bar{\eta})^2 + (\zeta - \bar{\chi})^2]^{3/2}} ds - \frac{1}{[(\xi - \bar{\chi})^2 + (\eta - \bar{\eta})^2 + (\zeta - \bar{\chi})^2]^{3/2}} ds - \frac{1}{[(\xi - \bar{\chi})^2 + (\eta - \bar{\eta})^2 + (\zeta - \bar{\chi})^2]^{3/2}} ds - \frac{1}{[(\xi - \bar{\chi})^2 + (\eta - \bar{\eta})^2 + (\zeta - \bar{\chi})^2]^{3/2}} ds - \frac{1}{[(\xi - \bar{\chi})^2 + (\eta - \bar{\eta})^2 + (\zeta - \bar{\chi})^2]^{3/2}} ds - \frac{1}{[(\xi - \bar{\chi})^2 + (\eta$$

Искомая величина магнитного момента определяется формулой:

$$M = \iint_{S} \rho ds, \tag{4}$$

Численное решение уравнений (2), (3), (4) можно провести следующим образом. Ограничим область S_{xoy} некоторым прямоугольником со сторонами параллельными координатным осям X,Y. Размеры прямоугольника выберем такими, чтобы вне его аномальное поле ΔZ было

практически равно нулю. Покроем прямоугольник сеткой одинаковых элементарных кпадратов $(i=1,\ldots,m;\ j=1,\ldots,m)$, с длиной стороны Δ . Интегрирование по области S_{yoy} сведем к сумме интегралов по элементарным областям ΔS_i , для которых неизвестные значения $(p)_{i \in I}$, соответствующие их центрам (x_i, y_i) , возьмем в качестве средних, вынося их за знаки интегралов.

Оставляя для рассмотрения дискретное множество точек поверхности S, соответствующее центрам элементарных квадратов формулы (2), (3), (4) для практического использования запишем в виде:

$$(U)_{i,j} = \frac{1}{4\pi\Delta} \sum_{k} \sum_{i} [2\Delta(U)_{k,e}(\alpha_{k,e} + \beta_{k,e+1} + \gamma_{k+1,e} - \beta_{k-1,e} - \gamma_{k-1,e})] + \frac{1}{4\pi\Delta} \sum_{k} \sum_{e} (\Delta Z)_{k,e} (\alpha_{k,e} + c_{k,e}),$$
 (5)

где

$$a_{ke} = \int \int \frac{(\xi - \xi_{l})p + (\eta - \eta_{l})q - (\xi - \xi_{l,l})}{r_{i,l}^{3}} d\xi dq;$$

$$\beta_{k,e} = \iint_{\Delta S_{k,e}} \frac{p}{r_{i,j}} \, d\xi d\eta; \quad \gamma_{2,e} = \iint_{\Delta S_{k,e}} \frac{q}{r_{i,j}} \, d\xi d\eta; \quad \alpha_{k,e} = (\zeta_{k,e+1} - \zeta_{k,e-1})\beta_{k,e} + \zeta_{k,e}$$

$$c_{k,e} = 2\Delta \int \int \int \frac{1}{r_{i,j}} d; d\gamma_i$$

$$(\rho)_{i,j} = -\frac{1}{2\pi} \sum_{k} \sum_{e} \rho_{k,e} \cdot b_{k,e} - \frac{\sqrt{1 + p_{k,e}^2 + q_{k,e}^2}}{2\pi} (U)_{i,j}, \qquad (6)$$

где $(U)_{i,j}$ — числа, полученные в результате решения системы уравнений (5).

$$M = \sum_{k} \sum_{e} \rho_{k,e} \cdot \sqrt{1 + p_{k,e}^2 + q_{k,e}^2} \cdot \Delta^2.$$
 (7)

Системы уравнений (5), (6) могут быть эффективно решены методом итераций с помощью ЭВМ.

В отличие от магинтного момента определение величии средних эффективных намагниченностей руд J_p и вмещающих пород J_b принципнально невозможно только по наблюденному аномальному полю. Это объясняется неоднозначностью решения обратной задачи в случае, если о самом возмущающем объекте нет достаточных сведений. Пряктически решение задачи упрощается, так как всегла имеются дополнительные сведения об оцениваемом объекте. Эти сведения могут

быть получены различными путями: в результате измерения магнитных свойств образцов; методом аналогии, исходящим из геологогофизических сображений; путем построения модельных разрезов поотдельным разведочным линиям и т. д.

Мы решили эту задачу на примере Абовянского железорудного месторождения путем сопоставления данных по вертикальным опорным представительным геологическим разрезам аномалии ΔZ над ними ($^{\circ}$).

Возмущающая масса состоит из зон, соответствующих различным геологическим типам. Средняя эффективная намагниченность для каждого типа определяется следующим образом:

$$J_{j} = \frac{\sum_{k=1}^{n_{j}} J_{k}^{j} V_{k}^{j}}{\sum_{k=1}^{n_{j}} V_{k}^{j}}.$$

где J'_{-} -средняя эффективная намагниченность для типа с номером j_{+} n_{+} -число объемов V'_{+} в суммарном объеме V'_{+} , соответствующем типу J_{-} .

Исходя из геолого-геофизической характеристики месторождение аппроксимируем определенной моделью. Аномалия ΔZ от рассматриваемой модели в точках профиля наблюдений (x, h(x)) имеет вид:

$$\Delta Z(x, h(x)) = \sum_{j=1}^{m} \sum_{k=1}^{\infty} J^{j} \omega^{j}(x).$$
 (8)

Если в левую чась равенства (8) подставить наблюденную аномалию ΔZ , то равенство (8) можно будет рассматривать как уравнение относительно величин J_k^{μ} .

Объем V, входящий в выражение (1), можно вычислить по формуле V=S-H, где: S—площадь аномалии ΔZ , входящая в вычисленный магнитный момент, H—глубина распространения возмущающей массы, которую надо выбрать таким образом, чтобы можно было пренебречь действием возмущающих масс, паходящихся возможно глубже.

Описанный метод оценки запасов на основе вычисления магцитного момента месторождения и средних эффективных намагниченностей позволяет сократить объем разведочного бурения и дает значительную экономию государственных средств

Институт геофизики и ниженернов сейсмологии Академии наук Армянской ССР

նոկաթաճանքերի պաշառների գնաճատումն ըստ մագնիսական հանույթի տվյալների

Աշխատանրու<mark>մ նկարագրված է </mark>երկաթահանքի պաշարների զնահատման մեթողը մ<mark>ագնիսական հանույթի տվյալ</mark>ներով բարդ ռելիեֆի սլայմաններում։

ЛИТЕРАТУРА — ТОИЧИБЛЬВЗОВЪ

1 А. М. Полонский, Алгоритмы решений некоторых задач геофизики, Еркван, 1971 В. В. Колюбакин, М. И. Лапина, Обзор способов решения прямой и обратной задач магнитной разведки, М., 1960 В А. М. Полонский, Труды СНИНГГИМС, вып. 62, 1967 Д. С. Григорян, А. М. Полонский, «Известия АН Арм. ССР», Науки о Земле, 2, 1972. В Д. С. Григорян, А. М. Полонский, ДАН Арм. ССР, т. LX, № 1 (1975). В С. Григорян, «Известия АН Арм. ССР», Науки о Земле, 2, 1973.

3 ДК 678 7—13

ОРГАНИЧЕСКАЯ ХИМИЯ

Член-корреспондент АН Армянской ССР С. Г. Мацови,

С. Л Энфиаджян, В. А. Даниелян, Л. А. Сарвисян

Изучение процесса радикальной сополимеризации и теломеризации бинарной системы с передачей цепи на сомономер на примере винилацетат-гексахлорбутадиен

(Представлено 15/VIII 1977)

Как было показано в нашей работе (') при свободно-радикальной сополимеризации винилацетата (ВА) и гексахлорбутадиена—1,3 (ГХБ), с увеличением содержания ГХБ в исходной смеси мономеров, молекулярная масса продукта резко падает; при этом скорость процеста постепенно убывает, вплоть до полного ингибирования. Совокупность приведенных данных наряду с малым содержанием ГХБ в полученном сополимере (6—7 мол.%) с большой вероятностью указывают на процесс передачи цепи на ГХБ с образованием теломеров, который протекает параллельно с сополимеризацисй.

Поскольку такие бинарные системы могут встречаться нередко, в настоящей работе нами выведено модифицированное дифференциальное уравнение сополимеризации с учетом акта передачи цепи.

Известно, что при бинарной сополимеризации, в случае, когда один из мономеров, например M_2 (ГХБ), не гонополимеризуется но сополимеризуется (r_1 =0, так как k_{23} =0 а k_{12} , k_{21} \neq 0), при M_1 =0 состав сополимера асимптотически стремится к чередующемуся и эквимолярному составу (3 3) и при этом зависимость молярного отношения звеньев в сополимере от отношения исходных молярных концентраций мономеров описывается уравнением

$$\frac{m_1}{m_2} = \frac{|M_1|}{|M_2|} r_1 + 1.$$

В нашем случае, при всем подобни с этими условиями, до предельно малой концентрации M_1 (BA) состав сополнмера очень далек от эквимолярности.

В общем случае, при сополимеризации двух мономеров (M_1) и кроме четырех элементарных реакций роста

$$m_1 + M_1 - m_2$$

$$m_1 + M_1 - m_1$$

$$m_1 + M_1 \longrightarrow m_1$$
 $m_2 + M_2 \xrightarrow{\Lambda_m} m_2$

должны быть учтены также следующие две реакции а) передача цепи от растущего конца m_1 к M_2 с отрывои атома (в нашем случае хлора) и генерацией радикала m_2 .

$$m_1 + M_2 \xrightarrow{K_B} \text{продукт} + m_2'$$

н б) ренинциирование роста цепн.

$$m_2 - M_1 \xrightarrow{K_{\text{pir}}} m_1$$

Составление двух дифференциальных уравнении расхода мономеров M_1 и M_2 , и условия равенства скоростей взаимного превращения растущих радикалов m_1 и m_2 (с принятием приближения равной активности m_2 и m_2 при присоединении к M_1) и несложные математические операции приводят к уравнению.

$$\frac{d[M_1]}{d[M_2]} = \frac{1 + F}{K_{22} + K_{2}}$$

$$\frac{1 + F}{K_{22} + K_{22}}$$

где
$$F = \frac{|M_1|}{|M_2|}$$

Выведенная формула позволяет определить наборы констант, стоящих в правой части равенства (1), с дальнейшим определением значений K_n и K_{pn} и значений r_1 и r_2 . В частном случае, когда один из мономеров, в нашем случае ГХБ (M_2), не гомополимеризуется, т е $K_{22}=0$, уравнение (1) принимает вид:

$$\frac{|d|M_1|}{d|M_1|} = F \frac{K_{11}}{K_{12} + K_{11}} = 1$$

что, после деления знаменателя и числителя дроби в правой части на K_{11} , приводит к уравнению:

$$\frac{d|M_1|}{d|M_2|} = \frac{m_1}{m_2} = \frac{1}{1}$$
 (2)

Выведенная формула (2) представляет уравнение прямой линин где $C_n = \frac{K_n}{K_m} - \kappa$ систанта передачи цепи на M_2 . Константа передачи цепи С, на ГХБ для системы ВА-ГХБ определялась из наклона зави-

симости 1 $P_{u} = f\left(\frac{\|FXB\|}{\|BA\|}\right)$ (рис. 1), при очень малых концентра-

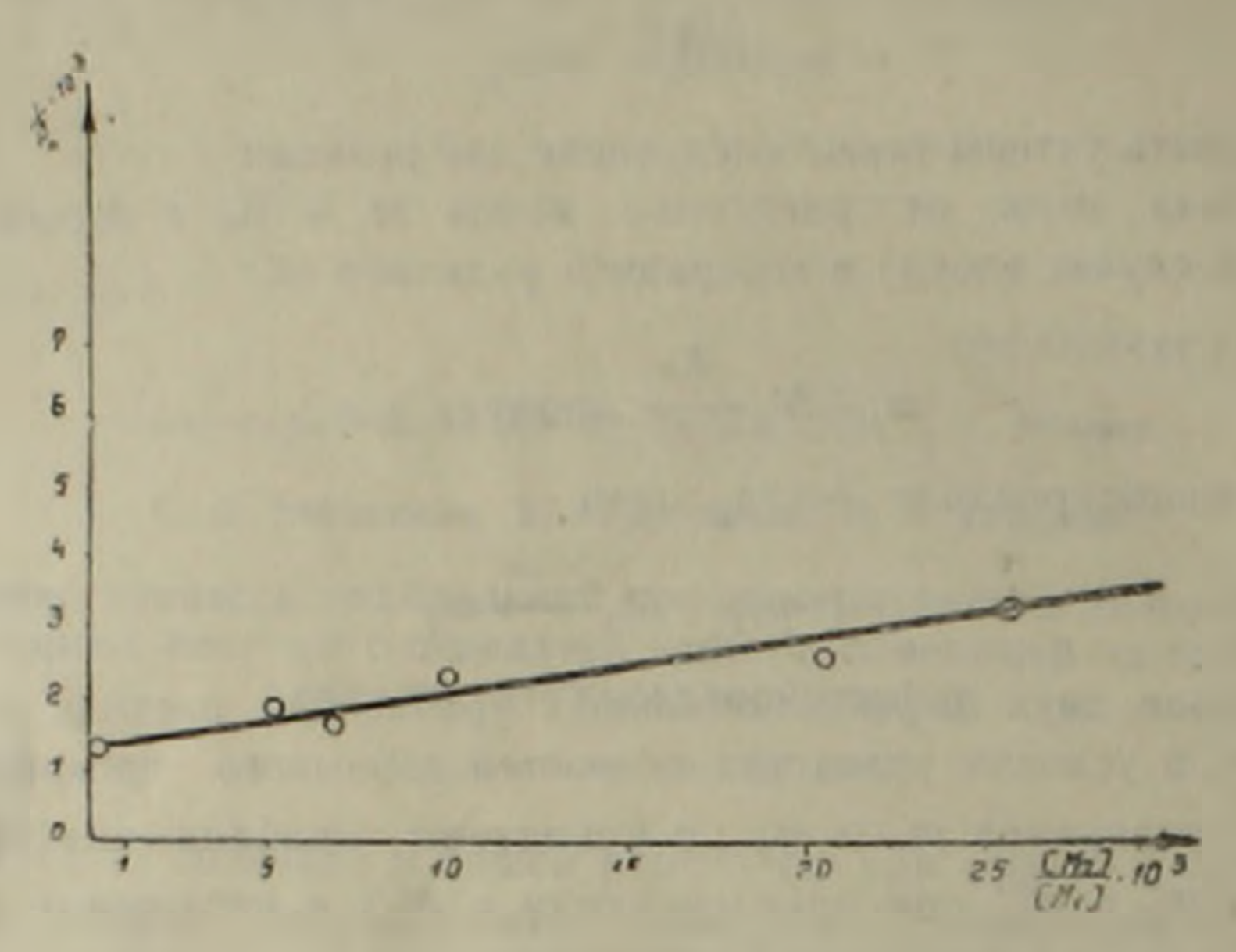


Рис 1 Зависимость обратной степени полимеризации от отношения концентраций мономера-передатчика цепи ГХБ к концентрации ВА

циях ГХБ (0,5—2,5 мол.%), для сохранения постоянства скорости полимеризации ВА ($v_{no.t.}$) и первого члена правой части уравнения;

$$\frac{1}{\overline{P}_n} = \frac{1}{2} \frac{K_0 \overline{v}_{\text{no1}}}{K_p^2 |BA|^2} + C_n \frac{|\Gamma XB|}{|BA|}$$

где P_n —среднечисловая степень полимеризации поливинилацетата (ПВА), и—доля диспропорционирования в обрыве цепей, K_p —константа скорости реакции роста цепей ПВА (K_{11}), K_o —константа скорости реакции бимолекулярного обрыва цепи.

Таблица I Результаты сополимеризации ВА с небольшим содержанием ГХБ в массе в присутствии 0,5 мол. % перекиси бензонла, при температуре 80°C

Содержание в исходной смеси, мол. %		Время Выход сопо-		(т) сополи- Средневис- 1 гоз (ГХ ВА			
ВА	ГХБ	ини, <i>мин</i> .	лимера, %	бензоле. дл/г, 30°С.	ческая мол. масса, М	, A	
100	0.5	4-4.5	12.49 15.22	0.547	65880 48570	1.307	5.05
99.0 98.0 97.5	2.0	8-9 11-12 14-16	17.80 23.37 28.03	0 · 386 0 · 360 0 · 305	37530 33530 25670	2,295 2,570 3,350	10.10 20.40 25.60

[&]quot;) Поскольку в полученных сополниерах (см. табл. 1, а также работу (1)) содержание ГХБ зченьев незначительно, для приближенной оценки их молекулярных масс нами применено уравнение Марка—Хувинка для поливинилацетата; значение Марка рассчитано по уравнению (4) $[\eta] = 5.63 \cdot 10^{-4}$. $M_{\rm p}^{0.62}$ (бензол, 30°C).

На рис. 1 показана зта зависимость, построенная на основе данных табл. 1.

Рассчитанное значение $C_n = 0.08$.

Далее, по экспериментальным данным была составлена зависимость $[m_1]/[m_2] = f([BA/[\Gamma X B]))$, представляющая примую линию с угловым коэффициентом $\left(\frac{1}{r_1} + C_n\right)^{-1} = 0.858$ (рис. 2). При подстановке значения $C_n = 0.08$ в это уравнение, получено значение $r_1 = 0.92$.

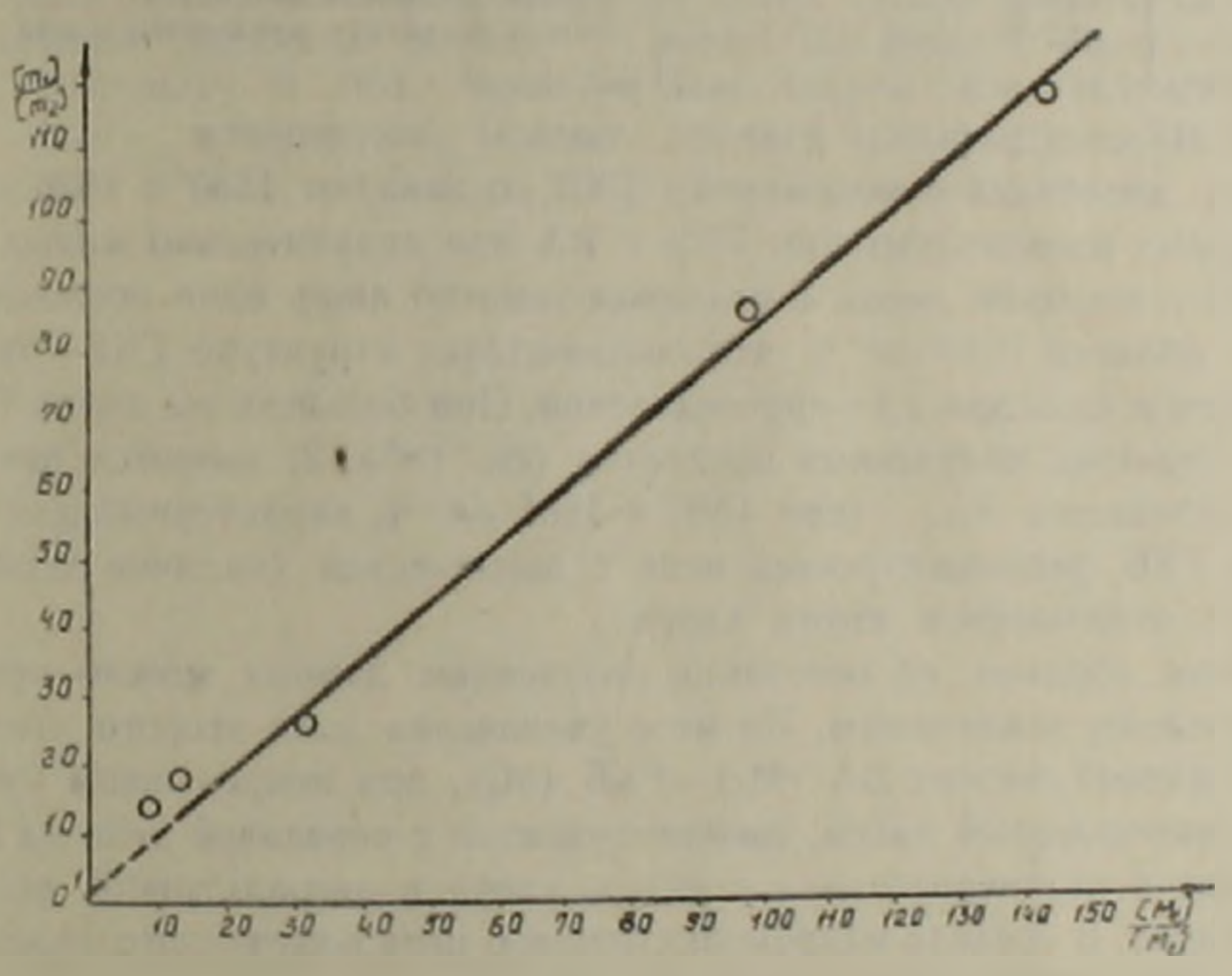


Рис. 2. Зависимость состана сополимера от исходного соотношения мономеров

Одновременно, представлялось интересным изучение взаимодействия ВА с ГХБ при больших содержаниях последнего в смеси. Сополным меризацию проводили в ампулах (перекись бензоила 0,5 вес ратура 65°С, время, 30 часов) при молярных отношениях ВА:ГХБ 1 при представлялось и 1

При первом из указанных отношений, осаждение продуктов реакции в 20-и кратном объеме н—гептана, вообще не привело к полимерному осадку, что можно объяснить полным ингибированием процеста ГХБ

Во втором случае осаждение в аналогичных условиях привело к порошкообразному осадку кремового цвета, а из маточного раствора посредством двукратного концентрирования под вакуумом удаления мономеров и растворителя, повторного растворения в бензоле и осаждения и гептаном, были выделены три дополнительные вязкие фракции.

В табл. 2 приведены содержания хлора в полученных четырех фракциях, а также их среднечисловые молекулярные массы, определенные эбуллноскопически.

Таблица 2

Среднечисловые молекулярные массы и средние числа звеньев ВА (n) и ГХБ (m) в продуктах реакции при молярном соотношении ВА ГХБ 1:5

Моя. масса Мп	Содержание хлора, %	n/m	Висшний вид
1053	19.0	9.9	Порошок кремового цвета Вязкая жидкость темповишневого цвета Вязкая жидкость вишневого цвета Вязкая жидкость кремового цвета
808	23.17	7.6	
803	24.22	7.1	
767	23.03	7.7	

По ПК-спектральным данным, полосы поглощения v_{c-c} валентных колебаний в мономерном ГХБ составляют 1580 и 1620 см ⁻¹ в продуктах сополимеризации ГХБ с ВА при сравнительно малых долях ГХБ в исходной смеси, в основном заметно лишь одно поглощение v_{c-c} в области 1640 см ⁻¹, что соответствует структуре ГХБ—звена, входящего в цепь при 1,4—присоединении. При больших же долях ГХБ, в ИК—спектрах полученных продуктов (см. табл. 2) имеются две полосы поглощения v_{c-c} (при 1580 и 1605 см ⁻¹), характерные для молекулы ГХБ, реинициирующей цепь с деградацией (наличие двойных связей с отщеплением атома хлора).

Таким образом, на основании полученных данных можно придти к следующему заключению. По мере увеличения доли второго мономера в бинарной системе ВА (M₁)—ГХБ (M₂), при непрерывном уменьшении молекулярной массы, сополимеризация с передачей цепи на ГХБ переходит в теломеризацию с отрывом хлора и деградативной регенерацией цепи. В пределе макромолекулярную цепь полученного теломера можно представить следующим образом:

где значение $n=7 \div 10$.

Институт органической химии Академии наук Армянской ССР

Հայկական ՍՍՀ ԳԱ թղթակից-անդամ Ս. Գ. ՄԱՑՈՑԱՆ, Ս. Լ. ԷՆՖԻԱԶՅԱՆ, Վ. Հ. ԳԱՆԻՆԼՑԱՆ, Լ. Հ. ՍԱՐԳՍՑԱՆ

^րինաբ սիստեմի ռադիկալ սոպոլիմեր ան և տելոմերման պրոցեսի ուսում– նասիթություն չդրայի փոխանցումով առանաներին վինիլացետատնեքսա– քլուբութադիեն օբինակի վրա

Հանզվածում և ըննղոլի լուծույֆում սինβհղված է հերարկորբութացիևնվինիլացետատի սոսլոլիմերը։ Հայտնաբերված <mark>է դեղրադատիվ շղβայի փ</mark>ոիսանցման երևույթ սումոնումերի (Հեքսաքլորթութադինն) վրա, իսկ սաշմա-

յային վիճակում ստացված են տելուներային պրոդուկտներ։

Դուրս է բերված Մայո-Լյուիսի՝ սոպոլիմերման դիֆերենցիալ հավասայում, հաշվի առնված շղθայի փոխանցման գործակիցը (C_n) և սոպոլիմերման հաստատունը (r_1) ,

ЛИТЕРАТУРА— ЭРЦЧЦОПЬРЗЯНУ

1 С. Л. Энфиаджян, Л. А. Саркисян, В. А. Даниелян, А. А. Саакян С. Г. Мацоян, Арм. хим. ж., т. 30,525 (1977). ² Цурута Тейдзи, Реакции получения синтетических полимеров, Госхимиздат, М. 1963 ³ Т. Алфрей, Дж. Борер, Г. Марк, Сополимеризация, Издатинлит, М., 1953. ⁴ Накадзима Акио, Кобунси Кагаку, 11,142(1954)

3

БИОФИЗИКА

УДК 577.352.338 616-001.17

С. А. Баджинян, М. И. Агаджанов, член-корреспондент АН Армянской ССР В. Г. Мхитарян

Исследование мембранного потенциала гепатоцитов крыс после ожоговой травмы

(Представлено 24/V 1978)

Вопросы строения и функции мембран в настоящее время привленают внимание все большего числа исследователей, работающих в
различных смежных отраслях биологии. Огромный интерес к мембранам связан с тем, что им придается определяющее значение в физиологии в патологии клеток.

Одним из определяющих интегральных показателей функционального состояния клеточных мембран является мембранный потенциал (МП). В норме потенциал обусловлен определенным соотношением натрия и калия в клетке и во внеклеточном пространстве, функционированием электрогенного натриевого насоса. Патологический процесс может привести к нарушению структуры клеточных мембран, изменению МП клеток. Работами Кияшко и др. (1) показано, что через иссколько дней после ожоговой травмы в различных тканях крыс происходит нарушение содержания калия и натрия внутри клеток, что авторы связывают с нарушением пропицаемости клеточных мембран. В настоящей работе было проведено изучение МП клеток печени в ранние периоды после ожоговой травмы.

В опытах были использованы белые беспородные крысы весом 130—160 г. Ожоги вызывали по ранее описанной методике (²). Животных декапитировали, вскрывали брюшную полость и от края большой доли печени отсекали кусочек размером 0,5 на 1 см, который сразу помещали в раствор Рингера. Исследуемый кусочек печени помещали в проточную камеру объемом около 1 мл. Объем циркулирующего рабочего раствора составлял 150—200 мл, температура раствора была равна 36,5°С. На кусочке печени, взятого от каждого животного, проведено измерение в 10—15 участках.

Схема электрических измерений подробно описана в работе (3). Для отведения мембранного потенциала (МП) применяли стеклянные

микроэлектроды, заполненные ЗМ КС1 с диаметром кончика около 0,5 мк, сопротивлением 10—70 мом и собственным потенциалом не более 5—7 мв. Индиферентный электрод (Ag—AgCl) соединяли с окружающей клетку средой через агаровый мостик. Для регистрации МП использовали усилитель с высокоомным входом и осшиллограф С1—48.

Установлено, что МП клеток в начале измерения равен 10—15 ма. Однако в течение 4—7 часов эксперимента величина МП постепенно увеличивалась и доходила до 18—26 мв, сохраняясь на этом уровне в течение 2—3 часов. Специальными опытами показано (4), что исходные инзкие величины МП обусловлены как наличием линии разреза, так и охлаждением изолированного участка печени. Истинной же величиной МП является установившееся высокое значение его Такая же динамика в изменении МП наблюдалась нами и в процессе наших экспериментов с животными после ожоговой травмы.

Как видно из табл. 1, через 1 час после ожоговой травмы МП клеток печени спижается на 32%, еще больше снижается через 1 день (на 36%) и остается на этом уровие и через 3 дня. При введении же животным витамина Е МП проявляет тенденцию к пормы петипи. Этот процесс лучше выражен в болсе поздине после травмы сроки. Так, через 3 дня при введении витамина Е МП отставал от нормы всего на 18%.

Таким образом, витамин E в определенной степени нормализует МП клеток печени крыс, нарушенный после ожоговой травмы.

Блияние витамина Е на величину мембранного потещиала (мВ) гепатоцитов крые после ожоговой травмы

Стат.	Интакт- пые крысы		з 1 час		о кот—инт.Е		эжог+вит.Е
M±m	22.0+0.7	15.0±1.2	16.0+1.7	14.0±0.9	17.0+0.7	14.0±0.5	18.0+0.7
n	12	5	5	5	5	6	5
P	-conta	<0.01	>0.05	<0.001	>0.05	<0.001	<0.001

Известно, что при ожоговон болезни в клетках печени увеличивается концентрация натрия и уменьшается количество калия. Такое изменение содержания указанных новов свидетельствует о выравнивании внутриклеточной и внеклеточной концентрации их вследствие увеличения проницаемости мембран для этих нонов или нарушения работы систем, обеспечивающих активный транспорт понов (1)

В качестве одного из универсальных факторов деструкции мем бранных образований является процесс перекисного окисления поли насыщенных жирнокислотных остатков в фосфолипидах меморан, интенсификация которого сопровождается развитием целого ряда па-

тологических состоянии (5). Ранее было показано (6), что ожоговая травма сопропождается значительным усилением перекисного окисления липидов, что приводит к уменьшению содержания фосфолипидов в мембранах (2), снижению количества эндогенного 2-токоферола (7). Известно, что фосфолипиды и 2-токоферол являются важными структурными элементами в формировании клеточных мембран (5). Структурному же фактору в функционировании мембран придается ведущее значение. Малейшие изменения в гидрофобности бислоя липидов, связанные с липопереокислением, приводят к его модификации, способствующей дальнейшему доступу инициаторов свободнорадикальных процессов во внутренние области мембраны и, наконец, полной ее дезинтеграции (9).

Нормализующее действие экзогенного витамина Е на величину МП, по-видимому, связано с тем, что при этом происходит упорядочивание жидкокристаллической структуры липидного бислоя мембраны, ограничивающего бурное протекание реакций перекисного окисления. Таким образом, защита мембранных структур клетки с помощью витамина Е от повреждающего действия перекисного окисления липидов, вызванного ожоговой травмой, способствует нормализации разпообразных метаболических процессов, в значительной степени определяющих характерные структурные и функциональные черты клетки.

Ереванский государственный институт усовершенствования врачей Минздрава СССР, Ереванский государственный медицинский институт

> Ս. Ա. ՔԱՋԻՆՑԱՆ, Մ. Ի. ԱՂԱՋԱՆՈՎ, Հայկական ՍՍՀ ԳԱ թղթակից–անդամ Վ. Գ. ՄԽԻԹԱՐՅԱՆ

Առնետների լյարդարջիջների թաղանթային պոտենցիալի նետազոտությունը այրվածքային վճասվածքից նետո

Ուսումնասիրվել է առնետների լյարդաբջիջների խաղային պոտենցիալը այրվածքային վնասվածքին հաջորդող ժամանակահատվածներում։ Ցույց է տրված, որ այրվածքային վնասվածքը որոշակիորեն իջեցնում է բջջային խաղանիների պոտենցիալը։ Դա զուգորդվում է լիպիդների պերօքսիդացման նշանակալի ուժեղացմամբ, որը հանդեցնում է բջջային խաղանիների դեստրուկտիվ փոփոխությունների՝ ի հաշիվ նրանցում պարունակվող ֆոսֆոլիպիդների և և առոկոֆերոլի քանակի իջեցման։

«—տոկոֆերոլի ներորովայնային ներարկումը (1 մգ/կգ քաշին) որոշակիորեն կանխում է Թաղանթային պոտենցիալի փոփոխությունները՝ հավանաբար ճնշելով լիպիդային պերօքսիդացիայի ինտենսիվությունը։

ЛИТЕРАТУРА — ЧРИЧИТОВ РВОРЪ

¹ А. А. Кияшко, С. А. Сморщок, М. П. Кариян, Тезном докл. Всесоюзи, симпознума. Патология мембранной проницаемости», стр. 30, 1975. ² М. Н. Агаджанов, «Журнал экспериментальной и клинической медицины», т. 17, № 5, 68 (1977). ² 7. К. Бойцова, С. А. Ковалев, Л. М. Чайлахян, Ю. Ю. Шаровская, 11 то т. 12, № 10, 255 (1970) В Ю. Ю. Шаровская, Л. А. Миттельман, В. В. пинов, Цитология», 12, № 12, 1376 (1975). Ю. Л. Владимиров, А. И. Грисков, Перекисное окисление липидов в биологических мембранах, изд. «Наука» М. 1972 В Г. Мхитарян, М. И. Леаджанов, Е. А. Мелик-Агаева «Журнял жепериментальной и клинической медицины», т. 15, № 2, 3 (1975) В М. А. Гаджанов Биологический мурна Армения», т. 31, № 2, стр. 128 (1978) В Л. А. П. Козлов В Б. Ригов, Тезисы докл. Всесоюзи симпознума «Патология мембранной проинцаемости», стр. 13, 1975.

3

УДК 577 15 07

вимихоид

Член-корреспондент АН Армянской ССР А. А. Галоян, А. К. Антонян, В. В. Баев, Р. Г. Галстян

Влияние нового гипоталамического полипептида на секрецию инсулина у крыс

(Представлено 10/V 1978)

Па гипоталамуса крупного рогатого скота был выделен и идентифицирован гексапептид со еледующей структурой; Тир-Гли-Лей-Арг-Нро-Гли-NH₂ (1).

Нам удалось разработать радноиммунохимический метод идентификации и количественного определения указанного гексапептида в гипоталамусе крупного рогатого скота.

Гексапептид и его ацетил-производное в дозе $1.5 \times 10^{12} \,\mathrm{M}$ обладают выраженным кардиотропным действием, вызывая при этом расширение коронарных сосудов (1).

Гексапептид, при внутривенном введении в дозе 0,1—1 *мкг* на целое животное, оказывает гипогликемический эффект у крыс как при норме, так и при аллоксановом диабете (2). При этом установлены заметные изменения в содержании гликогена в сердие и других органах, а также характерные изменения активности фосфорилазы и фосфопротенифосфатазы.

На основании вышензложенного, нами было решено изучить влияние синтетического гексапентида на секрецию инсулина у крыс.

В 1974 г. нами был установлен факт, что соматостатин сказывает ингибирующее влияние на инкреторный панкреас—задерживая выход кардиоактивных соединений из поджелудочной железы в кровь (3).

В том же году Koerker et al., (1) получили прямые доказательства ингибирующего влияния соматостатина на секрецию инсулина. В настоящем исследовании мы задались целью изучить также совместное действие соматостатина и изучаемого гексапептида на секрецию инсулина у крыс.

Оныты ставили на половозрелых белых крысах весом 120—150 г. Кровь у животных брали на гепарине из яремной вены под гексеналовым наркозом и сразу центрифугировали в течение 15 мин при 1500 об мин. Затем сыворотку отсасывали и хранили на холоду. Для определения инсулина в одной пробе использовали 0,1 мл плазмы. Определение инсулина у животных проводили также через 15 и 30 минут после введения изучаемых веществ.

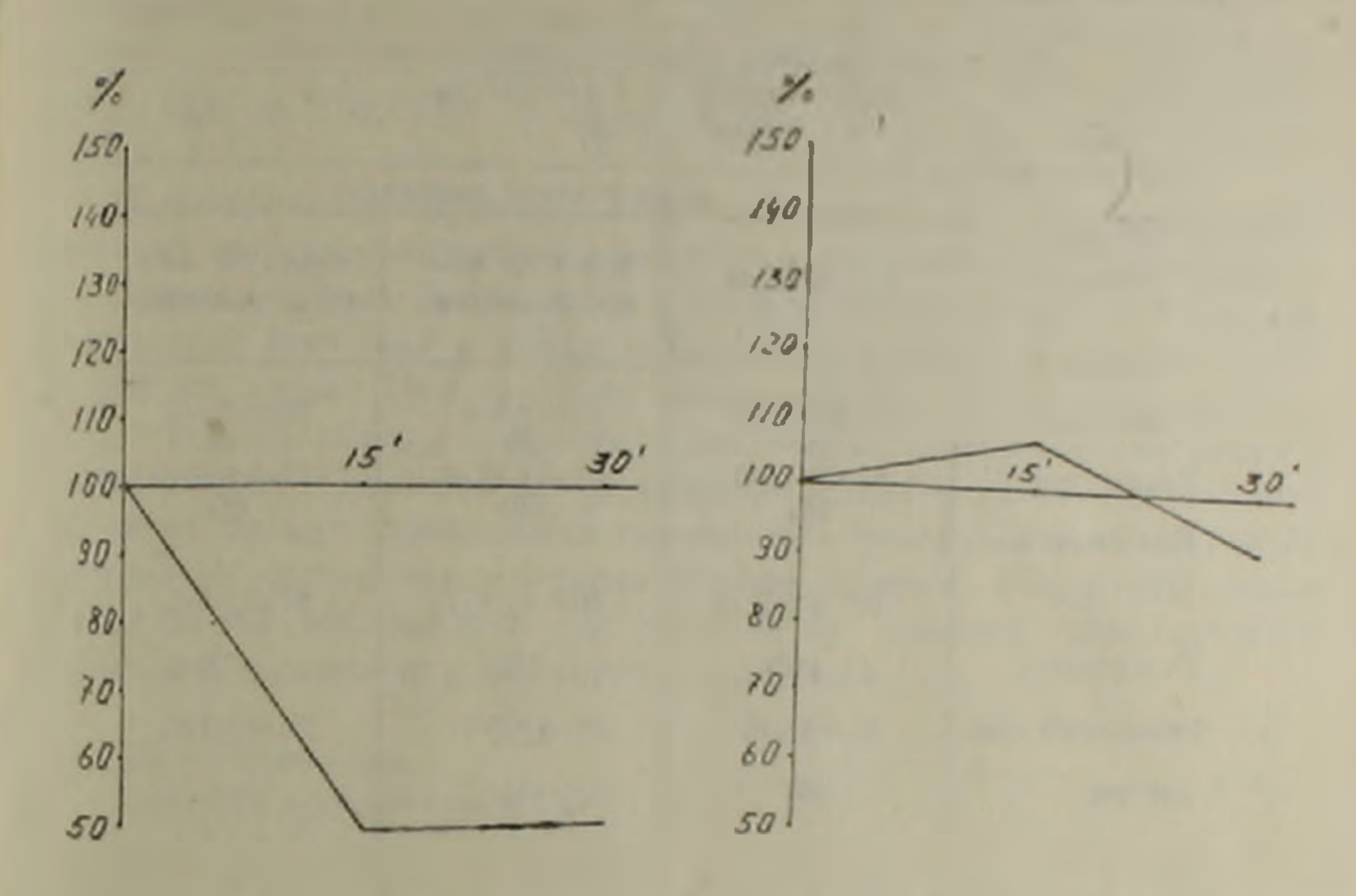


Рис. 1. Изменение содержания инсулниа Рис. 2. Изменение содержания инсулниа в крови крыс под влиянием соматостатина тлиз и тексанситида

С целью радионямунного определения инсулина, нами, предварительно, иммунизацией животных была получена антнинсулиновая сыворотка и проведена метка гормона радиоактивным 1125, построена калибровочная кривая для определения инсулина. Построение калибровочной кривой проводили общепринятыми методами (5.4), содержание инсулина выражали в микроединицах.

Инсулин определяли радноиммунохимическим методом, основанном на конкурентном связывании с антителами меченного и немеченного

гормона в стандартных пробах и в исследуемых образцах (1).

Определение инсулина было проведено у 35 крыс в 1 группах. Перная группа—животные, получавшие соматостатии, вторая гексапентид, третья—соматостатии и гексапентид, четвертая—контрольная, которым вводили только физиологический раствор (табл. 1, рис. 1—4).

По нашим данным содержание инсулна в крови у белых крыс колебалось от 20 до 150 мк ед./мл. Эти данные близки с результатами Моргана и Лазарова (°) показавших, что содержание инсулниа в кро-

ви белых крые может колебаться от 15 до 165 мк ед./мл, в среднен составляя 104±23 мк ед./мл. Результаты изучения содержания инсульна в крови у крыс, получивших соматостатии и гексапептил, приведены в таблице 1.

Таблица І

Содержание инсулина в крови у крыс под влиянием соматостатина и гексапептида.

(мк ед./мл)

	Концептрация янсуаппа					
вещество	до введения	через 15 лин после внеден.	через 30 мин после пведения			
Соматостатии	71.0±17.6	34.9+8.0	35.6+5.2			
Гексапептид	67·0±14·0	(9) 84.0±13.0	67.0+10.0			
Сомато статин	(9)	(9)	(8)			
+	101.6+12.0	109,1+8,1	91.3+5.1			
Гексапептид	(12)	(12)	(12)			
Физновогический	25.6+2.5	28.0±2.2	26.0+2.0			
раствор	(6)	(6)	(6)			

Из таблицы видно, что после введения гексапентида в дозе 1 мкг на животное содержание инсулниа в крови у крыс через 15 мин увеличивается с 67,14 до 84,14 мк ед./мл. Через 30 мин оно снова возвращается к первоначальной концентрации.

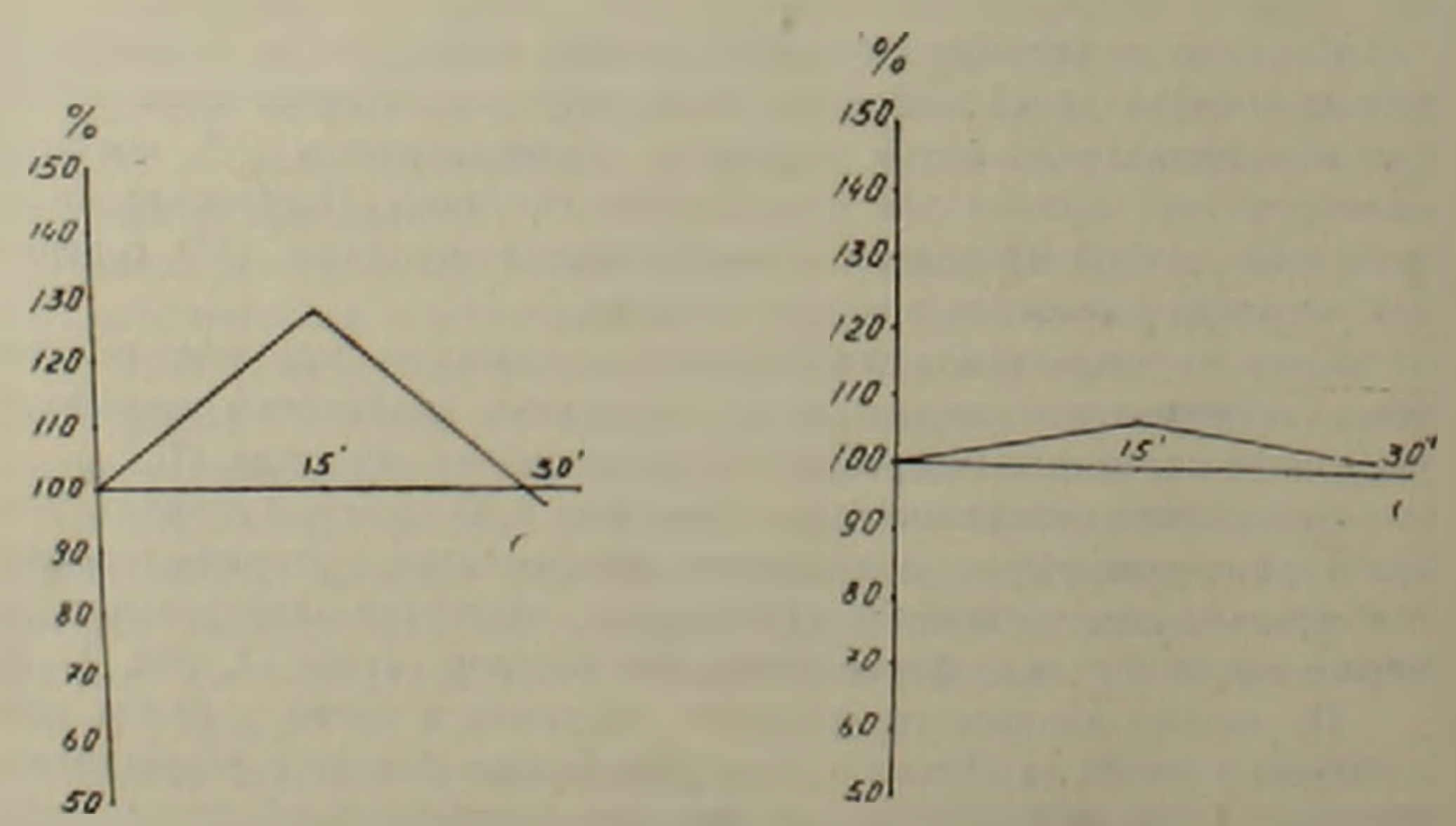


Рис. 3. Изменение содержания инсулниа Рис 4 Изменение содержания инсулниа в крови крыс после введения им физиологического раствора

В группе животных, получивших соматостатии, содержание инсульна в крови до введения препарата, составляло 71,0 - 17,6 мк ед/мл. Через 15 мин., после введения соматостатина, оно снизилось до 34,9 + ±8,0 мк ед./мл., а через 30 мин было 35,6 ±5,2 мк ед./мл.

При совместном введении соматостатина и гексапептида, через 15 мин наблюдалось повышение уровня инсулина в крови животных с 101.6 ± 12.0 до 109.1 ± 8.1 , а через 30 мин оно составляло 91.3 ± 5.1 мк ед./мл.

В контрольной группе, у животных получавших только физиологический раствор содержание инсулина практически не изменялось

Таким образом, проведенное исследование позволило показать, что содержание инсулина в крови у белых крыс может колебаться от 15 до 200 мк. ед./мл. При введении соматостатина наблюдается уменьшение, а при введении гексапептида увеличение содержание инсулина в крови у крыс. При совместном введении соматостатина и гексапептида, через 30 мин. проявляется тенденция к уменьшению концентрации гормона по сравнению с первоначальным уровнем. Результаты наших исследований показывают, что гексапептид снимает ингибирующее действие соматостатина на секрецию инсулина.

Институт биохимии Академии наук Армянской ССР

վ. վ. թևեվ, Ռ Հ. ԳևյոցևՆ, Ա. Կ. ԱՆՏՈՆՅԱՆ,

Հիպոթալամուսային նու հեքսապեպտիդի ազդեցությունը առնետների մոտ ինսուլինի սեկբեցիայի վշա

գր**չ իրոսւնիրի ետրավութ**յար վնաւ արճառվաց ըսն չրեսամրոնուներ անմր**ն**ություրն ոտեսան աւրբարբևի աև**վար** լեա<mark>միսկուրսենվոր</mark>ը որիալություն ուսուդրասինվաց է չիոնսիանալուրին

Ցույց է տրված, որ հերսապեսյտիդը ուժեղացնում է ինսուլինի սինβեզը.

որը հանգեցնում է արյան մեջ վերջինիս քանակության բարձրացմանը։

Պարզված է նաև, որ հեքսասինարիդը վերացնում է ինսուլինի սեկրեցիայի վրա սոմատոստատինի ունեցած արդելակիչ ազդեցությունը։

ЛИТЕРАТУРА — ЧРИЧИ И ПЕРВИТЫ

¹ А. А. Галоян, ДАН АН Арм. ССР, т 64, № 2 (1977). А. А. Галоян, Н. Г. Хумарян, А. Х. Ханзатян, ДАН АН Арм. ССР, т. 65, № 5, (1977). В А. Л. Галоян. Алексанян, «Биол. журн. Армении», т. 27, № 6, (1974). В Р. Т. Кværker et all. Science, 184, 482 (1974). В R. S. Yallow, Pharmacol. Rev., 25, 2, (1963). С. R. Morgan, А. Luzarow, Diabetes, 12, 2 (1963).

ВИОХИМИЯ

3 JK 577 I

Чти корреспона эт АН Арминской ССР А. А. Галови, Р М Срапионии, Р. О Карапетян, Ф М. Саавии, С А. Саавии, Г. А. Сарибеняи

Модифицированный способ выявления двух изоформ непрогормона «С» путем диссоциации на глицинамидированном сефадексе G-10

(Представлено 22/VI 1978)

В настоящее время сорбционные свойства различных сефадексов на ны швают сомисний (1). Благодаря наличию фиксированных отрицательных зарядов в нейтральном геле ряд пептидов и белков притель фильтрации сорбируются и определить точно их молекулярный вес становится невозможным Обивружены два типа кислых групп—карбоксильные и сульфатные, нейтрализацию которых можно осуществить различными методами. Так, например, Порат и сотр. (12) подшергают сефадекс щелочным воздействиям. К ним относятся: амидинирование, эстерификация, каталитическое восстановление. Другие предлагают применить непосредственное добавление растворимых солей в систему (14) Однако подавляющее большинство этих реакций приводит к нарушению нативной структуры гидрофильного геля.

В этом аспекте предлагаемый Крэгом метод блокирования карбоксильных групп глицинамидированием в присутствии водорастворимых карбоднимидных дериватов достаточно эффективен и имеет несомненные преимущества по сравнению с остальными способами (*). Сущность глицинамидирования заключается, как видно из инжеприведенной схемы реакции, в присоединении остатка глицинамида к каждой свободной карбоксильной группе; именно этим путем происходит блокирование кислых групп

Глицинамидирование применяется также в исследовании структуры белков, в частности, в определении числа аспартильных и глютаминимых остатков в гемоглобиие (*).

В настоящей работе мы задались целью устранить причины ал сорбщии карднотрояного нейрогормона «С» (НС) при его гель-филограции на сефадексе G 10, используя обработанный глицинамидиро ванием сефадекс, не исключая также возможности гетерогенности вы шеуказанного нейрогормона. Одновременно приобретает большо значение разработка адекватного метода выделения, полволяющего получить достаточное количество НС.

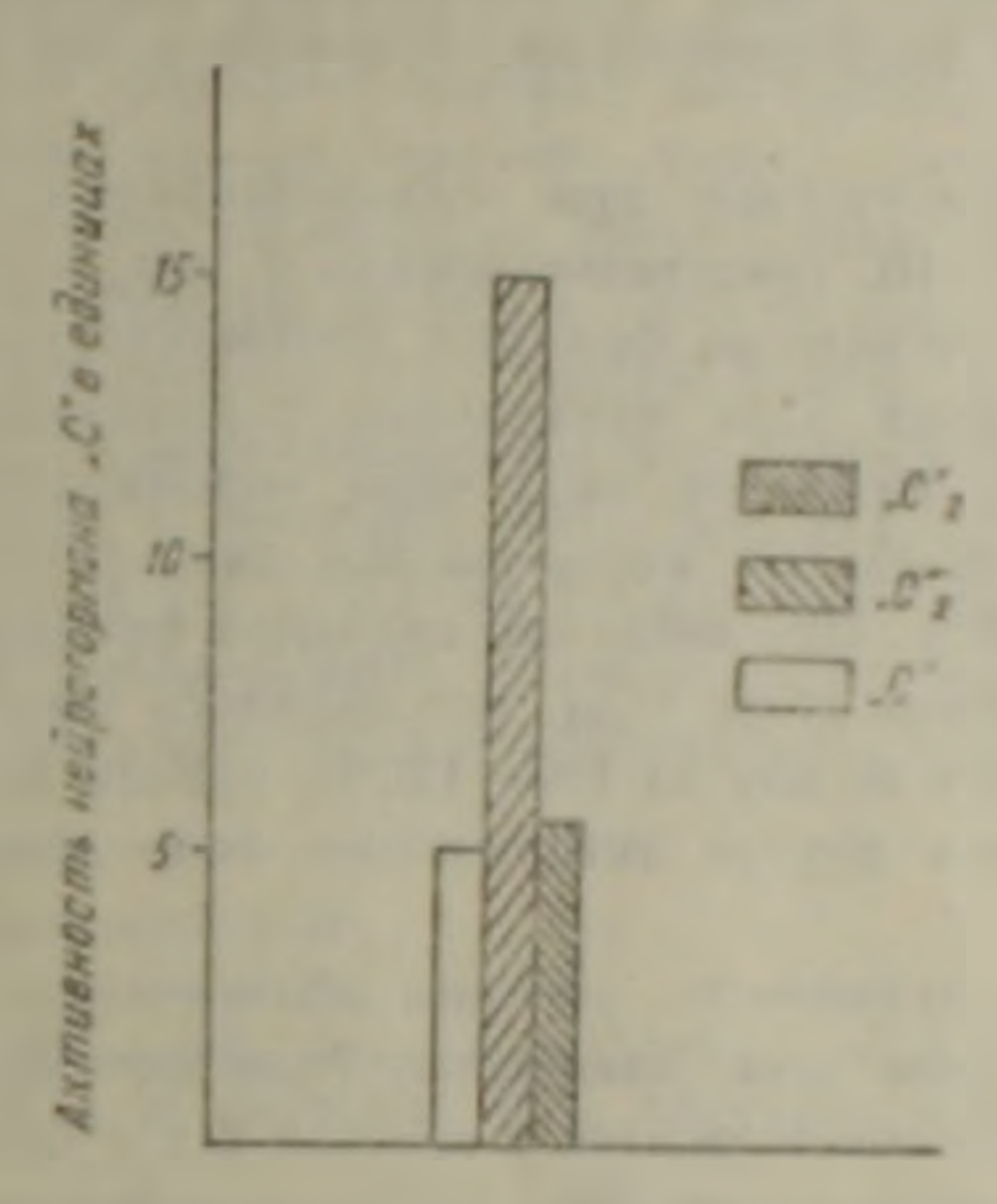


Рис I. Сравнение действия фракций «С» и «С» на ФДЭ мозга крыс с действием нейрогориона «С»

В качестве основных материалов использовали коммерческие препараты: сефадекс G-10 фирмы Farmacia Fine Chemicals: диметилформанид (ДМФ) — Fisher Scientific Co; Chemical Manufacturing Division, N. Y.; глицинамид-гидрохлорид—Division of Becton, Dickinson and Co, Orangeburg, N. Y; N₁N'—дициклогексилкарбодинчил Ferak Berlin; какодиловая кислота, Ferak Berlin.

Реакцию глицинамидирования вели по методу, разработанному Крэгом и сотр. (в) с некоторыми модификациями Сефадекс G-10 в количестве 50 г суспендировали в 0.1 и растворе NaCl, промывали с помощью декантации сначала 0,5% ным раствором Na-ЭДТА, а патем трижды дистиллированной водой, пока рН декантируемой воды по стал равным 6. Сефадекс уравновешнвали 400 мл смеси, состоящей и 50% ДМФ в 0.1 н буфере какодиловой кислоты рН 4,75, сюда добавляли 10 ммоль глицинамида и 10 ммолей водорастворимого кой бодинмида Для удаления реагентов последовательно промывали: 0.1 н раствором NaCl, дистиллированной водой до исчезновения реакции с нингидрином. Обработанный таким образом сефадекс (д — (t) или G-2 упаковывали в колонку размерами 1 - 50 см. В качестве маркера и пользовали 0.01% ный водный раствор голубого декстрана Элюция велась дистиллированной водой со скоростью 16 жи/час В отогран ных аликвотах велась проверка биологической активности по известной 177

методике Моравитца и Цана (7) и определение активности фосфодизстеразы (ФДЭ) по ранее описанному методу (8). Активность ФДЭ определяли по количеству гидролизованного субстрата циклического аденозинмонофосфата (цАМФ) в процессе его инкубации с ферментом. О гидролизе цАМФ судили по падению радиоактивности ³Н-цАМФ, использованного в качестве маркера. За единицу активности нейрогормона «С» принимали такое количество препарата, которое ингибировало 1 mE цАМФ фосфодиэстеразы гомогената мозга крысы за 1 минуту.

Результаты, полученные при гель-фильтрации нейрогормона «С» через сефадекс G—10, свидетельствовали о том, что указанное активное соединение выходило во фракции, соответствующей 10-ому объему элюнрующего буфера. При применении глицинамидированного сефадекса были обнаружены две различные коронарорасширяющие фракции. В ожидаемом объеме элюировалась лишь наименьшая часть активности, около 30%. При введении активной фракции указанной зоны, условно обозначений нами «С2», наблюдалось увеличение коронарного кровотока кошек in sity на 100—120%, причем действие этого начала, по сравнению с другой активностью—непродолжительное, в течение 1,5 часа.

Основная же активность, условно обозначенная нами «С₁», была сосредоточена в 1-ом пике, элюируясь 7-ым объемом буфера. Эффект указанной фракции продолжался в течение 3-х и более часов, увеличивая коронарный кровоток на 200—250% по сравнению с нормой.

Фракции « C_1 » и « C_2 » отличаются также способностью в различной степени ингибировать ФДЭ 3′5′-цАМФ мозга (таблица). При сравнении действия фракции « C_2 » с действием нейрогормона «C» в наших опытах с ферментом гомогенатов мозга крысы удалось показать, что вышеуказанная фракция проявляет столь же сильный ингибирующий эффект. Наряду с этим выяснилось, что ингибирующий эффект фракции « C_1 » превосходит почти в три раза подобное действие нейрогормона «C» (рисунок).

Изменение активности ФДЭ мозга крыс лод действием коронарорасширяющих фракций

Таблица

Фракции		гидролизован- Встрата, %	Стелень ин-	Активность в единицах на 1 мл	
у ракции	контроль	олыт	гибации, %		
.c.	84	74	10	0.5	
.C1*	85	60	25	1,6	
°C3.	80	69.7	10,3	0.6	

Следовательно, вместо ожидаемого суммирования эффекта ингибиции наблюдается обратная картина. Механизм этого явления пока не выяснен полностью, можно лишь допустить возможность наличия в активном комплексе другого соединения, которое препятствует проявлению характерного для НС действия как на коронарное кровообращение, так и на ингибирование ФДЭ цАМФ мозга.

По предварительным данным таким соединением может быть коронаросуживающая фракция, которая диссоциируется от нейрогормона «С» лишь при гель-фильтрации через глицинамидированный сефадекс. Одновременно происходит диссоциация нейрогормона «С» на две коронарорасширяющие фракции, одна из которых является весьма эффективным ингибитором ФДЭ цАМФ мозга. Одинаковый профиль элюции через неглицинамидированные сефадексы, сходство биологической активности и ингибирующего эффекта на ФДЭ 3'5'-цАМФ диссоциированных друг от друга на глицинамидированном сефадексе фракций позволяет предположить наличие в гипоталамусе двух изоформ или аналогов кардиоактивного нейрогормона «С».

Институт биохимин Академии наук Армянской ССР

Հայկական ՍՍՀ ԳԱ թղթակից-անդամ Ա. Ա. ԳԱԼՈՅԱՆ, Ռ. Մ. ՍՐԱՊԻՈՆՅԱՆ, Ռ. <mark>Օ. ԿԱՐԱՊԵՏՏԱՆ, Ֆ. Մ. ՍԱՀԱԿ</mark>ՅԱՆ, Ս. Ա. ՍԱՀԱԿՅԱՆ, Գ. Ա. ՍԱՐԻԲԵԿՅԱՆ

Դլիցինամիդացված սեֆաղեքս G-10-ի միջոցով դիսոցված նեյբոնումոն -ի եւկու իզոձևեւի նայտնաբեւման մասին

Հետազոտությունների արդյունքները սլարզեցին, որ սեֆադեքս G=10-ի դլիցինամիդացումից հետո, երբ վերջինիս ադսորբցիոն հատկությունները նվազում են, նեյրոհորմոն C^* -ն, որը նախկինում նույն սեֆադեքսի վրա դուրս էր դալիս միայն մեկ զոնայում, այժմ բաժանվում է երկու մասի, որոնցից ուրաքանչյուրն օժուված է պսակաձև անոթալայնիչ, ինչպես նաև ցիկլիկ—ԱՄՖ հոսֆոդիէսթերազայի ընկուման հատկությամբ։ Սույն տվյալները վկայում են հոսֆոդիէսթերումոնի երկու իղոձևերի (C_1^* , C_2^*) առկայության մասին։

ЛИТЕРАТУРА— ЭГЦЧЦЪПЪРЗПЬЪ

1 K. L. Carraway and D. E. Koshland, Blochim. Blophys. Acia. 160., 272—274. (1968). ² Y. Porath, Separ. Sc., 2, 507, (1967). ³ Y Porath, Y C Yanson and Lans, Y Chromatography, 60, 167(1971) ⁴ B Gelotte, Y Chromatography, 3 30 (1960). ³ Hao—Chia Chen, C. Lyman. Creig and E. Stoner, Bloshemistry, 11, 19(1972). Richard et al., Anal. Blochemistry, 82, 23 (1977). ³ P. Z Morawitz und A. Zahn, Deutsch. Arch. Klin Med., 116, 364 (1914). ⁶ A 1 Галоян, Б. Я. Гурвиц, М. Погосин, Вопр. биохимин мозга, Изд. АН Арм. ССР, 11, 83 (1976).

ЭНТОМОЛОГИЯ

УДК 595.763.7

С. М. Яблоков-Хизорян

Два новых вида жесткокрылых—кокцинеллид из Восточной Азии

(Coleoptera, Coccinellidae)

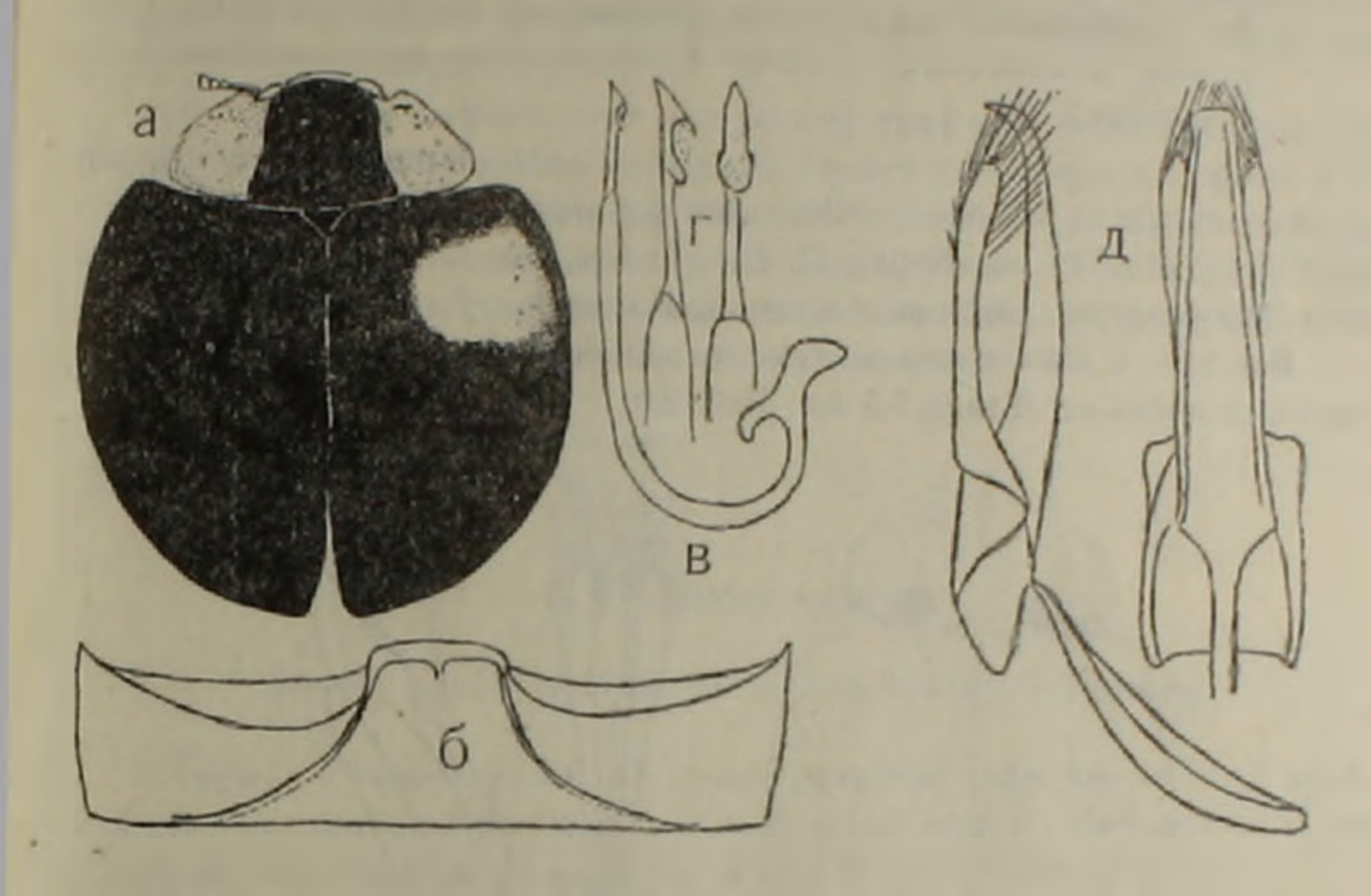
Представлено чл-корр. АН Армянской ССР Э. А. Давтяном 22/X1 1977)

В богатом материале, любезно присланным нам на определение из Музси университета имени Гумбольдта в Берлине обнаружено два ноных вида, описание которых приводится ниже. Их голотипы хранятся в Берлине.

1 Lemnia melanoptera lablokoff—Khnzorian sp. nov. Вьетнам (Тонкин), Montes Mauson, апрель—май, 2—3000 футов, по сборам Фрюстрофера, голотип,

Голова желтая, переднеспинка черная с двумя крупными беловатыми пятнами вдоль всего бокового края, щиток и надкрылья одноцветно черные. Низ и конечности желтые. Длина 6 мм. Рис. 1,а.

Лоб равномерно негусто точечный на шагренированном фоне. Наличник со слабо вырезанным передним краем и резкими прямыми передними углами. Ротовые органы типичные для этого рода. Ментум с двумя слабыми продольными килями. Усики слегка длиниее ширины лба, их 9-и и 10-й членики слегка, 11-й вдвое длиниее ширины. Переднеспинка с широко закругленным боковым краем, слегка выпрямленным перед тупыми и закругленными перединми углами, задние углы широко закругленные. Диск густо вдавленно точечный на почти гладком фоне. Плевры с плоской ямкой. Щиток в 10 раз уже тела. Надкрылья слегка короче общей ширины, равномерно густо точечные на шагренированном фоне, вдоль бокового края точечность гуще и крупнее. Боковой скат спадает круто, распластан вдоль равномерной плоской и широкой каймы, сзади скат спадает без отгиба. Переднегрудь приподнята вдоль середины, с двумя килями, соединенными за передним краем, выступ с закругленной вершиной, слабо выступающей за край тазиков. Среднегрудь с плавным килем, изогнутым за крупной ямкой. Заднегрудь с выемчатым перединм краем и цельными, слабо изогнутыми бедренными линиями. На брюшке эти линии изогнуты на четверть круга до на него края их стернита (рис. 1,6). Грудь голая, почти гладкая. Брюшко мелкоточечное и волосистое. Коготки с основным зубцом



Рнс. 1. Lemnta melanoptera Khnz sp. nov.

а—габитус; б—первый видимый стернит брюшка; в—сифон; г—его вершина сбоку и спизу.

ку и сиизу; д—тегмен сбоку и спизу.

а×8; б и в×20; г и д×33

У об задние вертлуги с резким зубцом у середниы заднего края Сифон (рис. 1,8) изогнут на полкруга, с двулопастной капсулон, его вершинный отрезок (рис. 1,2) прямолинейный, с зубцом и боковой вырезкой, затянутой перепонкой, предвершинный отрезок отсутствует. Тегмен с длинной и широкой трубкой (рис. 1,0), у вершины загнут за вершину узких парамер. Трабес слабо изогнут. Самка неизвестна, но се лоб вероятно черный (как у родственных видов).

Этот вид—представитель рода Lemnia Muls. и его типичного подрода, образует с L. saucia Muls. и biplagiata Swarz естественную группу, легко отличающуюся от родственных видон уже по окраске. От двух прочих видов этой группы новый вид можно отличить следующим образом:

181

2(1) Надкрылья одноцветно черные. Выступ переднегруди слегка заходит за края тазиков. Трубка тегмена у вершины загнута на четверть круга, далеко выступает за вершину парамер. Сифон без предвершинного отрезка, вершинный прямолинейный, с вырезкой и конечным зубцом. Плевральные ямки плоские, без зачернения

L. melanoptera Khnz. sp. nov.

2 lileis chinensis lablokoff-Khnzorian sp. nov.

Китай, I /XII 1912 по сборам С. В. Мелля, на листьях Ruettnera asрега без указания местонахождения. Голотип, З.

Все тело и конечности желтые, переднеспинка у основания с двумя черными пятнами. Длина 5,5 мм. Рис. 2,а.

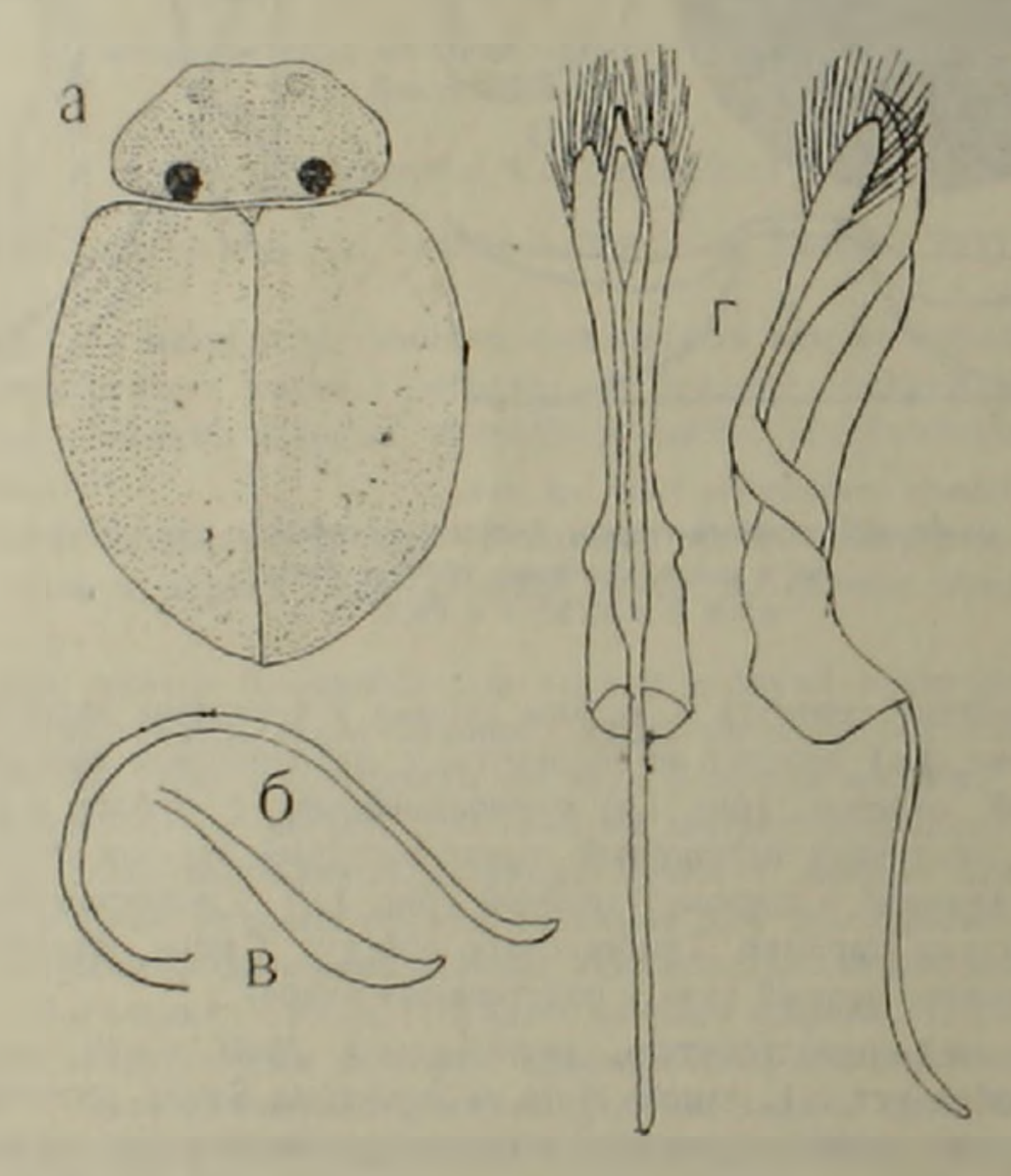


Рис. 2 Illels chinensis Klinz. sp. nov. a—габитус; d—сифон; e—его нершина; e—тегмен сиизу и сбоку. $a \times 10$; $e \times 20$; $e \times 70$; $e \times 40$

Этот вид—типичный представитель рода Illeis Mulsant, все виды которого сходиы и могут быть отличимы лишь по гениталиям , что привело в прошлом к их объединению. По внешним признакам новыя вид ничем не отличается от десяти прочих уже описанных видов рода, но его мужские гениталии особые. Сифон (рис. 2,6) изогнут больше,

чем на полкруга, с цельной трубкой, к вершине голой, слегка расширенной, слабо изогнутой и кончающейся острием (рис. 2,8). Трубка тегмена (рис. 2,2) сплющенная в сагиттальной плоскости, к вершине расширенная, кончается острием, загибающимся на четверть круга над вершиной узких парамер.

По строению сифона этот вид можно сравнить лишь с I gressitti Bielawski, 1961, описанным из Повой Гвинен, у которого, однако, вершина сифона изогнута сильнее, а трубка тегмена параллельнобокая до вершины, отогнутой над парамерами под прямым углом и вытянутой в длинную иглу. Этот вид был описан по трем типам, у которых щиток затемиен, а переднеспинка несет три черных пятна.

Ниститут зоологии Академии наук Армянской ССР

Ա. Մ. ՅԱԲԼՈԿՈՎ-ԽՆՉՈՐՅԱՆ

Զատիկ բզեզների երկու նոր տեսակ Արևելյան Ասիայից

Հոդվածում նկարագրված են զատիկ ըզեզների երկու նոր տեսակ, որոնց Տոլոտիսլերը գտնվում են Բեռլինում Հումբոլդտի անվան Թանզարանում, որտեղից այլ նյութերի հետ ուղարկվել են մեզ որոշման համար։

1. Lemnia melanoptera Khnz. sp. nov. Վիետնամից, տարբերվում է ազգակից տեսակներից միապույն սև վերնաթևերով և արական գենիտալների կառուցվածքի առանձնահատկություններով։

2. Illeis chinensis Khnz. sp. nov. Չինաստանից, տարբերվում է ազդակից տեսակներից միայն արական ղենիտալների կառուցվածքով։ УДК 616-092,61 08

МЕДИЦИНА

В. М. Арутюнян, М. Г. Микаелян

Тиреотропная функция гипофиза при бруцеллезе

(Представлено чл-корр АН Армянской ССР С Г. Мовсесяном 1/1X 1978)

Исследования последних лет (1-0) показали, что у больных бруцеллезом нарушается функциональная деятельность эндокринных желез. У умерших от бруцеллеза людей наблюдаются изменения в структурной организации эндокринных желез. Аналогичные наблюдения имеются также в отношении вакцинированных против бруцеллеза, а также у больных бруцеллезом животных. Авторы констатировали фазовое изменение деятельности щитовидной железы у подопытных животных. В литературе имеется также доказательство об активном участин этих желез в иммунологических реакциях организма на действия антигенного раздражителя (Выявлена определенная зависымость между количеством тиреоидных, гипофизарных и надпочечинковых гормонов в организме и иммунообразовательными процессами. Наряду с этим, согласно сложившимся в последние годы представлениям деятельность гипофиза, связанная с выделением тропных гормонов, осуществляющих регуляцию периферических желез, находится под контролем гипоталамуса, в силу чего гипоталамус рассматривается как орган интеграции эндокринной системы второго порядка (11-15).

Задача настоящего исследования состояла в том, чтобы определить выявленные нарушения функциональной деятельности щитовидной железы, наблюдавшиеся у больных бруцеллезом и у иммунизированных животных, самостоятельны или находятся в зависимости от тропной функции передней доли гипофиза. Выяснение этих механизмов необхолимо для принятия более радикальных мер заместительной терапии при инфекционной патологии.

Опыты проводили на 36 больных бруцеллезом белых крысах и 12 интактных морских свинках.

Первоначально белых крые двукратно пронерили на бруцеллез по РА и РСК. Затем 9 животных оставили интактными, а 27 заразили виручентной культурой бруцелл. Двухсуточную культуру бруцелл (Вг melitensis № 74) вводили подкожно в дозе по 1 млн. микробных тел. После заражения в течение 20 дней у крыс проверяли интенсив-

ность накопления агглютининов по РА и комплементсвязывающих веществ по РСК. Проводили также бактериологические исследования их внутренних органов.

На 10-20-е дни после заражения из селезенки, печени и лимфатических узлов белых крыс была получена культура бруцелл, что свидетельствовало о налични бруцеллезной инфекции.

Наряду с серологическими и бактериологическими исследованиями у больных бруцеллезом животных определяли и тиреотропную функцию передней доли гипофиза методом бнологического тестирования испытуемых гипофизов на морских свинках (по схеме Barrnett 1956).

До начала опытов, а также ежедекадно (в течение месяца) забивали по 6-9 бруцеллезных животных, извлекали гипофизы, готовили гомогенат аденогипофизов и вводили подкожно морским свинкам 6 раз с интервалом 12 часов по 0,5 мл взеси. Спустя 6 часов после последпей инъекции морских свинок забивали, извлекали их щитовидные железы, взвешивали и подвергали гистологической обработке.

О количестве тиреотропного гормона в гипофизе больных бруцеллезом животных судили по средней высоте клеток тиреоидного эпителия свинок-реципиентов. Полученные данные биометрически обрабатывали, после чего выводили индекс средней клеточной высоты, определяемой варнационно-статистическим методом.

Опыты показали, что титр агглютининов в сыворотке крови белых крыс находится в разведениях 1:400—1:3200, а комплимент связывающих антител—1:200—1:400. Исследования показали, что щитовидные железы морских свинок, которым вводилась взвесь аденогипофизов интактных белых крыс, обнаруживают типичную тиреондную реакцию. При этом клетки тиреоидного эпителия бывают цилиндрической формы, слегка набухшие, наблюдается также усиленный протеолиз и резорбция коллонда, большое количество резорбционных вакуолей, коллонд жидкий, а тиреоидные клетки светлее. Измерение высоты тиреоидного эпителия этих животных не показало достоверных изменении по сравпению с контролем (11,3±0,27).

При введении же взвеси аденогипофизов больных бруцеллезом крыс (с 10-дневной давностью инфекции) интактным морским свинкам, в щитовидной железе последних отмечается гиперфункциональное состояние, выражающееся набуханием тиреондных клеток, у которых верхушки куполообразно выступают в просвет фолликула, они покрыты хорошо очерченной апикальной мембранов. Высота клеток тиреопла-

ного эпителия составляет 18,20 = 0,8 мк (р<0,001).

На 20 в день заболевания отмечается ослабление функции щитовидной железы. Клетки щитовилной железы тих животных мало чем отличаются от таковых нормальных животных. Средняя высота клегок тиреондного эпителня составляет 10,31±0,2 мк.

На 30-й день бруцеллезной инфекции дсятельность шитовидной железы, судя по морфологическим признакам, остается ослабленной, При этом средняя высота тиреондного эпителия морских свинок-реципнентов, получавших взвесь передней доли гипофиза белых крыс, составила в среднем 11,31±0,3 мк (р<0,1). Наряду с вышеизложенными исследованиями нами на кроликах изучалась также роль переднего гипоталамуса в указанных процессах. Схема опытов была сходная с предыдущей. Роль переднего гипоталамуса изучали при полном двустороннем разрушении с помощью стереотаксического аппарата по координатам атласов Фифкова и Маршала (1960). Предварительные опыты показали, что при двухсторонней коагуляции переднего гипоталамуса взвесь аденогипофизов этих животных не приводит к усилению функции щитовидной железы морских свинок, как это наблюдалось, например, при опытах на крысах. Особых морфологических изменений в эпителнальной ткани железы при этом не наблюдалось. Полученные нами предварительные данные позволяют считать, что нарушение функциональной деятельности щитовидной железы, наблюдавшееся у больных бруцеллезом и иммунизированных животных, в определенной степени зависит от функционального состояния гипофиза и гипоталамуса.

Дальнейшие наши исследования уточнят роль гипоталамуса и гипофиза в механизмах наблюдавшихся изменений в деятельности щитовидной железы в процессах бруцеллезной инфекции.

Вышеприведенный фактический материал позволяет придти к заключению о том, что при бруцеллезе у животных отмечается фазность в тиреотропной функции передней доли гипофиза. При этом в первой декаде инфекции усиливается продукция тиреотропного гормона, во второй же декаде заболевания тиреотропная функция передней доли гипофиза ослабляется и этот уровень сохраняется до конца третьей декады.

Эти исследования наводят на мысль о том, что при бруцеллезе наряду с вакцинотерапией, антибиотикотерапией необходимо прибегать и к заместительной гормонотерапии.

Ереванский медицинский институт

Վ. Մ. ՀԱՐՈՒԹՅՈՒՆՑԱՆ, Մ. Գ. ՄԻՔԱՑԵԼՑԱՆ

Հիպոֆիզի թիռեռառոպ ֆունկցիան բռուցելոզի դեպքում

Հետաղոտության նպատակն է նղել պարզել, թե վերոհիշյալ պայմաններում վահանաձև գնղձի դործուննության խանդարումները տեղային պատհառներից են, ին ելնում են հիպոֆիզի թիրեոտրոպ ֆունկցիայի խանգարումներից։ Հետաղոտությունները կատարվել են 36 թրուցելողով հիվանդ սպիտակ առնեսների և 12 ինտակտ ծովախողուկների վրա։ Հիպոֆիզի Բիրևոտրոպ ֆունկցիան ուսումնասիրվել է կենսարանական տեստավորման մեթողով։ Կատարված փորձերից պարզվել է, որ բրուցելուն ինֆեկցիայի ժամանակ հիպոֆիզի Բիրևոտրոպ ֆունկցիան սկզբնկաան շրը-տանում է մինչև փորձերի վերջը (30 օր)։ Փորձերի արդյունջների համեսա-տական վերլուծությունից պարզվում է, որ հիպոֆիզի Բիրևոտրոպիկ ֆունկ-ցիայի տատանումները իրենց ազդեցությունն են թողնում վահանաձև գեղձի ֆունկցիայի վրա, առաջ բերևլով համապատասխան անղաշարժեր վահանաձև դեղձի դեղձի դործունեության մեջ։

ЛИТЕРАТУРА— ԳРԱԿԱՆПԻРВИНЬ

1 В М. Арутюнян, Труды Ереванского медицинского института, выпуск XVII, кинга 2. Вопросы эндокринологии, 8-10 (1977) 2 В. М. Арутюнян, Труды Ереванского медицинского института, выпуск XVII, книга 2. Вопросы эндокринологии, 10-13 (1977). В. М. Арутюнян, Труды Ереванского медицинского института, выпуск XVII, книга 2. Вопросы эндокринологии, 134—137 (1977). 4 В М Арутюнян. М Г Микаелян. Доклады АН Арм. ССР, т LXVI, № 1, 61-64, (1978) 5 W. Morgan V. Diary. Res 37, 303-309 (1970). • P. Nicolletti Am. v. vest, Res. 30 10, 1811-1824 (1969). : М. Г. Микаелин, С. Ш. Саканин, Э. Е. Тевосян, Материалы научной сессии АриНИИ, Ереван, 1972. • М. Г. Микаелян. Э. Е. Тевосян, Материалы 3-й Закавказской научн. конф. патофизиологов. Тоилиси, (1972). В М Г. Микаелян, Т. В. Адамян. Г. С. Григорян, Материалы научи, конференции НТО МСХ Арм. ССР, Ереван, 1972. 10 С. ІШ. Саканян, С. Е. Торосян, М. Г. Микаелян, Э. Е. Тево ян. Тр. Арм НИИЖив, т. IX, Ереван, 1967 11 Б. Т. Асс-Lабич. Материалы I съезда эндокринологов УССР, 50-52. Харьков, 1965. 12 A. П. Гришко, М. Н. Видиач, За соц. заравоохранение Узбекистана, 2, 20—23 1956. 13 Е. А. Корнева, Л. М. Хай, Физ. журнал СССР им. И М Сеченова, XLIX, I, 1963. 14 Л. М. Поляк, Автореферат докт. дисс. Пермь, 1969 15 Современные вопросы эпдокрипологии, М. 1972.

LXVII 1978

УДК 612 826

ФИЗИОЛОГИЯ

В. Л. Городнов, член-корреспондент АН Армянской ССР В. В. Фанарджян

Корковые синаптические входы нейронов красного ядра

(Представлено 30/Х 1978)

Основные афферентные входы в красное ядро (КЯ) представлены волекнами из промежуточного ядра мозжечка и сенсомоторной области коры мозга. Первые устанавливают синаптические контакты на соматической мембране рубральных нейронов (1,2), вторые оканчиваются на отдаленных дендритах нейронов КЯ (3,4). Электрофизиологический анализ указанных проекций показал, что дистальный синаптический вход благодаря кабельным свойствам дендритов обусловливает более медленное временное течение дендритных возбуждающих постепнаптических потенциалов (ВПСП) (5-2) по сравнению с соматическими ВПСП (6,10); имеется существенное различие в значении этих двух входов для процессов нейронной интеграции.

Морфологическими методами обнаружено, что инсходящие велокна в КЯ возникают и из других областей коры мозга (11). Среди них особре внимание привлекает проекция из ассоциативного поля теменной коры (12.13) — области, непосредственно участвующей в программиравании двигательного поведения. Настоящая работа посвящена электрофизиологическому исследованию указанной проекции. В ней проведен анализ синаптических потенциалов, возникающих в нейронах КЯ на раздражение ассоциативной теменной области коры, сенсомоторной кары мозга и промежуточного ядра мозжечка.

Опыты проводились на взрослых кошках, наркотизированных нембугалом (40 мг/кг взутрибрюшинно). Доступ к КЯ осуществляли через обнаженную поверхность гиппокампа. Потенциалы отводили внутриклеточно стеклянными электродами, заполненными ЗМ хлористым налисы или 2М цитратом калия. Микроэлектрод вводился в КЯ под латеральным углом в 15 (14). Раздражающие биполярные металлические мектроды (расстояние между кончиками 1,5 мм) вводили по две нары в моторную, соматосенсорную области, в переднюю супрасильвиеву извилину и в передний отдел средней супрасильвиевой извилины (ассоциативная область) инсилатерального полушария коры мозга. Электроды погружали в кору мозга на глубину 2,0—2,5 мм от ее поверхности. Пару раздражающих биполярных электродов висципи а контралатеральное промежуточное ядро мозжечка Плентификацию рубро-спинальных нейронов осуществляли посредством их антидромного возбуждения при стимуляции контралатерального рубро-спинального тракта на уровие второго шейного сегмента (С2) спиннего мо на

Всего был зарегистрирован 161 неирон; из них 119 были идентифицированы как рубро-спинальные. Одиночное раздражение контралатерального промежуточного ядра мозжечка вызывало в нейронах КЯ ВПС11, которые характеризовались крутон фазой восхождения (0.7—2,6 мсек; в среднем 1.27 мсек: n=41) и общей длительностью не болег 7,0—30,0 мсек (в среднем 12,1 мсек) (рис. 1.А₁). Скрытый нериод нозникновения ВПСП колсбался в пределах 0,7—1.5 мсек (в среднем

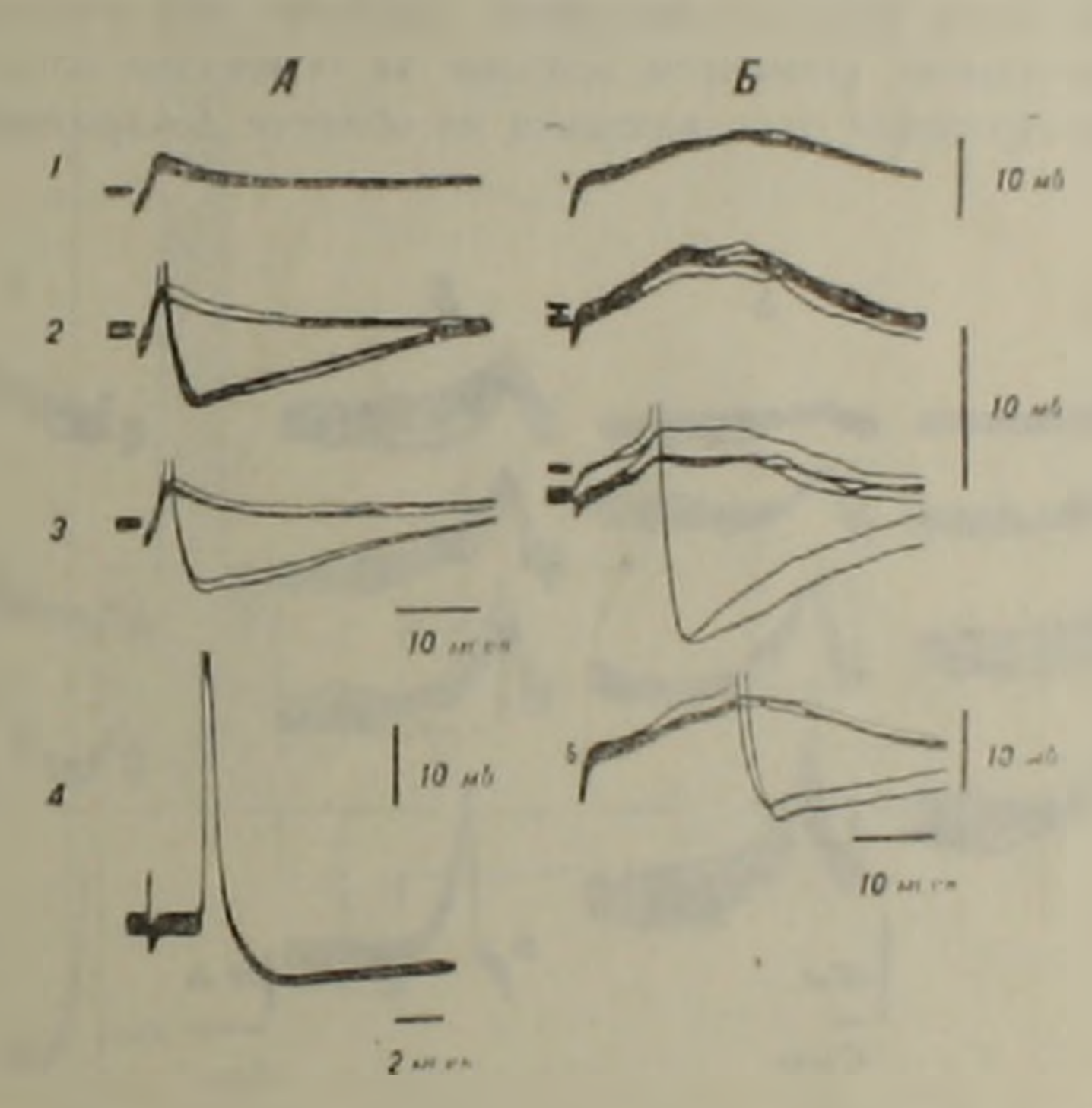


Рис. 1. Возбуждающие постеннаптические потенциалы и потенциалы действия руброспинального нейрона, вызванные раздражением промежуточного ядра мозжечка (А) и сенсомоторной области коры мозга (Б). Сверху вииз—усиление интенсивности риздражения, приводящее к генерации потенциалов действия. — антидроминия петеминив действия нейрона на стимуляцию С2 сегмента. Все потенциалы, представленные на этом рисунке, а также на рис. 2, зарегистрированы при многократном наложении пробегов луча. Использовался усилитель постоянного тока

0,91 мсек: n=40). Если учесть, что время синаптической задержки для указанных ВПСП охватывает 0,48—0,5 мсек (8,14), то следует признать их моносинаптическое происхождение. Усиление раздражения приводило к увеличению амплитуды мембранной деполяризации без изменения ее временного течения и к генерации практически во всех испетивания нейронах потенциалов действия, которые разрушали ВПСП, возникая со скрытым периодом 1,0—3,5 мсек (в среднем 1,78 мсек п=40) (рис. 1,4 2.3).

Совершенно иными характеристиками обладали ВПСП нейронов КЯ, возникающие на одиночное раздражение сенсомоторной области коры инсилатерального полушария мозга. Они отличались медлениям течением. Время восхождения ВПСП составляло 2,8—13,0 мсек (в среднем 6,8 мсек; п=52), общая длительность 12,0—40,0 мсек (в среднем 24,4 мсек). Скрытый период выявления ВПСП равиялся 1,8—7,0 мсек (в среднем 3,1 мсек; n=52) (рис. $1.B_{12}$, $2B_{1-3}$, B_{1-3}), что говорило об их моно- и полисинаптическом происхождении, поскольку время проведения по кортико-рубральным волокнам охватывает в среднем 1,5 мсек (5). При достижении ВПСП критического уровня часто возникали потенциалы действия (рис. $1.B_{3-1}$, $2B_4$, B_3), ранний скрытый период выявления которых колебался в пределах 5,0—15,0 мсек (в среднем 9,6 мсек). Имеется основание полагать, что последние триг-гируются начальным сегментом нейрона на основании электротонического распространения деполяризации из области дендритной мембраны (5,6,10).

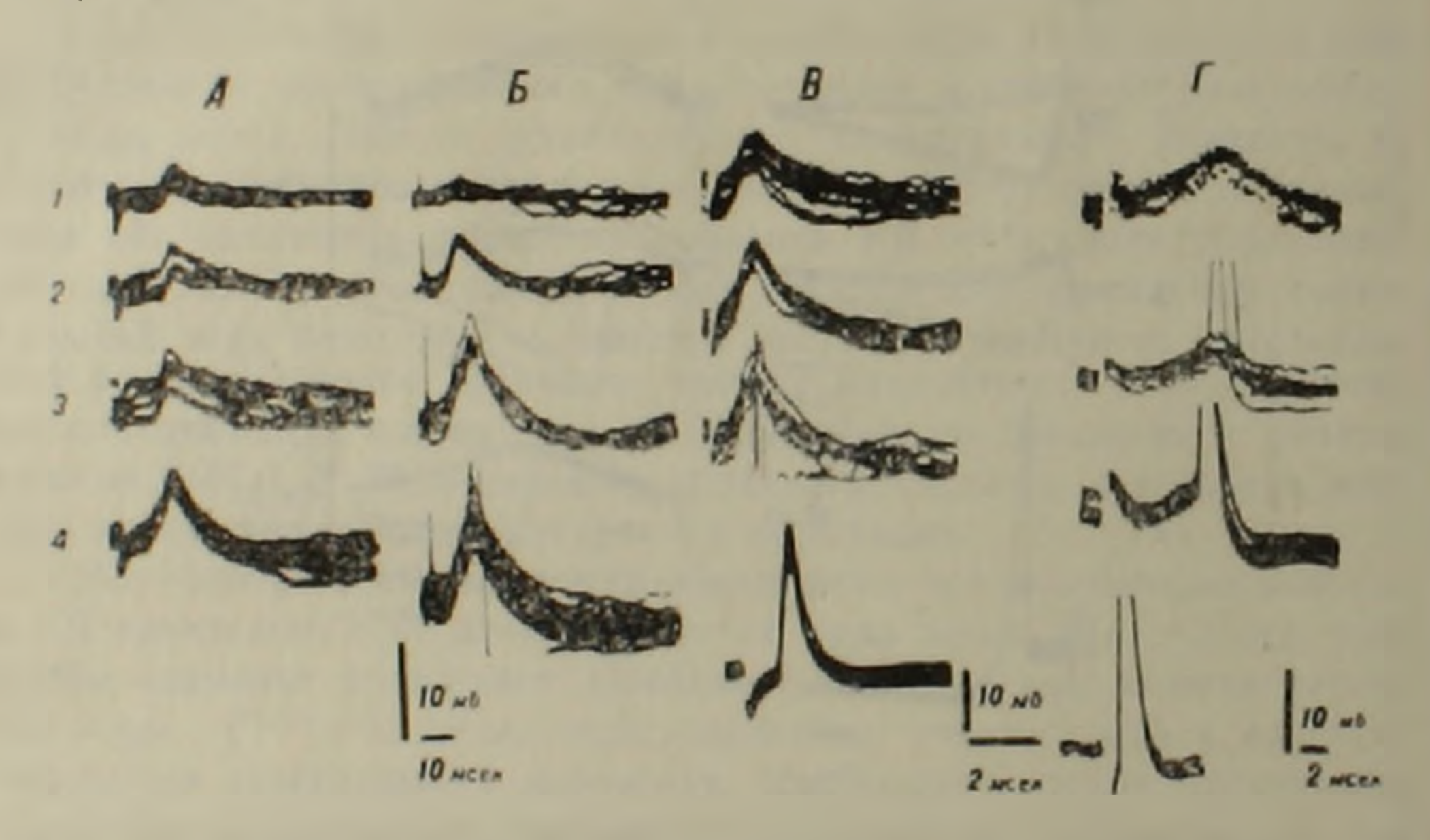


Рис 2. Постсинантические потенциалы и потенциалы действия двух рубро-спинальных нейронов (A-B и Γ) при раздражении ассоциативной (A, Γ), соматосечсорной (B) и моторной (B) областей коры мозга Сверху вниз—усиление интенсивности раздражения Видна генерация потенциалов действия B_4 , Γ_4 —антидромные потенциалы действия соответствующих нейронов на стимуляцию C_2

Нанесение одиночного раздражения на ассоциативную теменную область коры мозга также вызывало ВПСП в нейронах КЯ Амплитуда указанных ВПСП достигала максимума за 3,8—7,0 мсек (в среднем 4.88 мсек n=7) и составляла 1,2—4,5 мВ (в среднем 2,4 мВ); общая длительность равнялась 12,0—25,0 мсек (в среднем 17,1 мсек) (рис. 2,A). Скрытый период ВПСП охватывал 2,0—7,0 мсек (в среднем 3,18 мсек), что указывало на то, что часть этих потенциалов имела моносинаптическое происхождение. При увеличении силы раздражения

наблюдалась генерация потенциалов депствия через 4,0 7,0 исл. посте нанесения стимула (рис. 2,Г).

В настоящее время получило электрофизиологическое обосновавие положение о наличии четкой зависимости длительности восходящей фазы постсинантического потенциала от места локализация вызывающего его синапса на сома-деидритной мембране нейрова (15,16). Анализ с этой точки зрения характеристик исследованных нами ВПСП показал, что ВПСП, вызванные раздражением ассоциативной коры заинмают как бы промежуточное место среди постсинаптических реак-

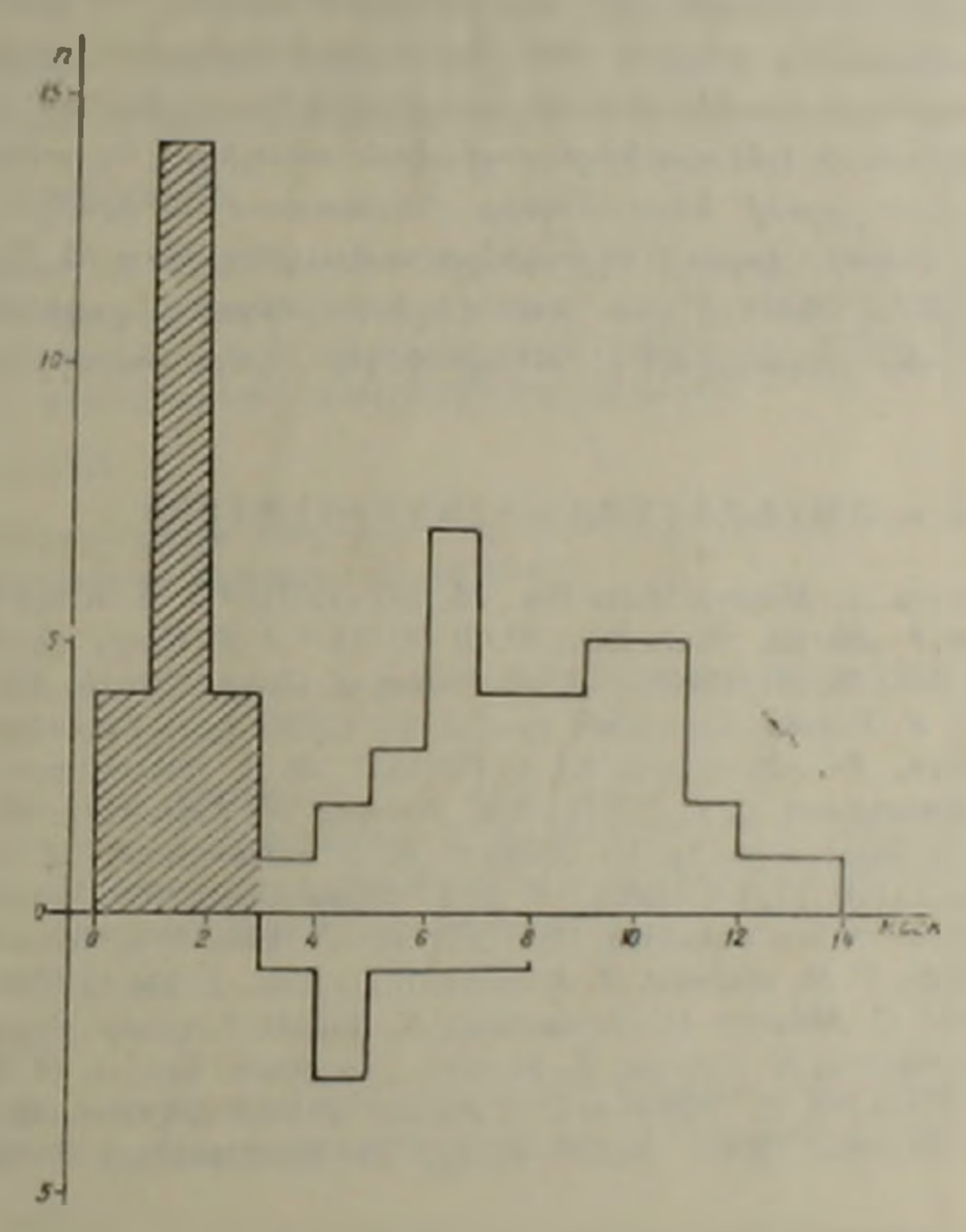


Рис. 3. Гистограмма распределения времени восхождения возбуждающих постсиналтических потенциалов нейронов красного ядра, вызванных раздражением промежуточного ядра мозжечка (отмечено штрихопкой), ассоциативной (ниже нен абсцисс) и сенсомоторной (выше оси абсцисс) областей коры мозга. По оси абсцисс—времи меек; по оси ординат—количество непронов, п

ций, возникающих на стимуляцию промежуточного ядра мозжечка и сенсомоторной области коры мозга (рис. 3). Это дает основание полагать, что волокна из теменной ассоциативной области коры мозга устанавливают синаптические контакты на более проксимальных частях сома-дендритной мембраны нейронов КЯ, чем аксоны кортико рустральных нейронов, расположениых в сенсомоторной области коры мозга.

Институт физиологии им Л. А. Орбели Академии наук Армянской ССР

վ է թուրթերվ _____ ըս։ Կաշմիշ կուիզի նեյշոնների կեղեային սինապտիկ մուտքերը

JUIEPATYPA - TPUAULUPPSBLL

1), Nahamura, N., Mizuno, Brain Res., 35, 283 (1971). 1 J. S. King R. M. Dom, J. B. Conner, G. F. Martin. Brain Res., 52 61 (1973), 3 J. S. King, G. F. Martin J. Conner, Brain Res., 38, 251, (1972). 1 L. T. Brown, J. Comp. Neurol., 154, 149 (1974). N. Isukahara, K. Kosaka, Esp. Brain Res., 5, 102 (1968), 1 N. Tsukahara, F. Murahami, H. Helpodushosoriii, 3, 13 (1971). 1 K. Toyami, N. Tsukahara, K. Kosaka, K. Matsunami, 12p. Brain Res., 11, 187 (1970). 2 B. Danapowan, A. C. Caponican, Dumosor, myph. CCCP, 55, 121 (1969). 10 B. D. Danapowan, O. Helponida opranisum supply and checken mosweres, Usa., Hayrin, J. 1975. 11 E. Rinvik, Exp. Neurol., 12, 278 (1965). 13 M. Mabuchi, T. Kusama, Brain Res., 2, 254 (1966). 14 N. Mizuno, K. Morkizuki C. Akimoto, R. Matsurkima, K. Sasaki, J. Comp. Neurol., 147, 511 (1973). 14 N. Tsukahara, K. Toyama, K. Kosaka, Esp. Brain Res., 1, 18 (1967). 14 N. Tsukahara, H. Hultborn, F. Marakami, Y. Pajito, J. Neurophysiol., 38, 150 (1975). 14 W. Rail, In Neuronal Theory and Modeling, 73—96, Standford, Standford Univ. Press, 1964

